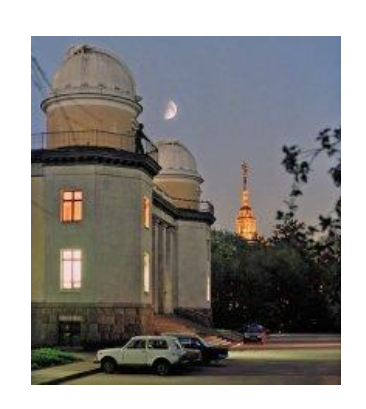


# Могут ли данные космической гравиметрии GRACE и GRACE-FO объяснить аномалии вращения Земли последних лет?



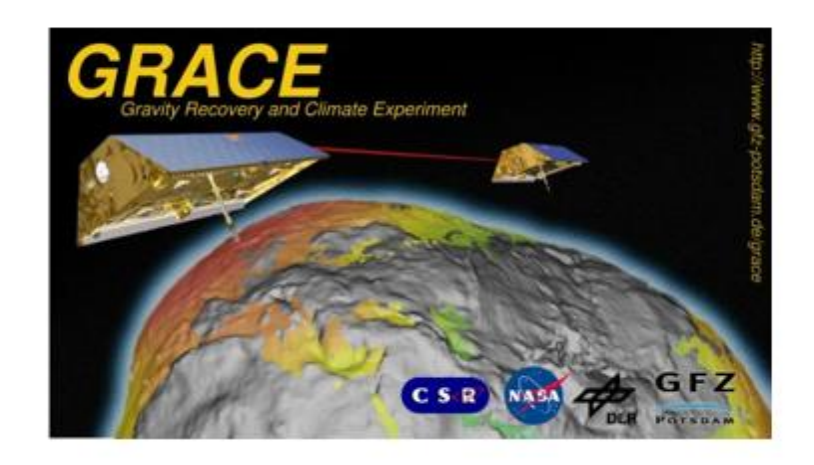
Леонид Зотов<sup>1,2</sup>

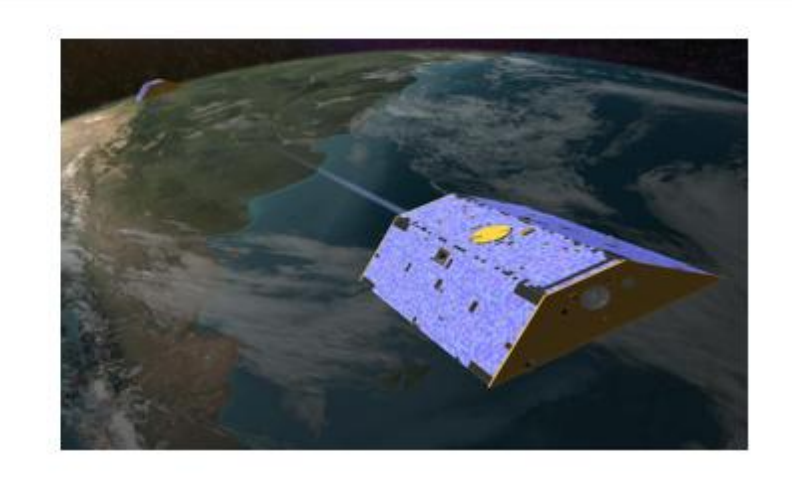
 $^{1}$ ГАИШ МГУ  $^{2}$ МИЭМ НИУ ВШЭ











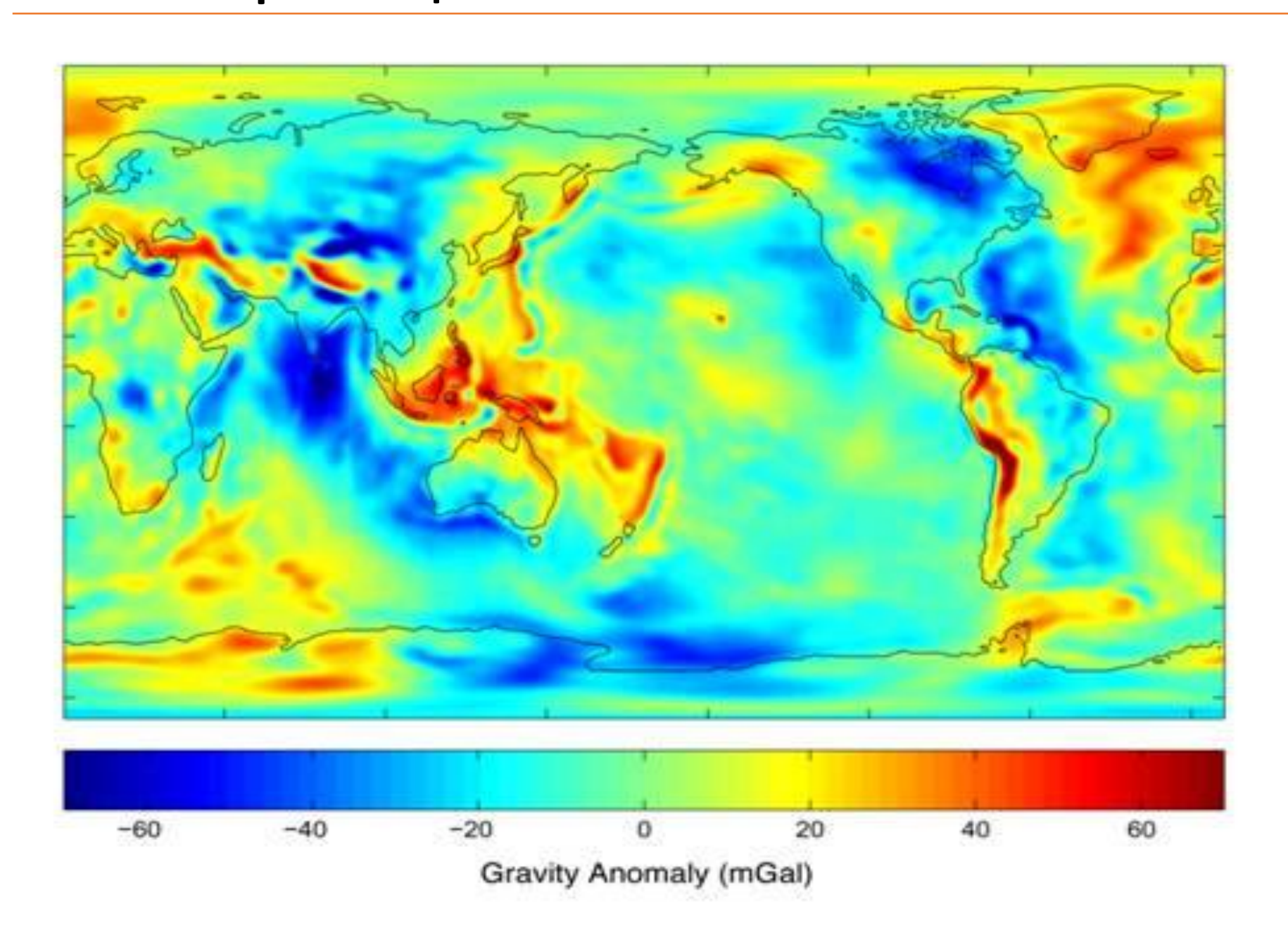
GRACE — совместная спутниковая миссия NASA и DLR, направленная на изучение гравитационного поля Земли и его временных вариаций.

Запущенные в 2002 г. спутники GRACE картографируют гравитационное поле, измеряя положение двух идентичных спутников, находящихся на полярной орбите на высоте 500 км.

GRACE прекратил работу в 2017 году.

В 2018 году были запущены 2 новых спутника, GRACE-FO, которые позволяют производить измерения с более высокой точностью.

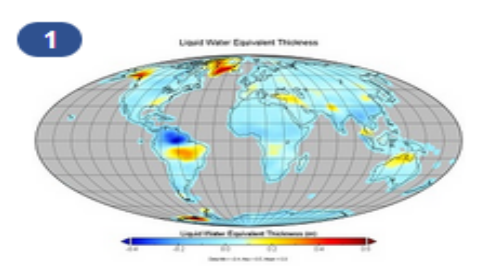
## Гравитационное поле Земли GGM03s



## Данные в архиве







JPL TELLUS GRACE-FO Level-3 Monthly Land Water-Equivalent-Thickness Surface-Mass Anomaly Release 6.0 in netCDF/ASCII/GeoTIFF Formats (TELLUS GRFO L3 JPL RL06 LND)

Ocean Pressure, GRAVITY/GRAVITATIONAL FIELD

Platform/Sensor: GRACE-FO/GRACE-FO ACC, GRACE-FO/GRACE-FO KBR, GRACE-FO/GRACE-FO KBR, GRACE-FO/GRACE-F

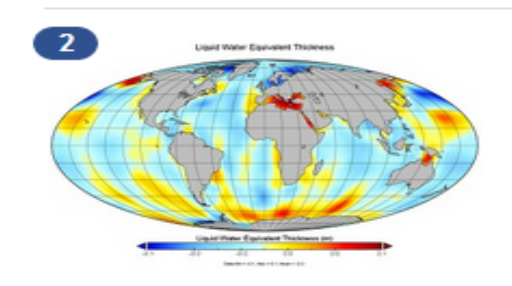
FO/GRACE-FO SCA Processing Level: 3

Longitude/Latitude Resolution: 1 degrees x 1 degrees

Start/End Date: 2018-May-22 to Present

Description: The JPL monthly land mass grids contain land water mass anomaly given as equivalent water thickness derived from GRACE time-variable gravity observations during the

specified timespan ... more



CSR TELLUS GRACE-FO Level-3 Monthly Ocean Bottom Pressure Anomaly Release 6.0 version 02 in netCDF/ASCII/GeoTIFF Formats

(TELLUS\_GRFO\_L3\_CSR\_RL06\_OCN\_v02)

GRAVITY/GRAVITATIONAL FIELD, OCEAN PRESSURE

Platform/Sensor: GRACE-FO/GRACE-FO ACC, GRACE-FO/GRACE-FO KBR, GRACE-FO/GRACE-FO KBR, GRACE-FO/GRACE-F

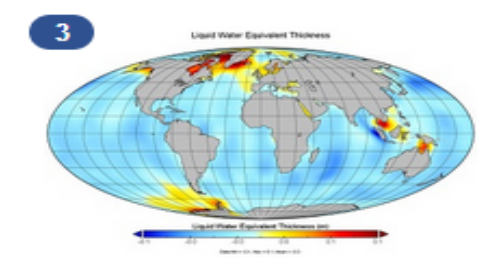
FO/GRACE-FO SCA Processing Level: 3

Longitude/Latitude Resolution: 1 degrees x 1 degrees

Start/End Date: 2018-May-22 to Present

Description: The CSR monthly ocean bottom pressure grids are given as equivalent water thickness changes derived from GRACE-FO time-variable gravity observations during the

specified timespan in ... more



JPL TELLUS GRACE-FO Level-3 Monthly Ocean Bottom Pressure Anomaly Release 6.0 version 02 in netCDF/ASCII/GeoTIFF Formats

(TELLUS\_GRFO\_L3\_JPL\_RL06\_OCN\_v02)

GRAVITY/GRAVITATIONAL FIELD, OCEAN PRESSURE

Platform/Sensor: GRACE-FO/GRACE-FO ACC, GRACE-FO/GRACE-FO KBR, GRACE-

FO/GRACE-FO SCA Processing Level: 3

Longitude/Latitude Resolution: 1 degrees x 1 degrees

Start/End Date: 2018-May-22 to Present

**Description:** The JPL monthly ocean bottom pressure grids are given as equivalent water thickness changes derived from GRACE-FO time-variable gravity observations during the

specified timespan in ... more

### Обработка данных GRACE

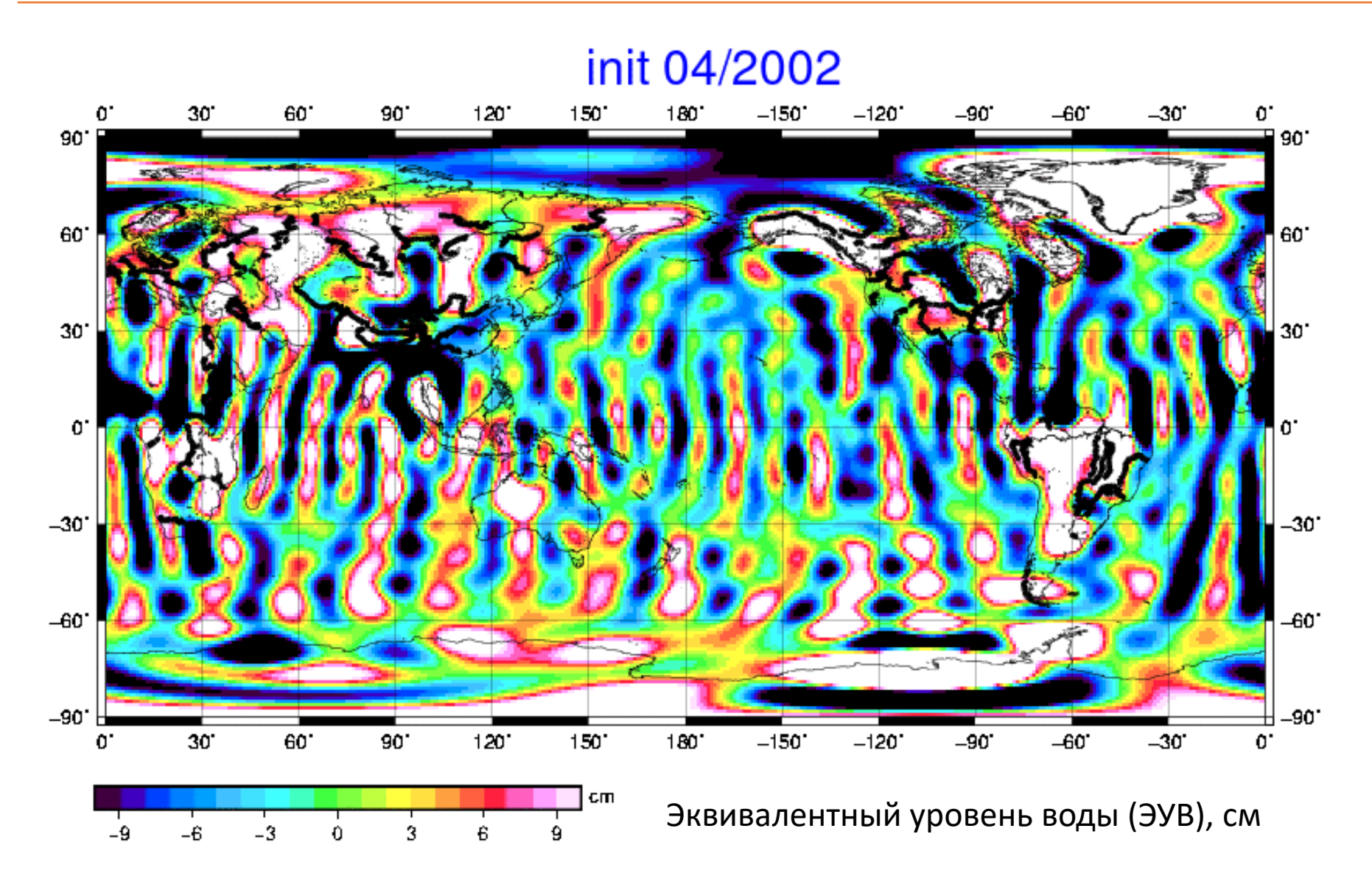
Мы используем данные L2 релиза 6.3, обработанные JPL в виде ежемесячных файлов с коэффициентами Стокса разложения гравитационного поля Земли С и S до 60-й степени порядка

$$V(\varphi, \lambda, r) = \frac{GM}{r} \sum_{n=2}^{\infty} \sum_{m=0}^{n} \left(\frac{a}{r}\right)^{n} (\bar{C}_{nm} \cos m\lambda + \bar{S}_{nm} \sin m\lambda) P_{n}^{m} (\sin \varphi),$$

Аномалии гравитационного поля переводятся в значения эквивалентного уровня воды (ЭУВ) плоского слоя

$$\Delta h(\varphi, \lambda, t) = \frac{a\rho_{ave}}{3\rho_w} \sum_{n=2}^{60} \sum_{m=0}^{n} \frac{2n+1}{1+k_n} W_n(\Delta C_{nm}(t) \cos m\lambda + \Delta S_{nm}(t) \sin m\lambda) P_n^m(\sin \varphi)$$

## Исходные данные GRACE JPL RL06 Уровня 2



### Многоканальный сингулярный спектральный анализ

1) Параметр задержки (лага) *L* 

МССА- обобщение МГК

Многоканальный сигнала

$$x = (x_1, x_2, ..., x_N)$$

вкладывается в траекторную матрицу Х

2) SVD — сингулярное разложение матрицы

1D-ССА – "Гусеница"

$$X = USV^{T}$$

3) Для каждого сингулярного числа  $s_i$  восстанавливается матрица

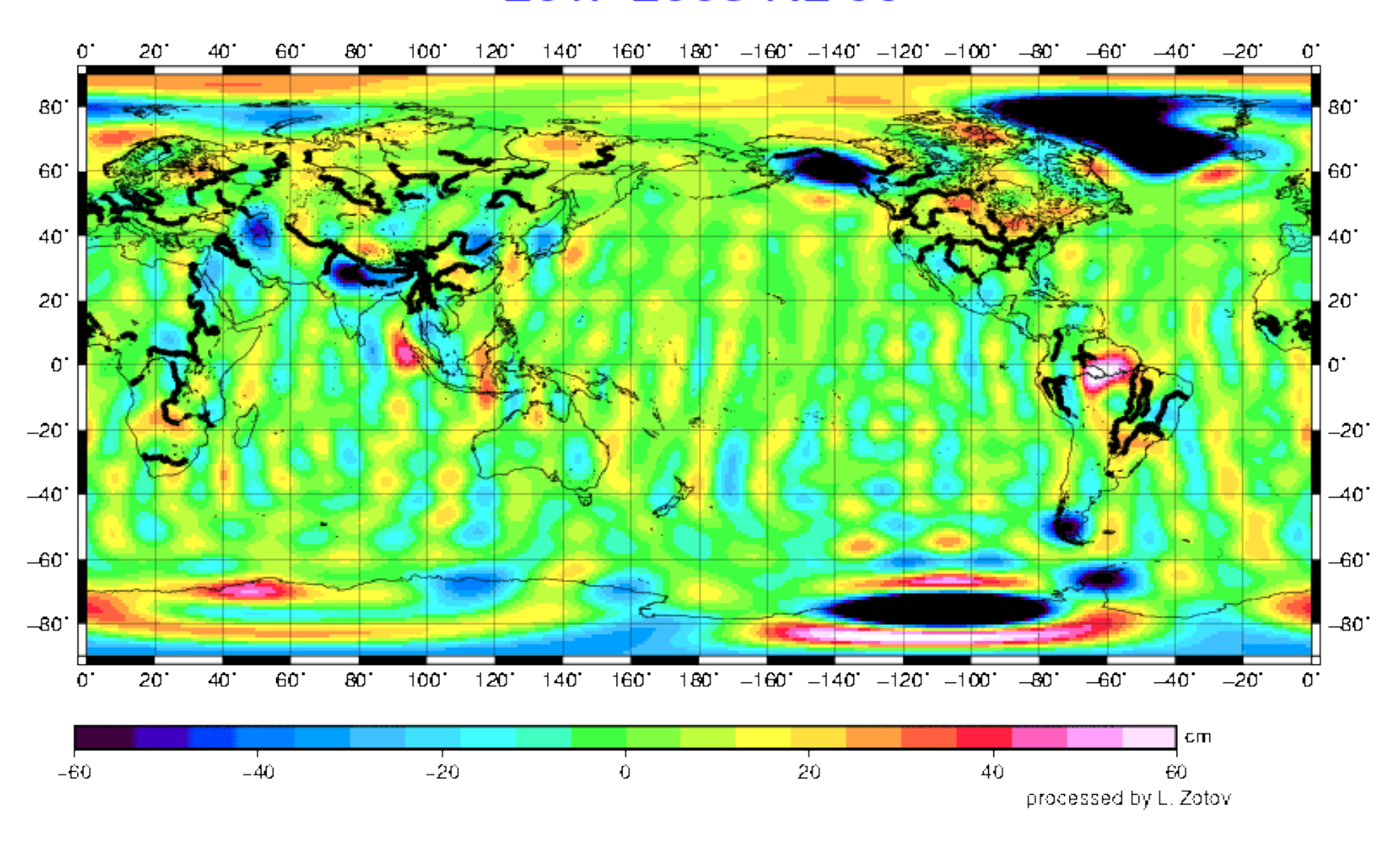
$$X^i = s_i u_i v_i^T,$$

И усреднением вдоль побочных диагоналей (Генкелизацией) восстанавливается компонента сигнала

4) Сходные сигналы группируются в Главные Компоненты (Principal Components) PC1, PC2, PC3...

## Тренды перераспределения масс в данных миссии GRACE

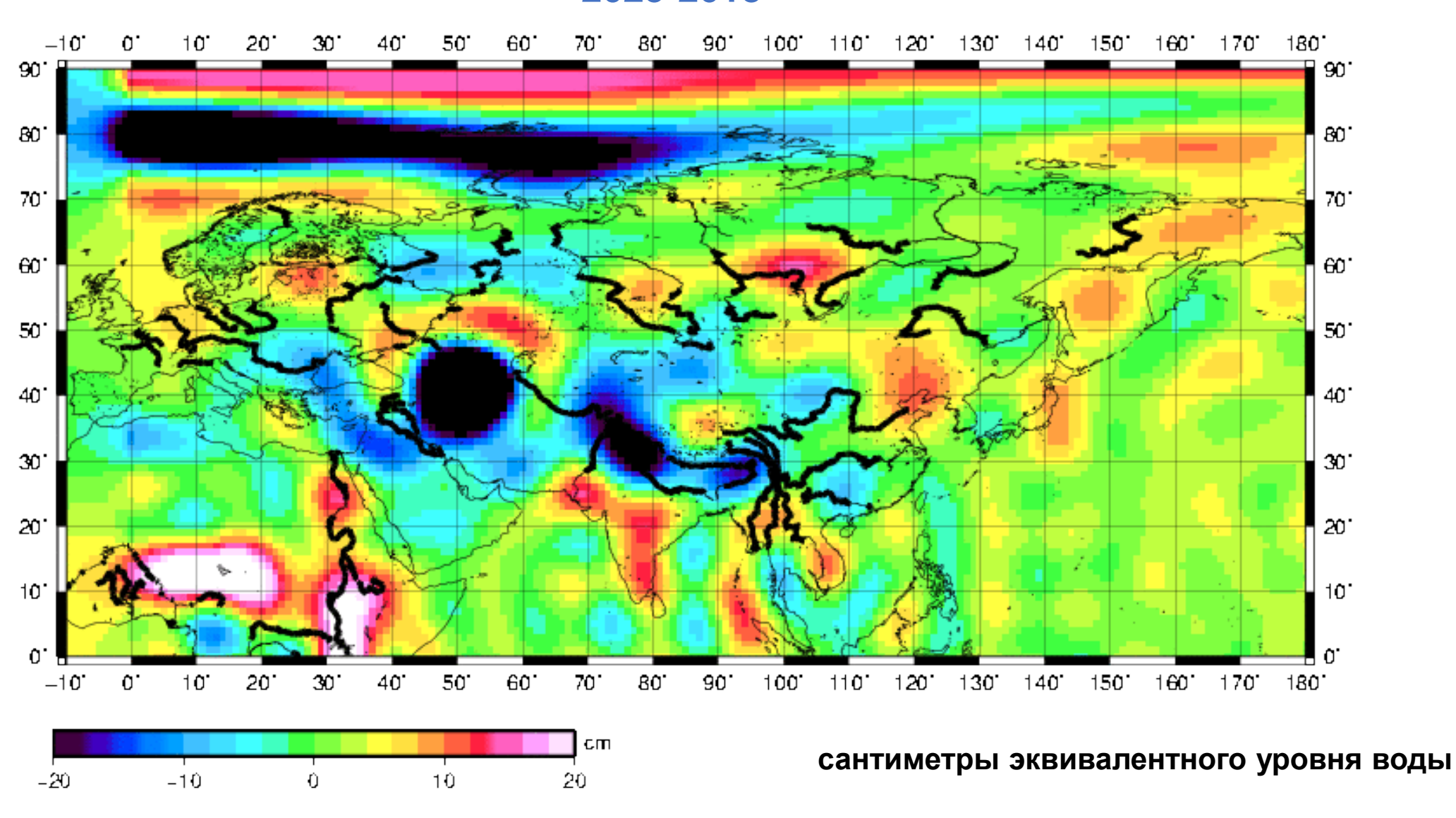
#### 2017-2003 RL 06



Изменения масс вследствие климатических и других факторов

## Тренды перераспределения масс Евразии по GRACE-FO

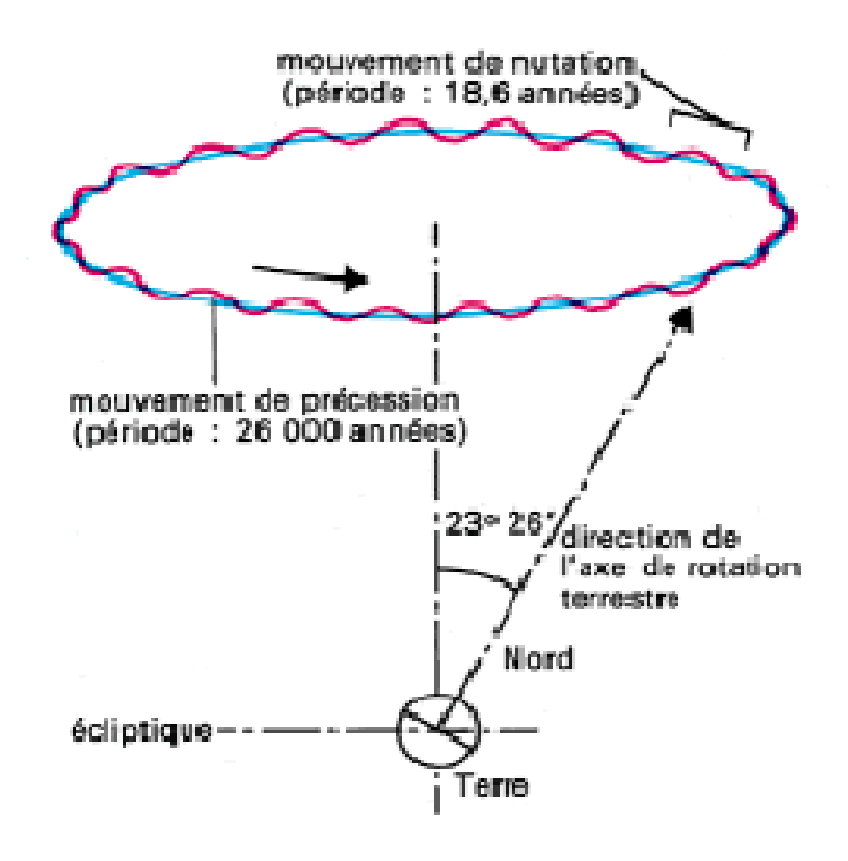


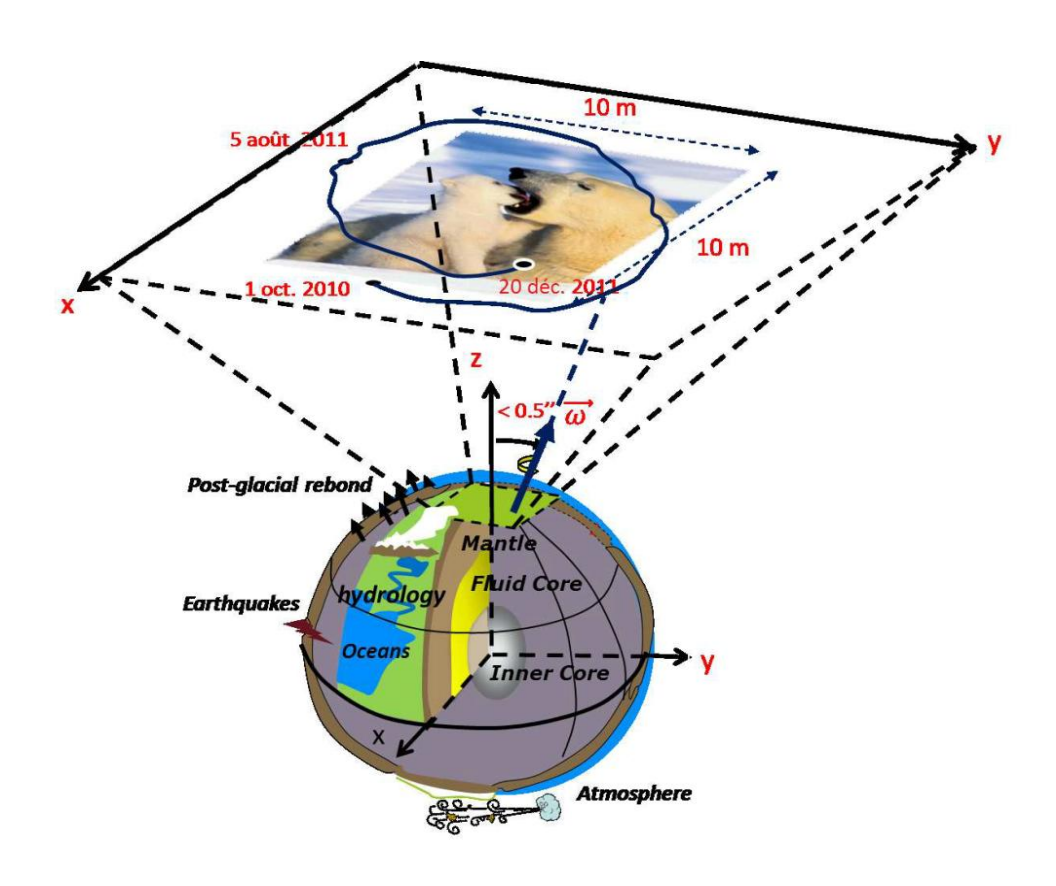


## Нутация и движение полюса

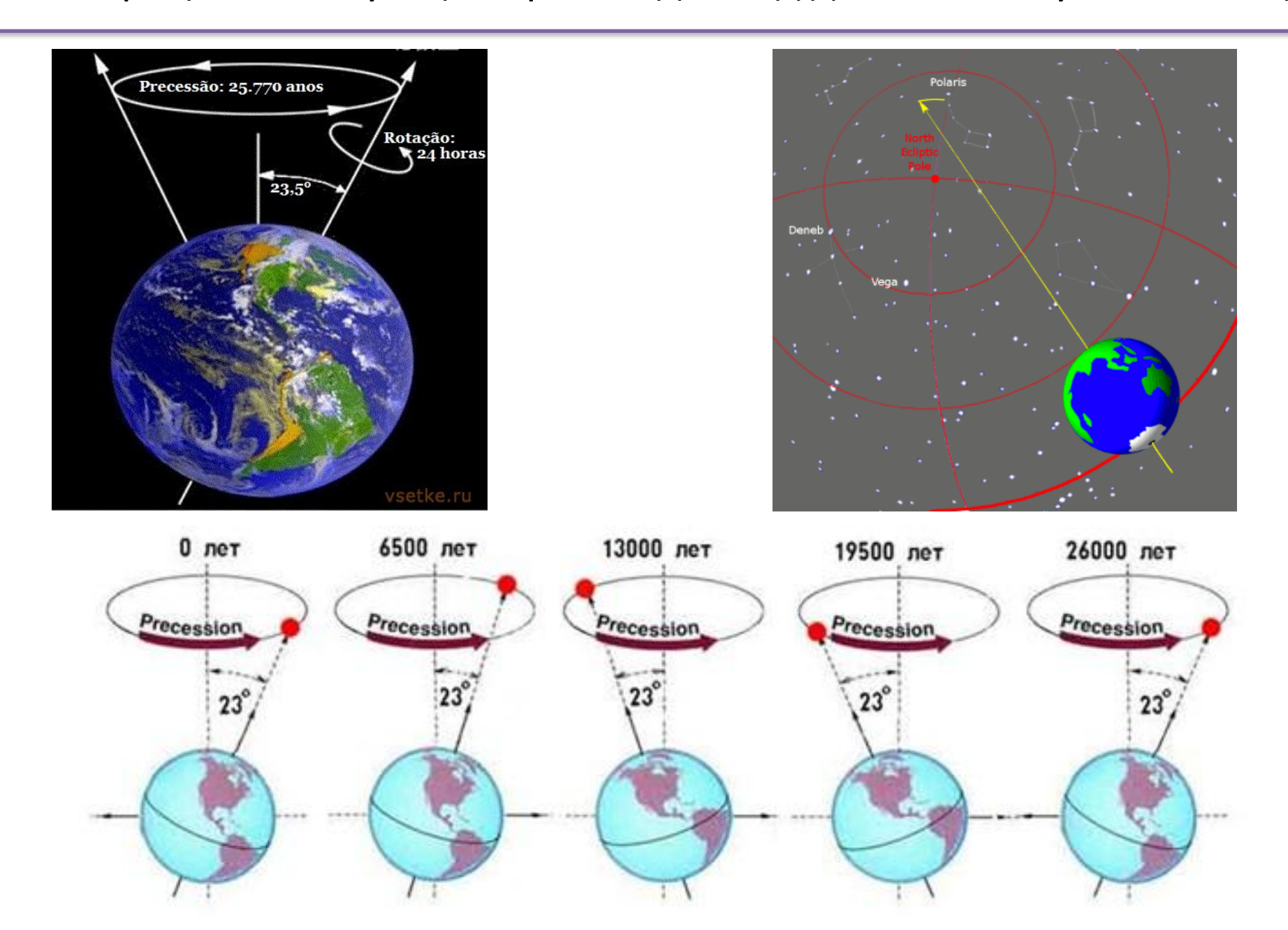
Прецессия (вековая) и нутация (периодическая) земной оси с периодами 25 700, 18.6, 1, 0.5 лет, обусловленные внешним моментом сил от Луны и Солнца

Движение полюса амплитудой до 10 метров обусловленное геофизическими процессами – обменом угловым моментом между океаном, атмосферой и твердой землей





#### Прецессия и нутация происходят под действием Луны и Солнца



## Некоторые элементы теории движения полюса

$$\frac{\partial \mathbf{H}}{\partial t} + (\omega \times \mathbf{H}) = \Lambda,$$

$$\mathbf{H} = \mathbf{I}\omega + \mathbf{h}$$
.

Уравнение для углового момента в неподвижной в подвижной

$$\left(\frac{d\mathbf{H}}{dt}\right)_{S} = \mathbf{L}, \qquad \frac{d\mathbf{H}}{dt} + \mathbf{\Omega} \times \mathbf{H} = \mathbf{\Gamma},$$

системах координат

Тензор инерции

$$\mathbf{I} + \delta \mathbf{I} = \begin{bmatrix} A + c_{11} & c_{12} & c_{13} \\ c_{21} & B + c_{22} & c_{23} \\ c_{31} & c_{32} & C + c_{33} \end{bmatrix}.$$

Вектор угловой скорости

$$\omega_0 + \delta\omega = \Omega \begin{bmatrix} m_1 \\ m_2 \\ 1 + m_3 \end{bmatrix}.$$

$$\begin{split} \frac{d\omega_1}{dt} + \frac{I_3 - I_2}{I_1} \omega_2 \omega_3 &= 0, \\ \frac{d\omega_2}{dt} + \frac{I_1 - I_3}{I_2} \omega_3 \omega_1 &= 0, \\ \frac{d\omega_3}{dt} + \frac{I_2 - I_1}{I_3} \omega_1 \omega_2 &= 0. \end{split}$$

Комплексное линеаризованное уравнение Эйлера-Лиувилля

$$\frac{i}{\sigma_e}\dot{m} + m = \Psi, \qquad \dot{m}_3 = \dot{\Psi}_3,$$

$$\Psi = \Psi_1 + i\Psi_2$$
 $m = m_1 + im_2, c = c_{13} + ic_{23},$ 
 $h = \dot{c}_{13} + i\dot{c}_{23}$ 

Возбуждающие функции

$$\begin{split} \Psi_1 &= \frac{1}{\Omega^2 (C - A)} \left( \Omega^2 c_{13} + \Omega \dot{c}_{23} + \dot{h}_2 + \Omega h_1 - \Lambda_2 \right), \\ \Psi_2 &= \frac{1}{\Omega^2 (C - A)} \left( \Omega^2 c_{23} - \Omega \dot{c}_{13} - \dot{h}_1 + \Omega h_2 + \Lambda_4 \right). \\ \Psi_3 &= \frac{1}{\Omega^2 C} \left( -\Omega^2 c_{33} - \Omega \dot{h}_3 + \Omega \right)^t \Lambda_3 dt \right). \end{split}$$

$$\frac{d\omega_1}{dt} + \frac{I_3 - I_2}{I_1} \omega_2 \omega_3 = 0, \qquad \frac{d\omega_1}{dt} = -\sigma_e \omega_2, \quad \frac{d\omega_2}{dt} = \sigma_e \omega_1, \qquad \sigma_e = \Omega \frac{C - \frac{A+B}{2}}{\frac{A+B}{2}}.$$

частота Эйлера

комплексная Чандлеровская частота

$$\sigma_c = \sigma_e \frac{\left(1 - \frac{\bar{k}_2}{\bar{k}_s}\right)}{\left(1 + e^{\frac{\bar{k}_2}{\bar{k}_s}}\right)} = 2\pi f_c \left(1 + \frac{i}{2Q}\right).$$

период T=433 сут fc=365.25/433 колебаний в год

запись через комплексную функцию углового момента

$$\chi = \frac{c}{(C-A)} + \frac{h}{\Omega(C-A)},$$

$$m = p - \frac{i}{\Omega}\dot{p}. \qquad \frac{i}{\sigma_e}\dot{p} + p = \chi^{mass} + \chi^{motion} = \chi.$$

$$\chi_e^{mass} = \frac{1 + k_2'}{1 - \tilde{k}_2/k_s}\chi^{mass}, \qquad \chi_e^{motion} = \frac{1}{1 - \tilde{k}_2/k_s}\chi^{motion}.$$

Геодезическое возбуждение

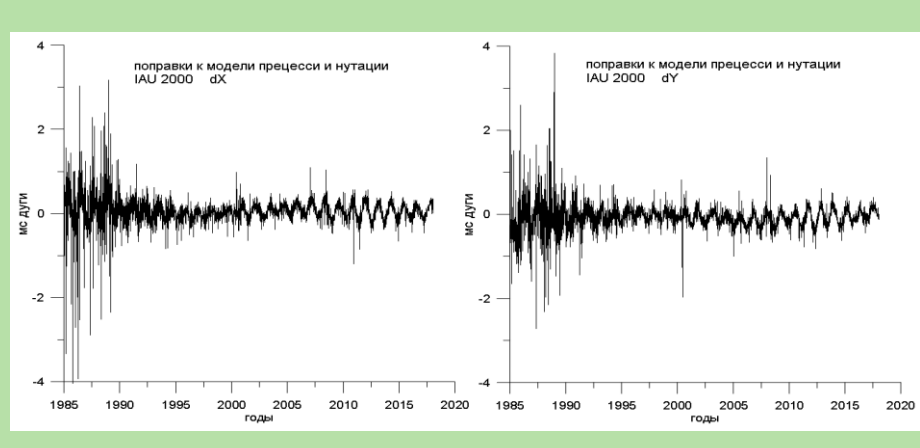
Геофизическое возбуждение

$$\frac{i}{\sigma_c}\frac{dp(t)}{dt} + p(t) = \chi^{tot}(t),$$

## Параметры ориентации Земли x, y координаты полюса UT1-UTC dX, dY

$$\theta(t) - \theta(t_0) = \Omega U T 1 - \Omega t_0.$$

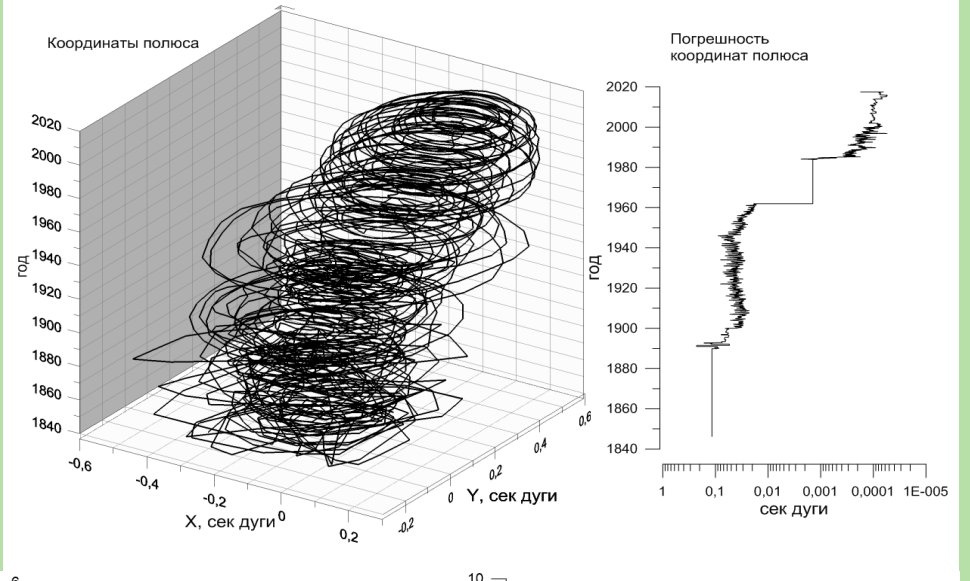
$$\Delta LOD = \frac{2\pi \cdot k}{\Omega(1+m_3)} - \frac{2\pi \cdot k}{\Omega} \approx -\overline{LOD}m_3,$$

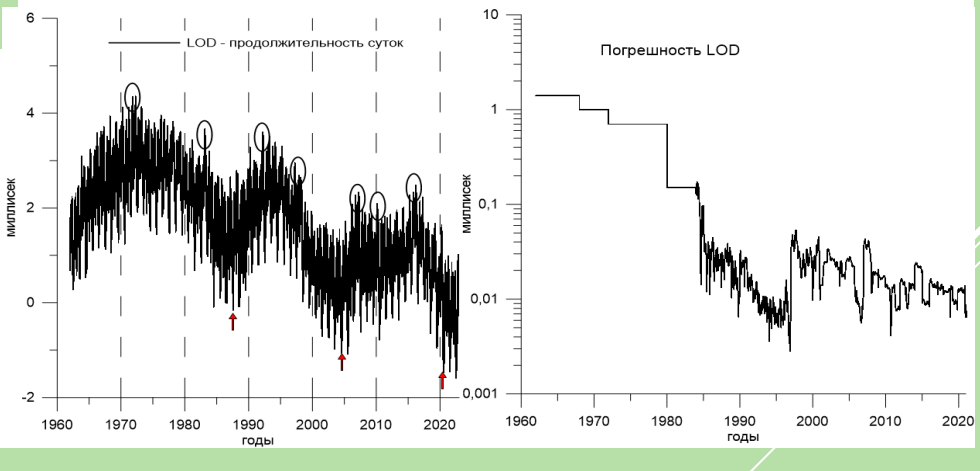


Поправки к углам прецессии и нутации

#### х, у координаты полюса

#### возрастание точности

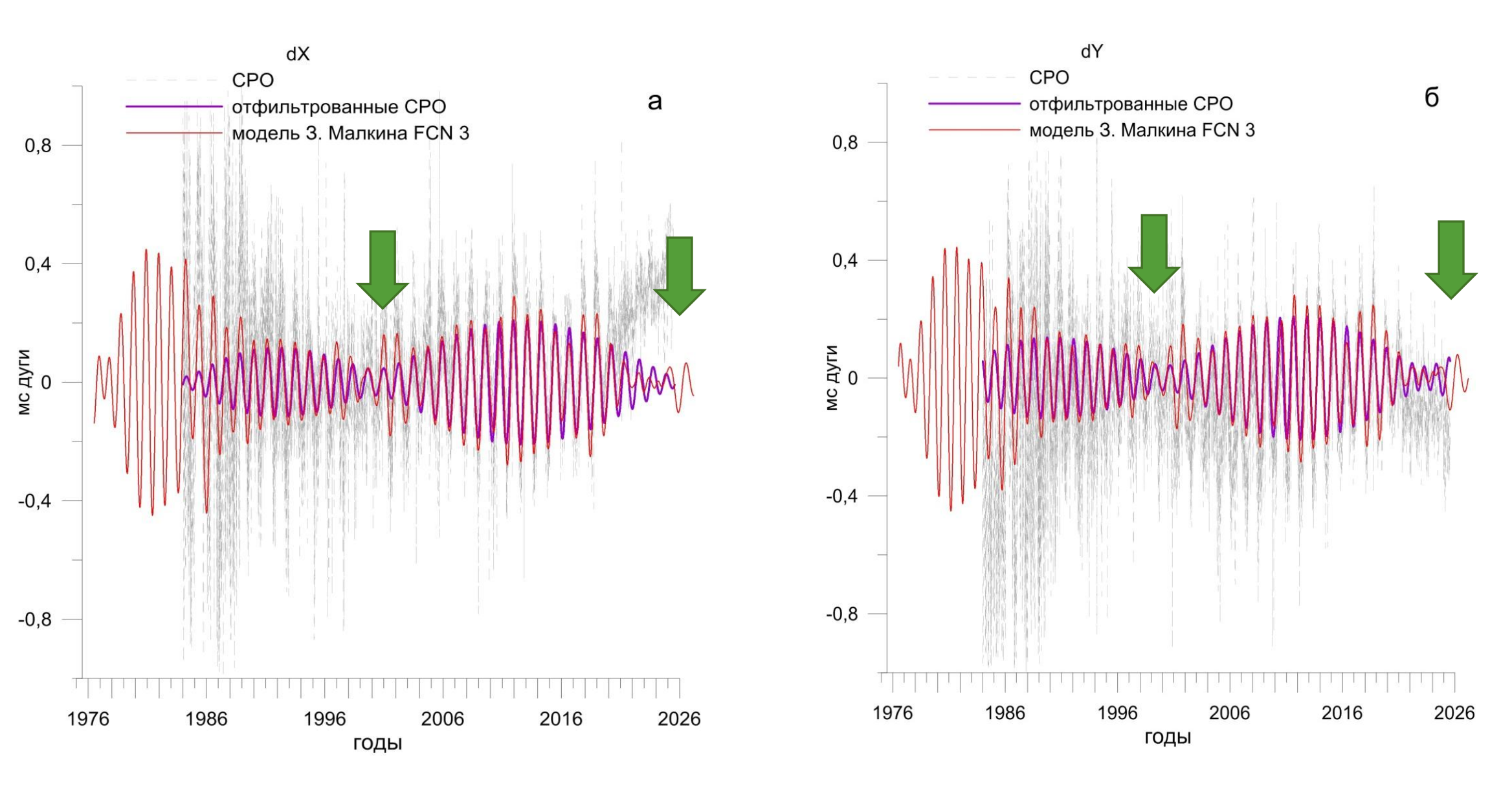




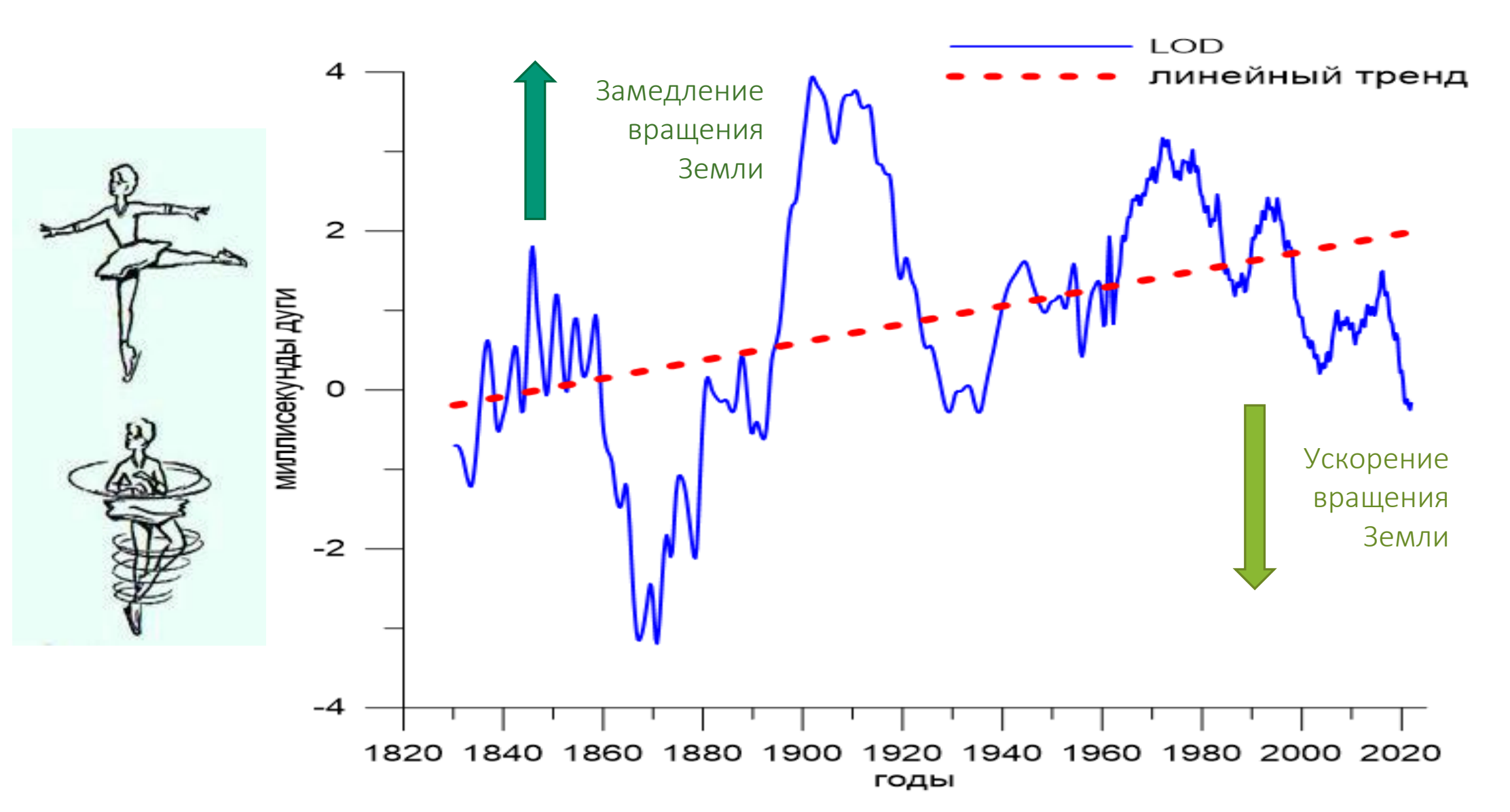
длительность суток LOD

точность наблюдений

## Ослабление сигнала свободной нутации ядра FCN

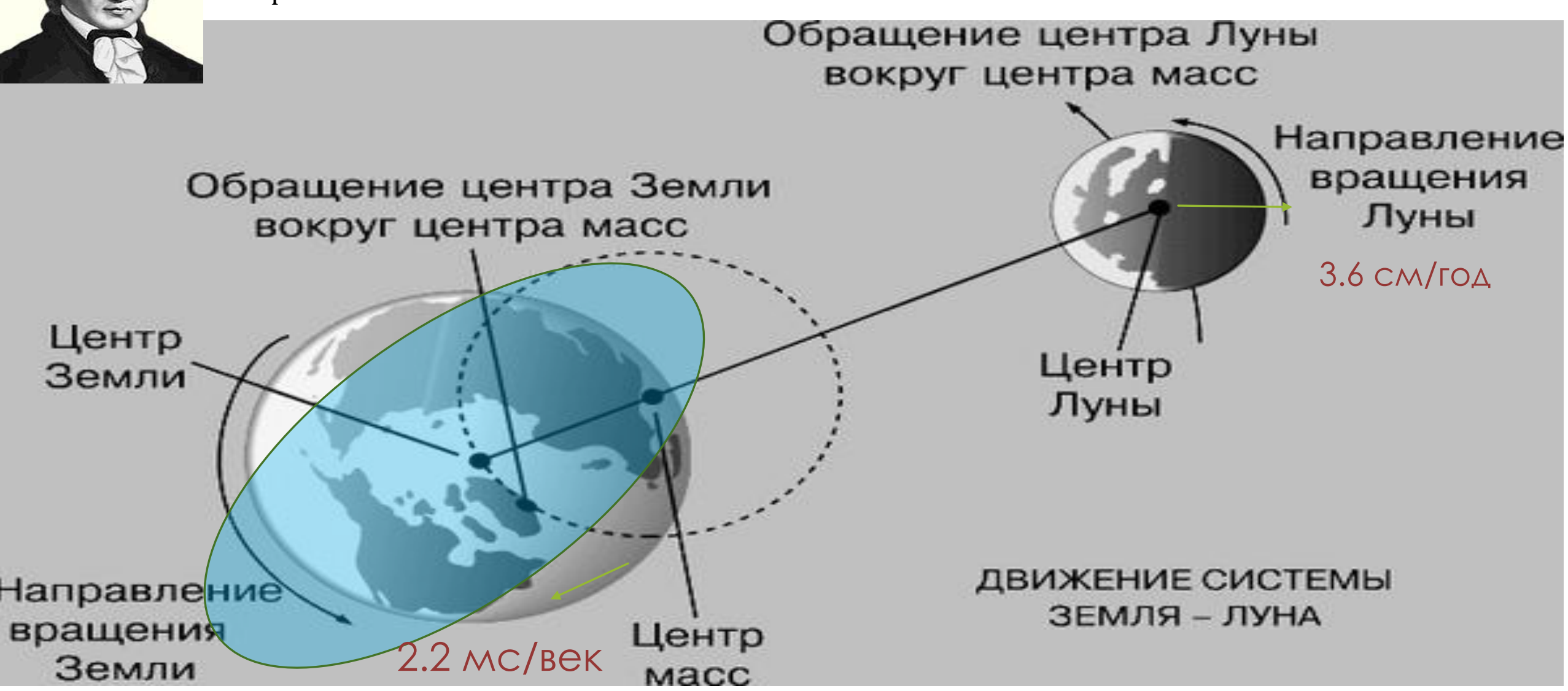


## Долговременные изменения длительности суток Length of Day LOD





Иммануил Кант предсказал торможение Земли в 1754 г

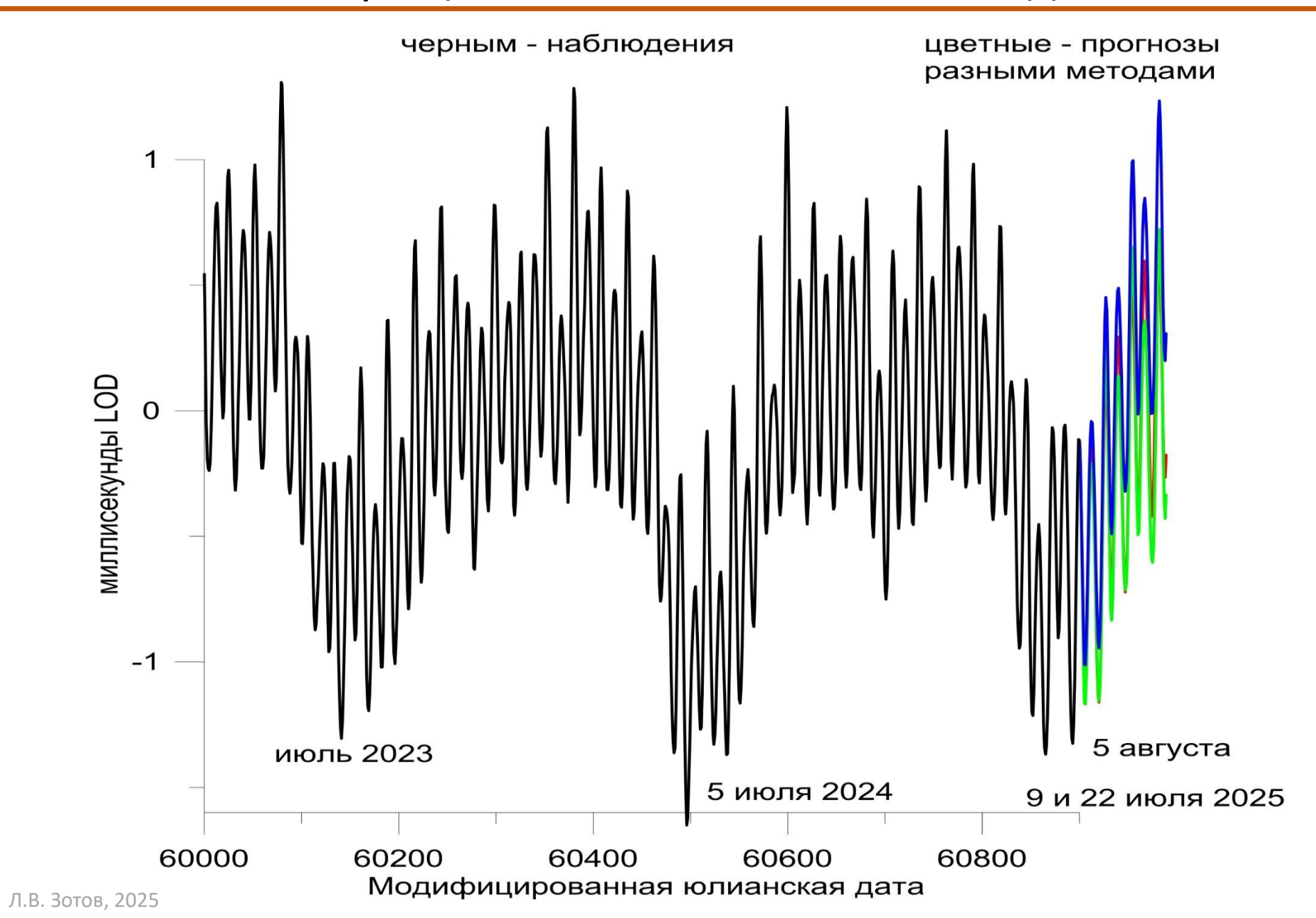


## Геофизические процессы, влияющие на вращение Земли

от 1 до 1 000 000 лет

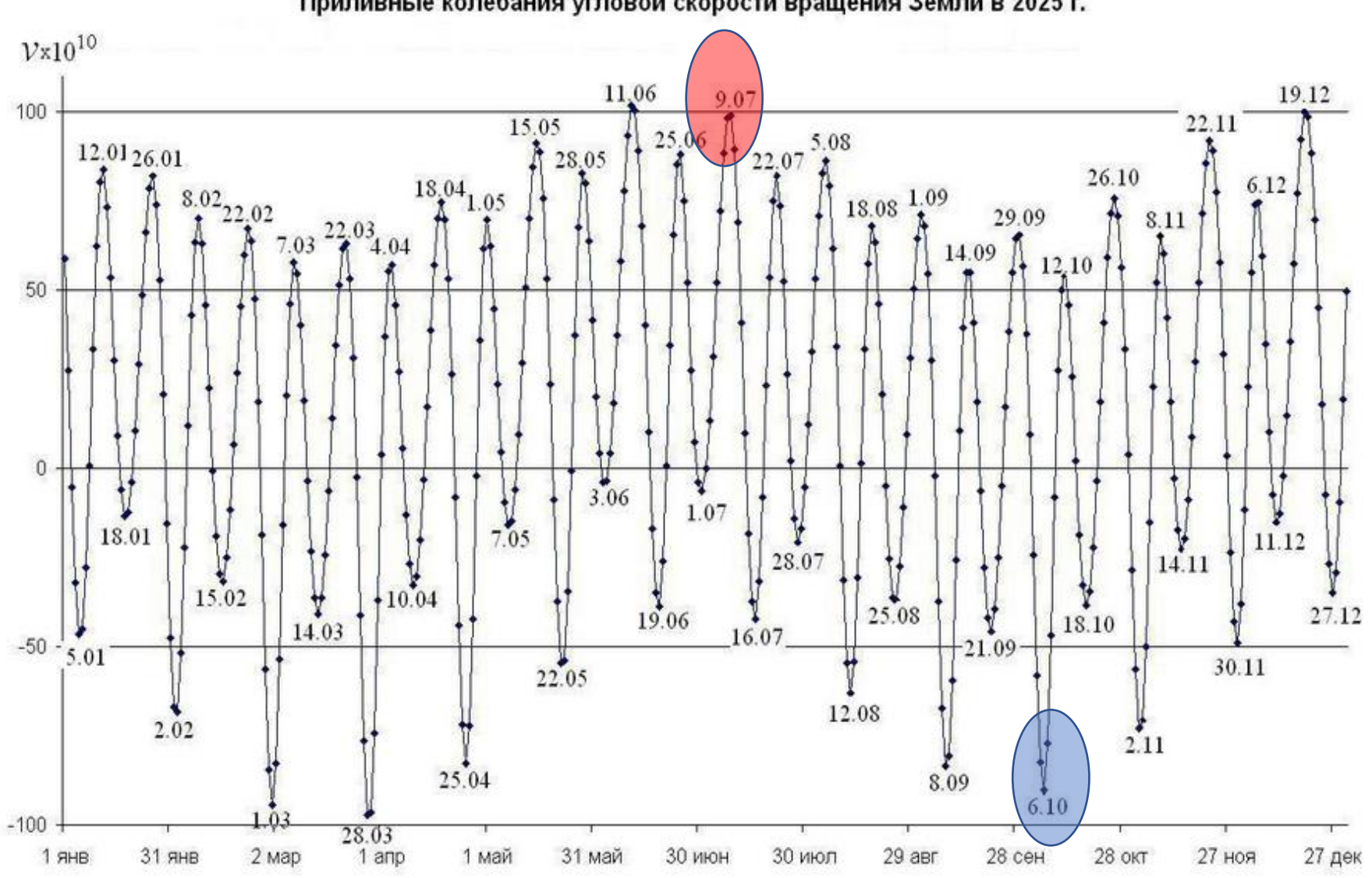


### Вращение Земли летом 2025 года



#### ГЕОАСТРОНОМИЧЕСКИЕ ФАКТОРЫ И ПОГОДА





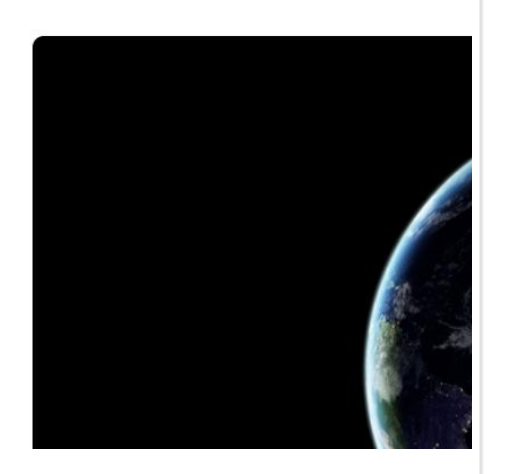


Home / News / Astronomy News / Earth Will Spin Unusually

#### **Earth Will Spin Unusua**

Since 2020, Earth has notched up unpr again in 2025 around July 9, July 22, a





1

Latest estimates from mid-August confirm that the shortest days of

Year	Date	Length of Day (LOD)
2025	July 9	-1.34 ms (to be confirmed)
2025	July 10	-1.37 ms (to be confirmed)
2025	July 22	-0.88 ms (to be confirmed)
2025	August 5	-1.31 ms (to be confirmed)
2025	August 6	-1.32 ms (to be confirmed)

Sources: timeanddate.com, IERS [2], USNO [2]. Estimates are based on observations and models, and include systematic corrections and smoothing. Date: August 13, 2025. BREAKING | INNOVATION > SCIENCE

## Get Ready Fo Began As Ear

By Jamie Carter, Senior Contributor.

Published Jun 20, 2025, 05:00am EDT, Update



#### TOPLINE

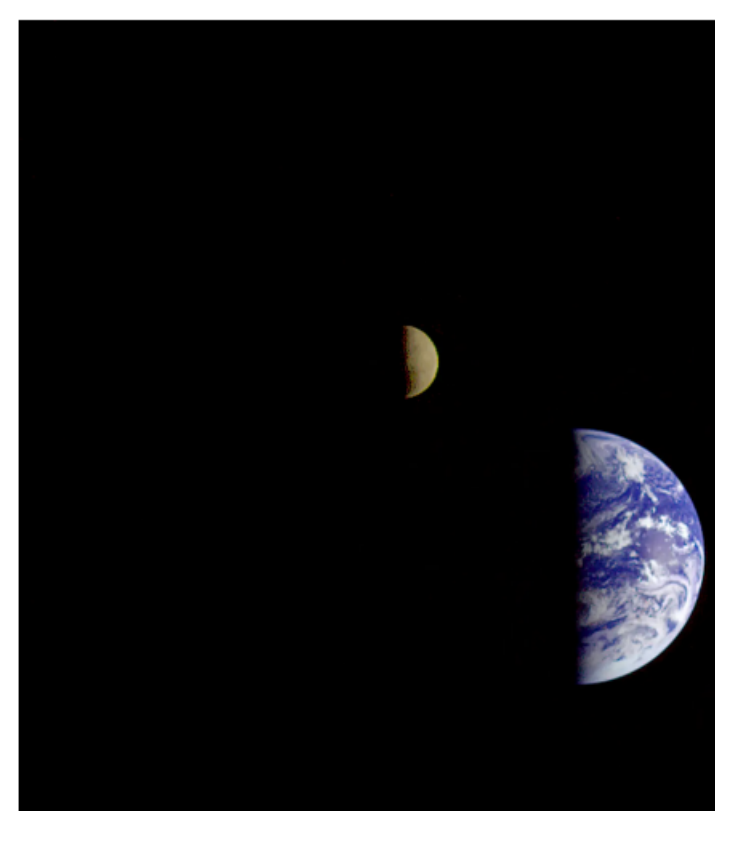
Earth could be about to record its t faster than at any point since recor shortest day. Last year, the shortes close to this again on or close to Ju



## Earth Is Spinning Faster and Getting Shorter, for Now

The planet's rotation fluctuates as it travels arour measurements suggest we're losing more than a during the long days of summer.





#### ELLE

Home > Culture > Culture News

**JULY 14, 2025** 

## Earth Just Had One Of The Shortest Days Ever And More Are Coming

We're in a spin



Ruby Feneley





Image: Getty

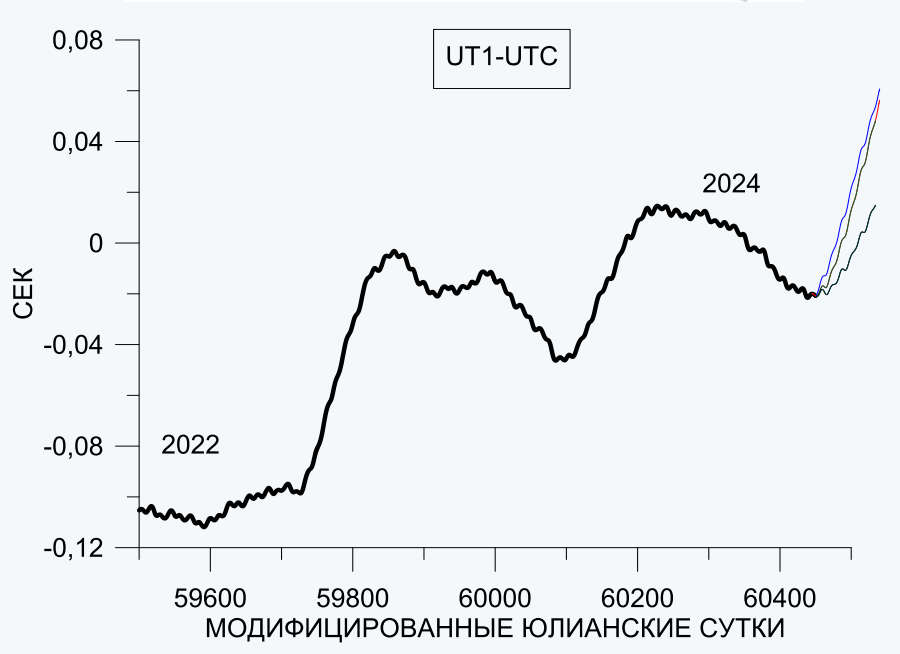
## ДОПОЛНИТЕЛЬНАЯ СЕКУНДА - LEAP SECOND

ВВОДИТСЯ ЧТОБЫ РАССОГЛАСОВАНИЕ ШКАЛЫ ВРЕМЕНИ ИЗМЕРЯЕМОГО ПО ВРАЩЕНИЮ ЗЕМЛИ UT И ШКАЛЫ ВСЕМИРНОГО АТОМНОГО ВРЕМИНИ UTC НЕ ПРЕВЫСИЛО 0.9 СЕК

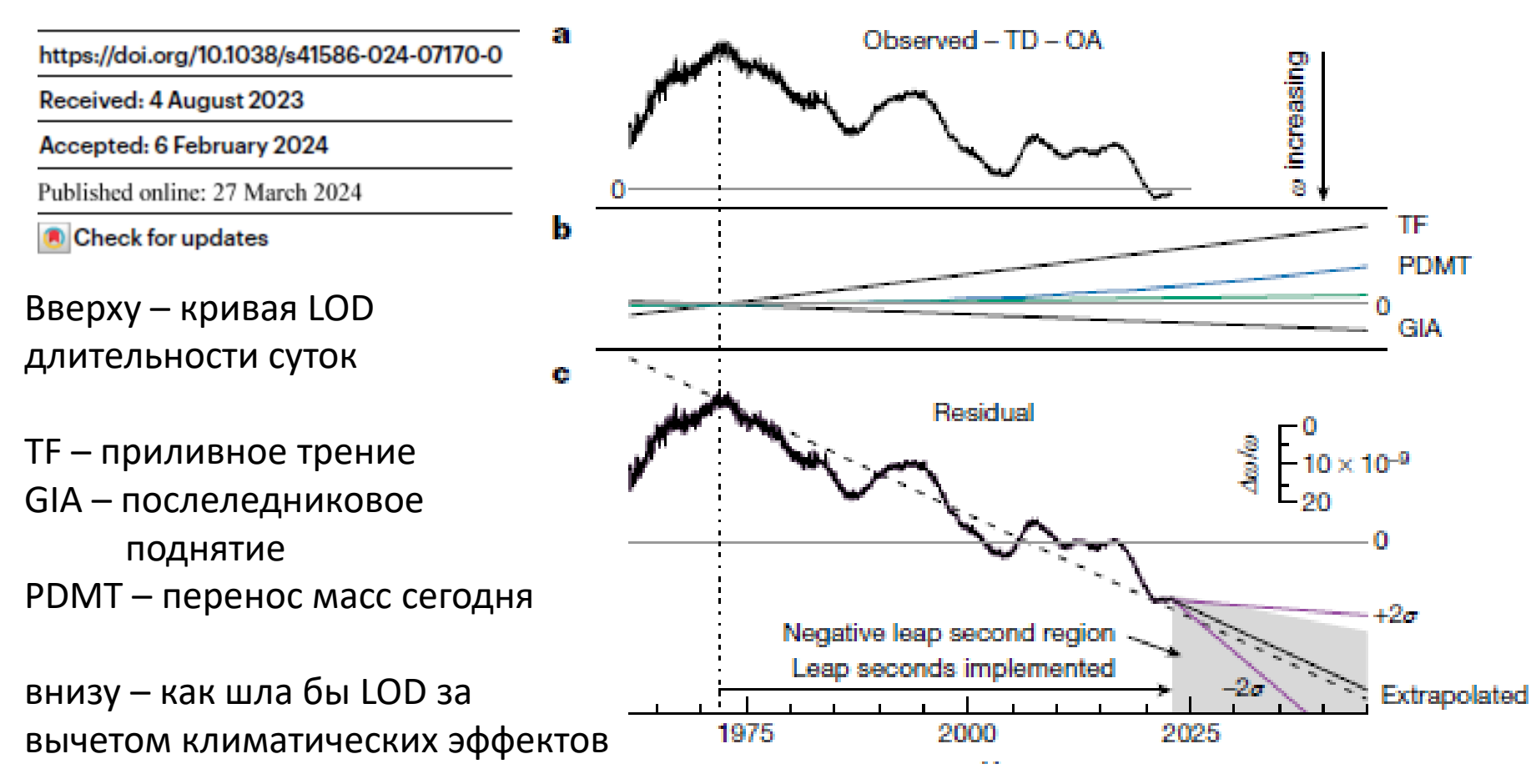
ОБЫЧНО ПРИБАВЛЯЛАСЬ В КОНЦЕ ГОДА К UTC, НО СЕГОДНЯ ВСТАЛ ВОПРОС О ЕЕ ВЫЧИТАНИИ

2006	Jan.	1 - 2009	Jan.	1	33s	
2009	Jan.	1 - 2012	Jul.	1	34s	
2012	Jul.	1 - 2015	Jul.	1	35s	
2015	Jul.	1 - 2017	Jan.	1	36s	
2017	Jan.	1 -			37s	



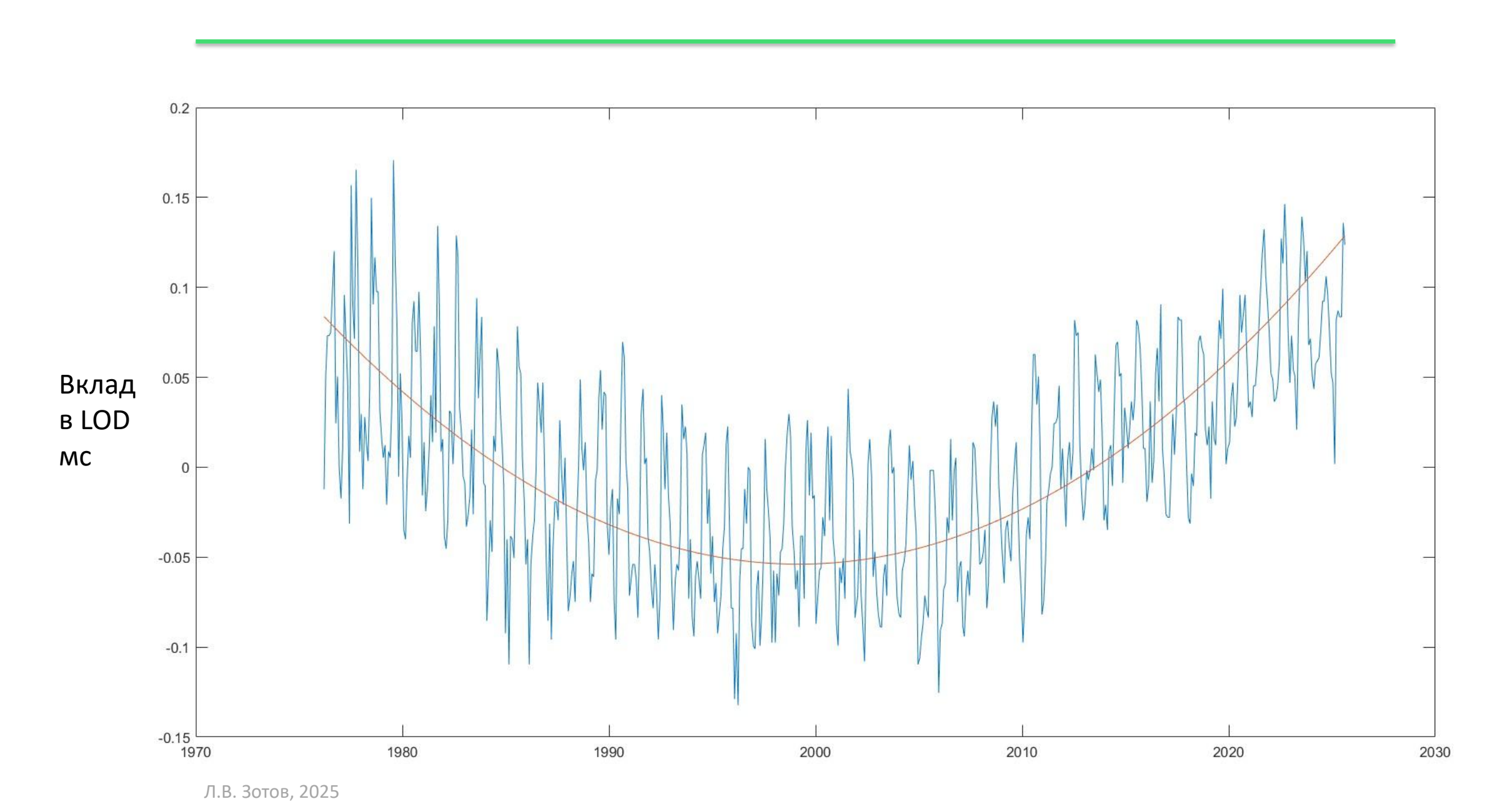


## A global timekeeping problem postponed by global warming

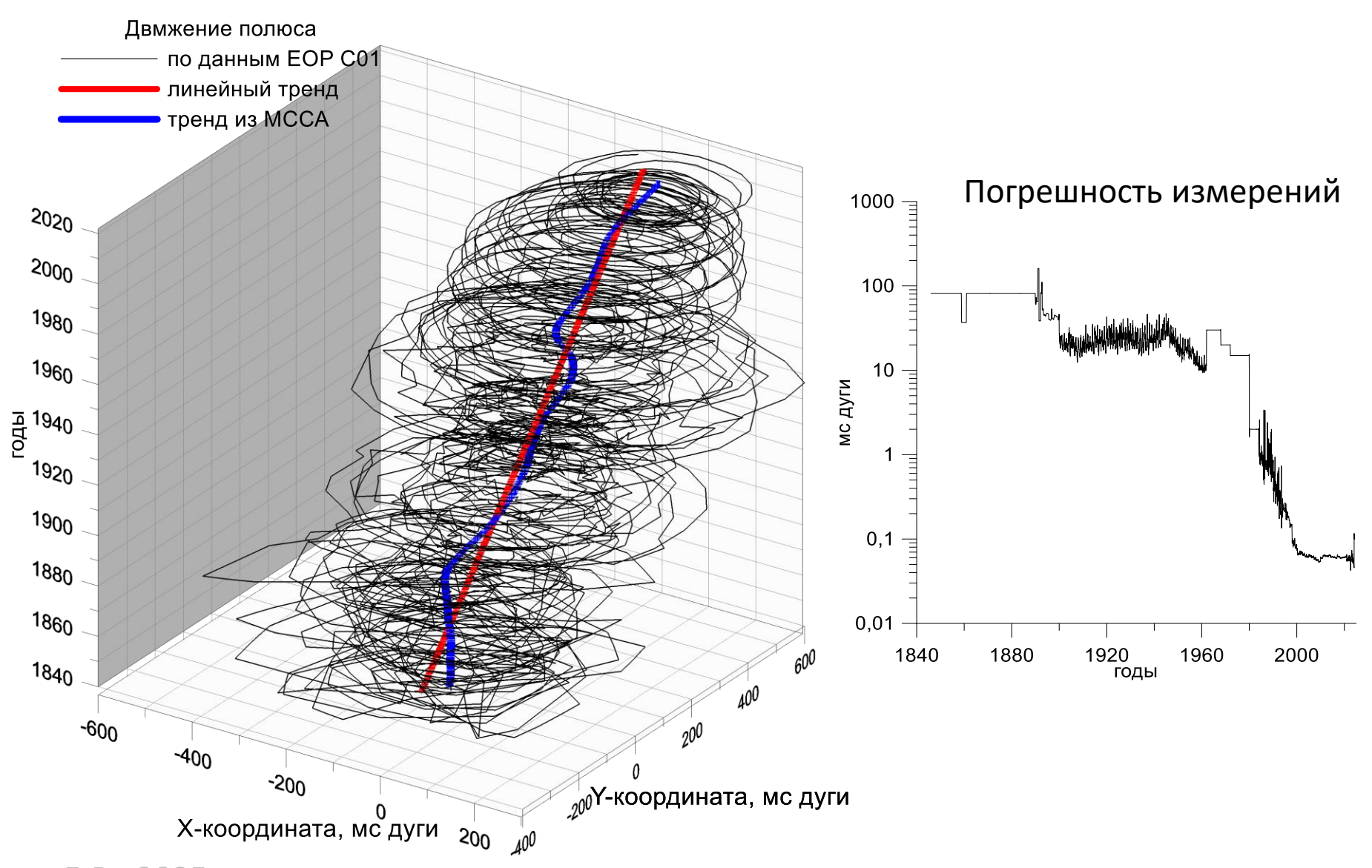


Institute of Geophysics and Planetary Physics, Scripps Institution of Oceanography, University of California San Diego, La Jolla, CA, USA. Ele-mail: dagnew@ucsd.edu

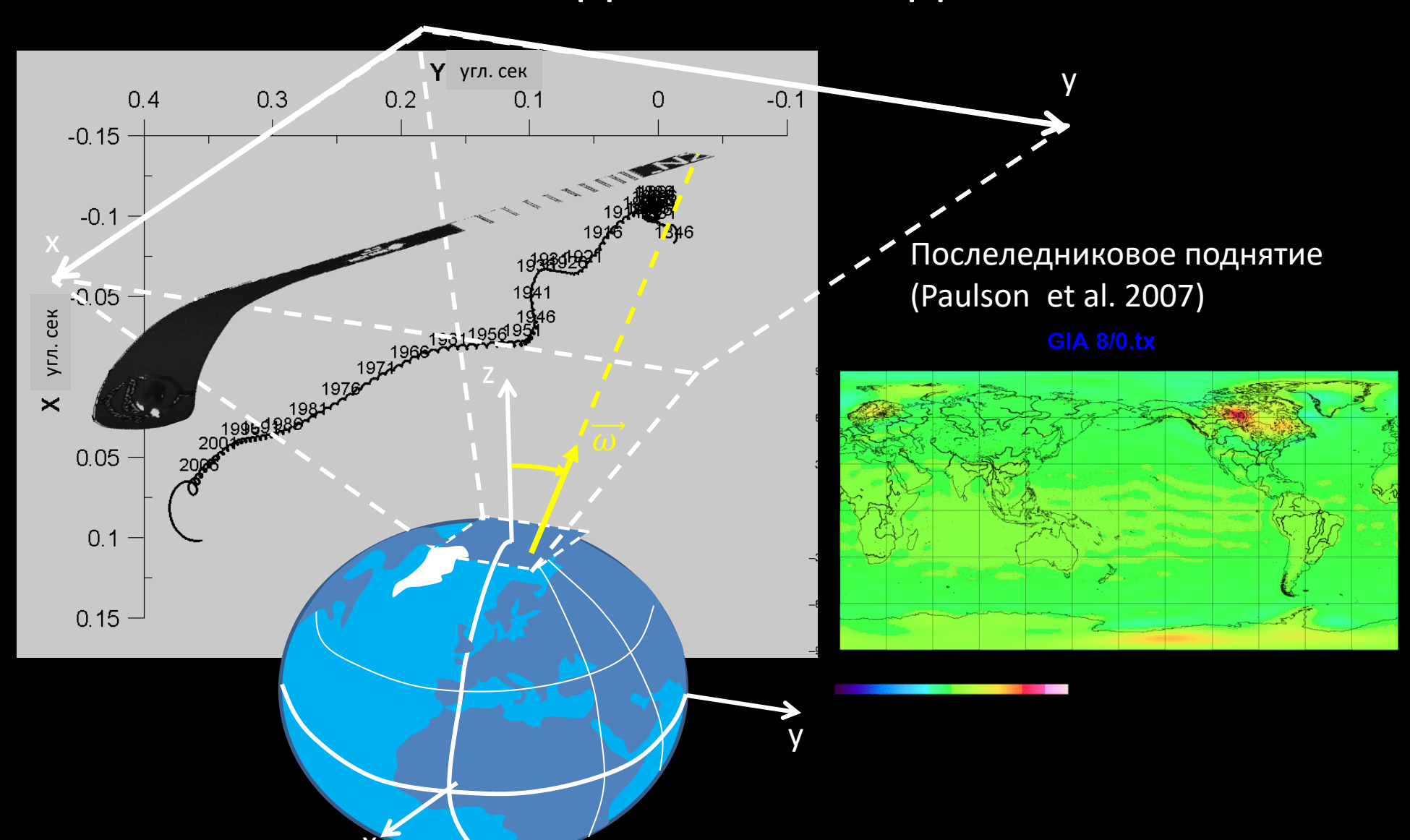
## Коэффициент $J_2 = -\sqrt{5}C_{20}$ по SLR и GRACE и его вклад в LOD



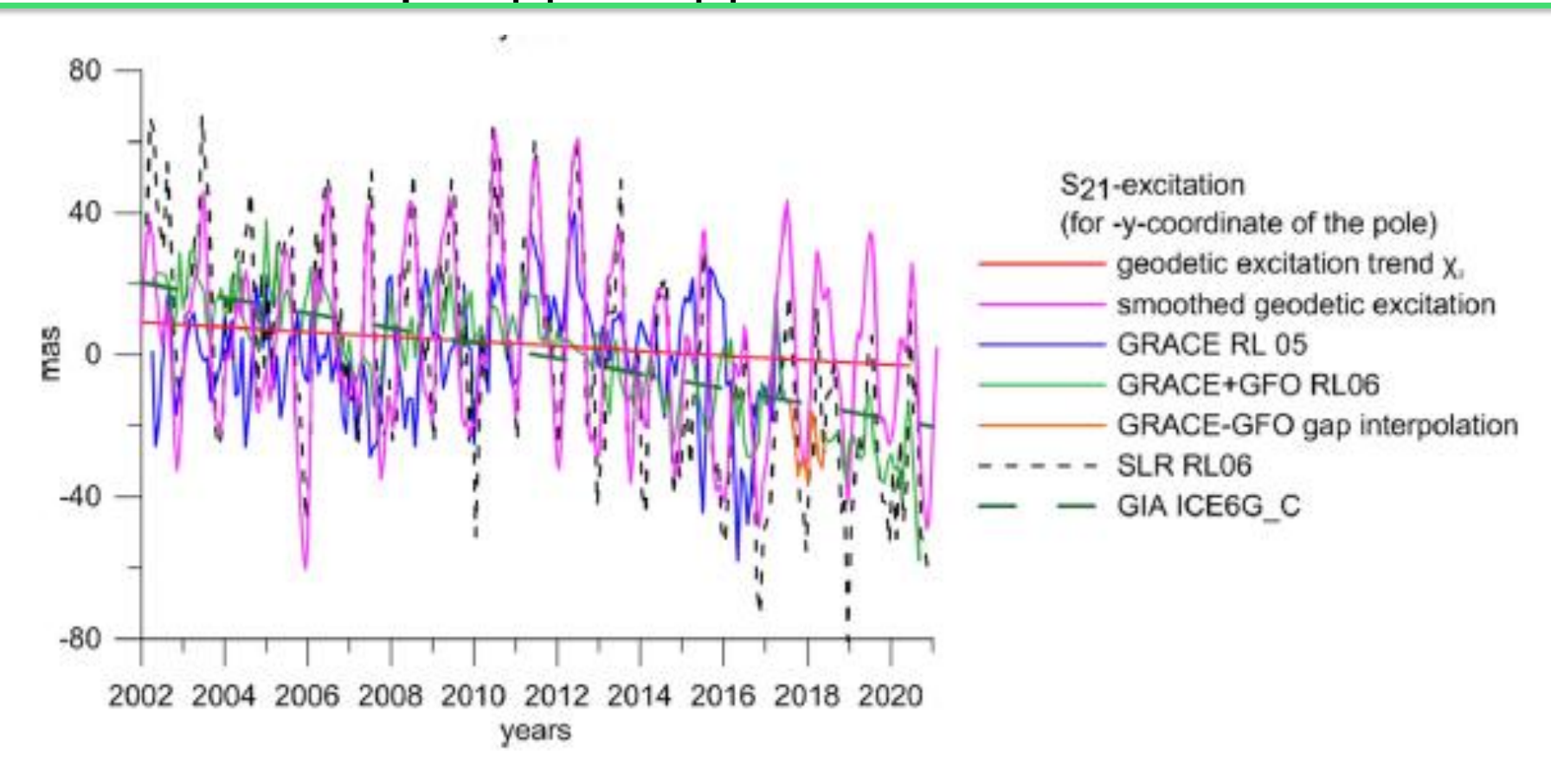
## Движение полюса с 1846 по 2025 из бюллетеня ЕОР СО1



## Тренд движения полюса и послеледниковое поднятие



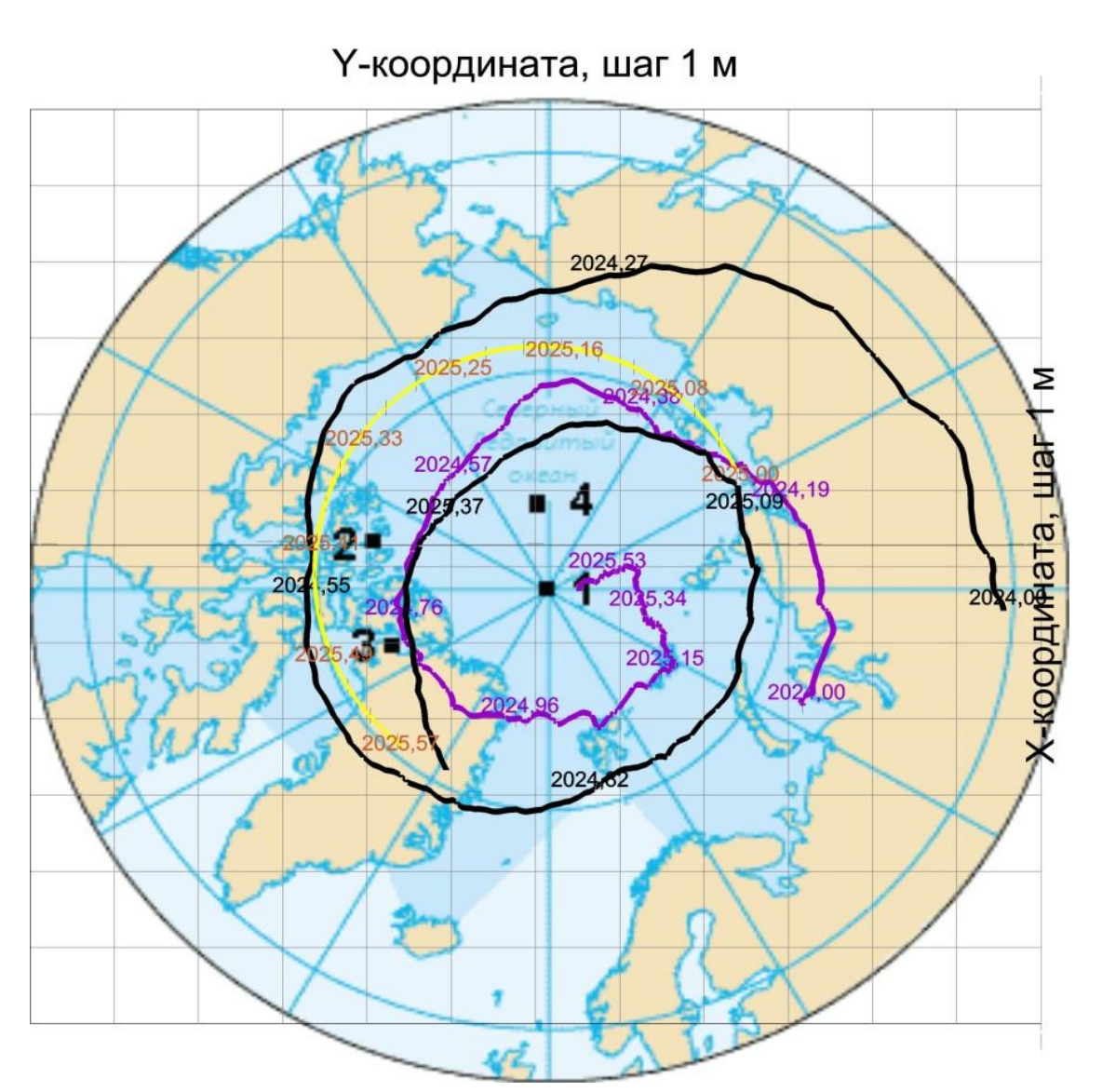
## Согласие коэффициентов C<sub>21</sub> S<sub>21</sub> по SLR и GRACE с трендами движения полюса



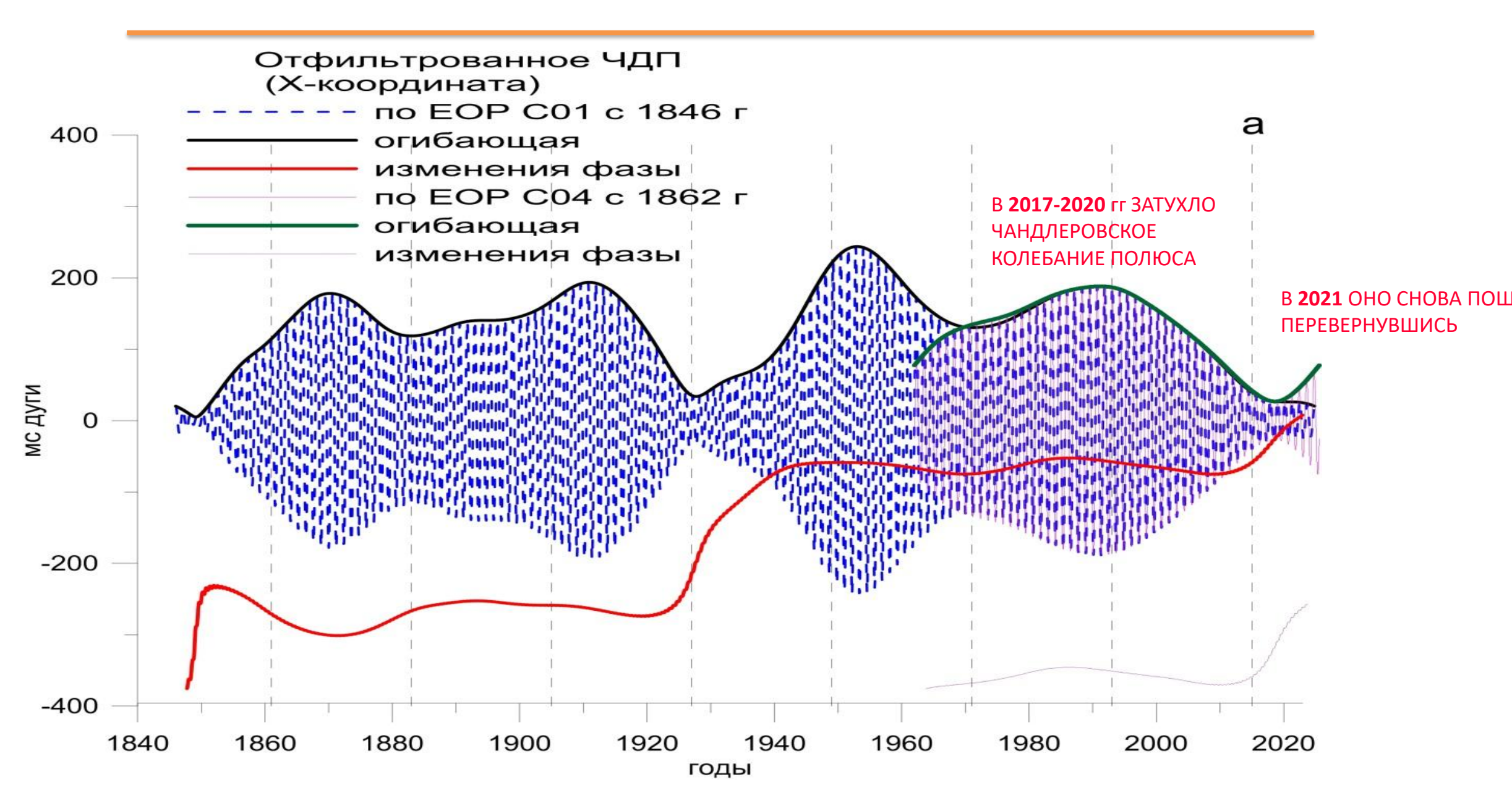
Климатологическое перераспределение масс ответственно за дрейф полюса.

Leonid Zotov, Christian Bizouard, C.K. Shum, Vera Zinovieva, Analysis of the Second Degree Stokes Coefficients of Geopotential and Earth Rotation Trends, AIP proceedings & EGU-2018

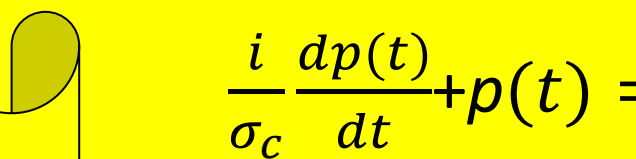
# Движение полюса по данным ЕОР С01 Чандлеровское колебание Н ДП за вычетом годового колебания годовое колебание



## Чандлеровское колебание с 1846 по 2025 и его фаза



## Динамическая модель вращения Земли



$$p = p_1 + ip_2$$

$$\chi = \chi_{mass} + \chi_{motion}$$

$$\sigma_c = 2\pi f_c (1 + i/2Q)$$

$$f_c = \frac{1}{433}$$
 cyt<sup>-1</sup>  $Q = 100$ 

$$\frac{-\omega \hat{p}(\omega)}{\sigma_c} + \hat{p}(\omega) = \hat{\chi}(\omega)$$

$$\frac{\sigma_c - \omega}{\sigma_c} \hat{p} (\omega) = \hat{\chi} (\omega)$$

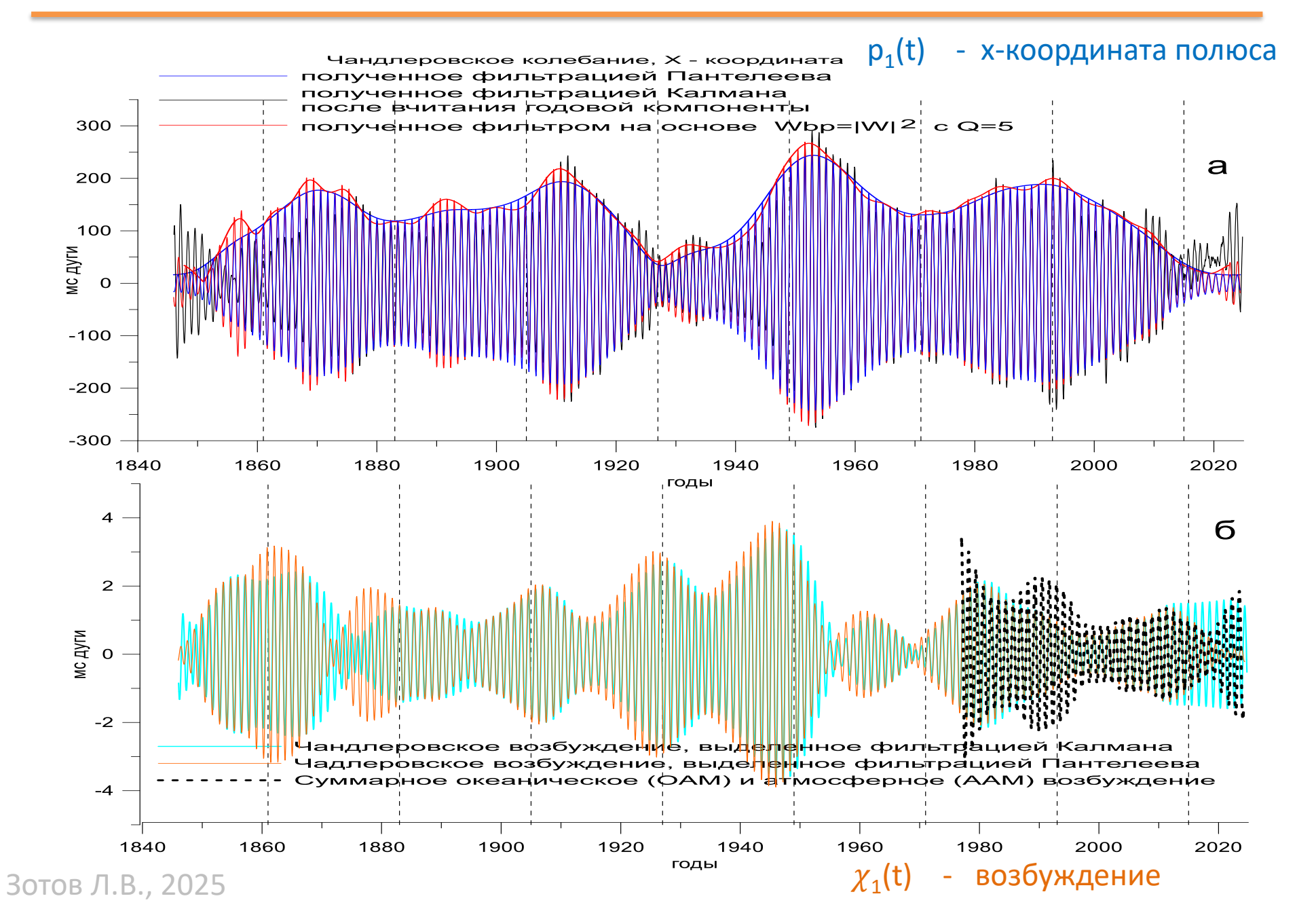
$$\hat{p}(\omega) = W(\omega) \,\hat{\chi}(\omega)$$

$$W(\omega) = \frac{\sigma_c}{\sigma_c - \omega}$$

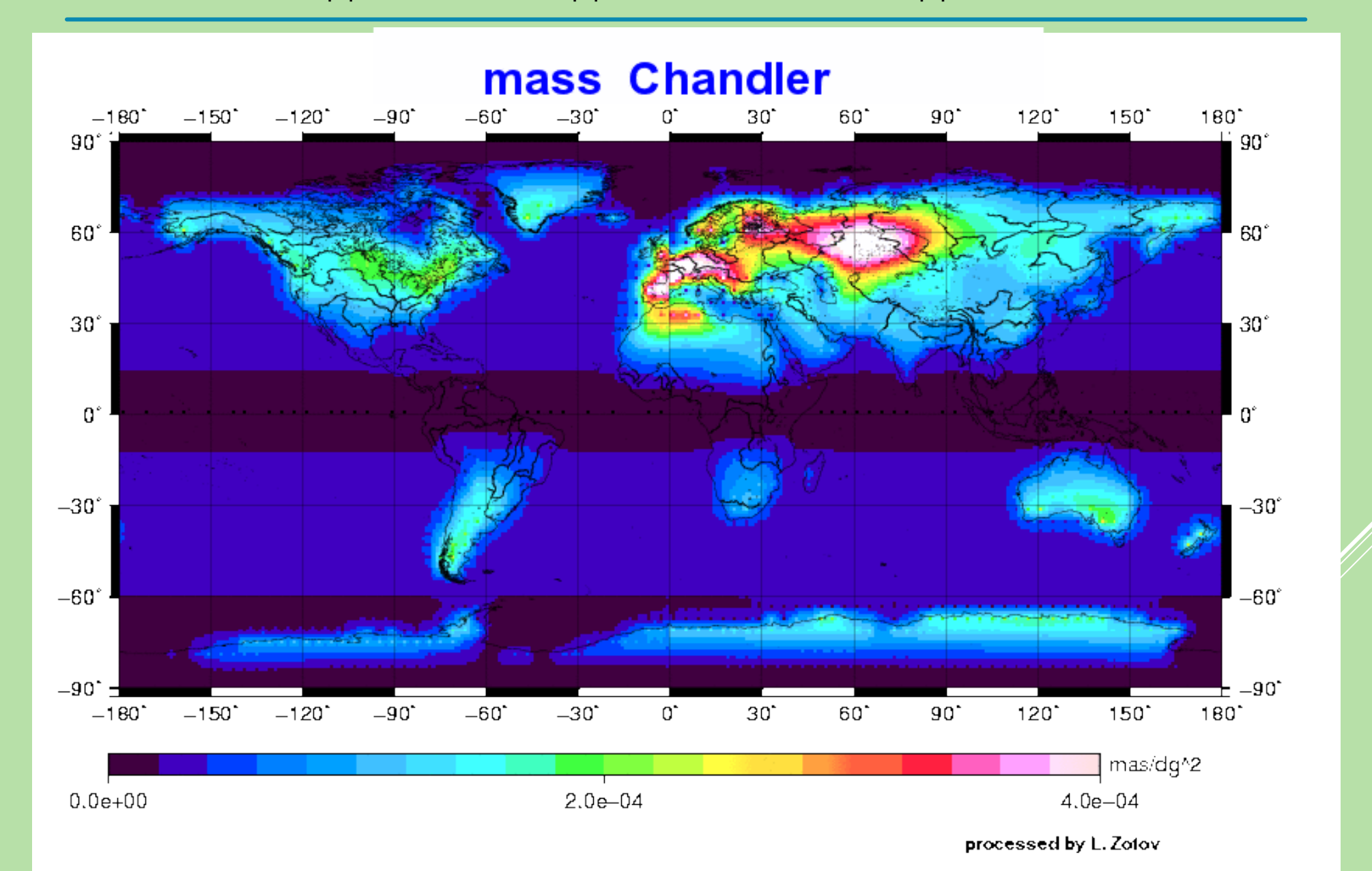
Во временной области

В частотной области

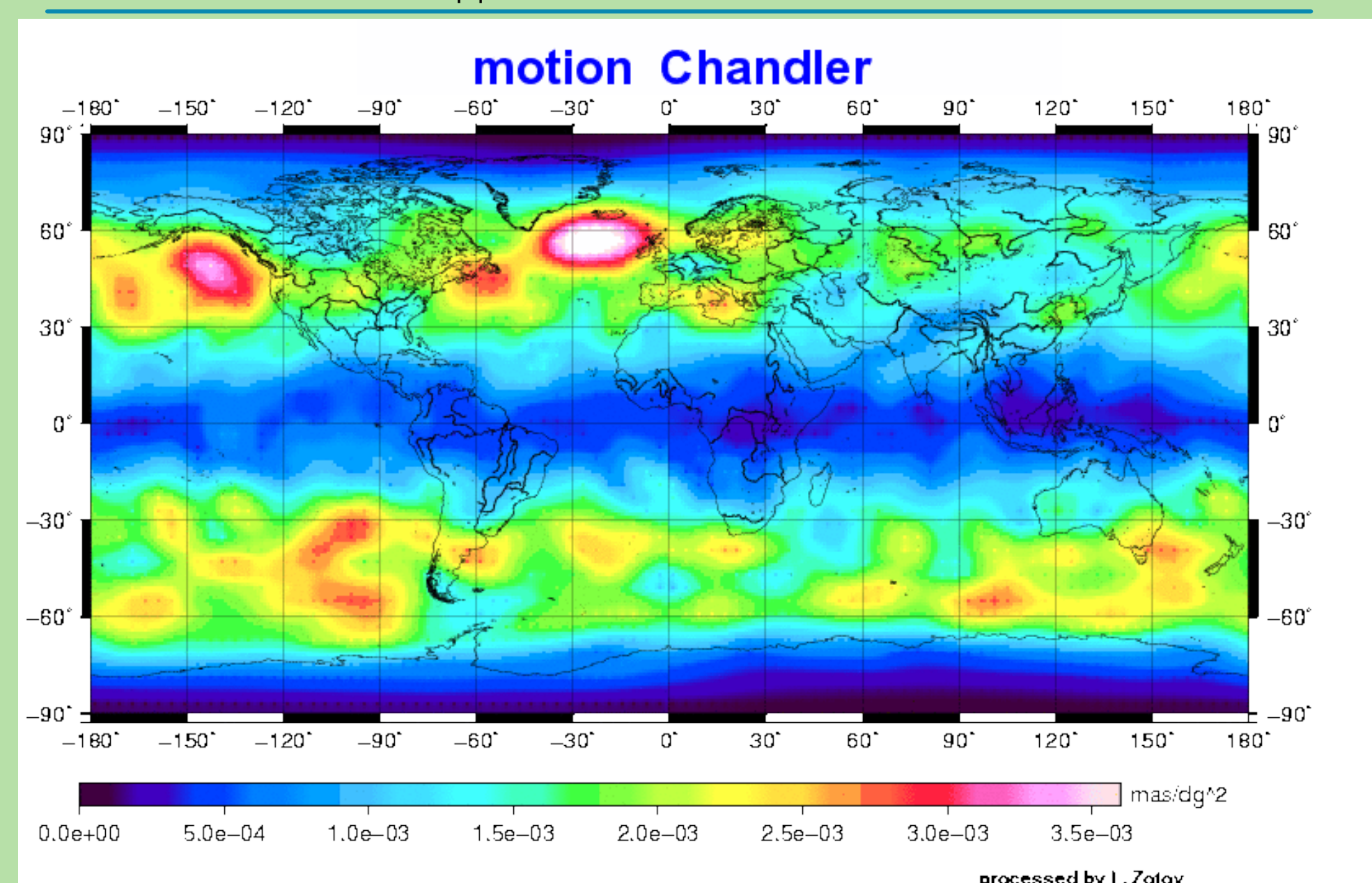
## Чандлеровское колебание p и его возбуждение $\chi$



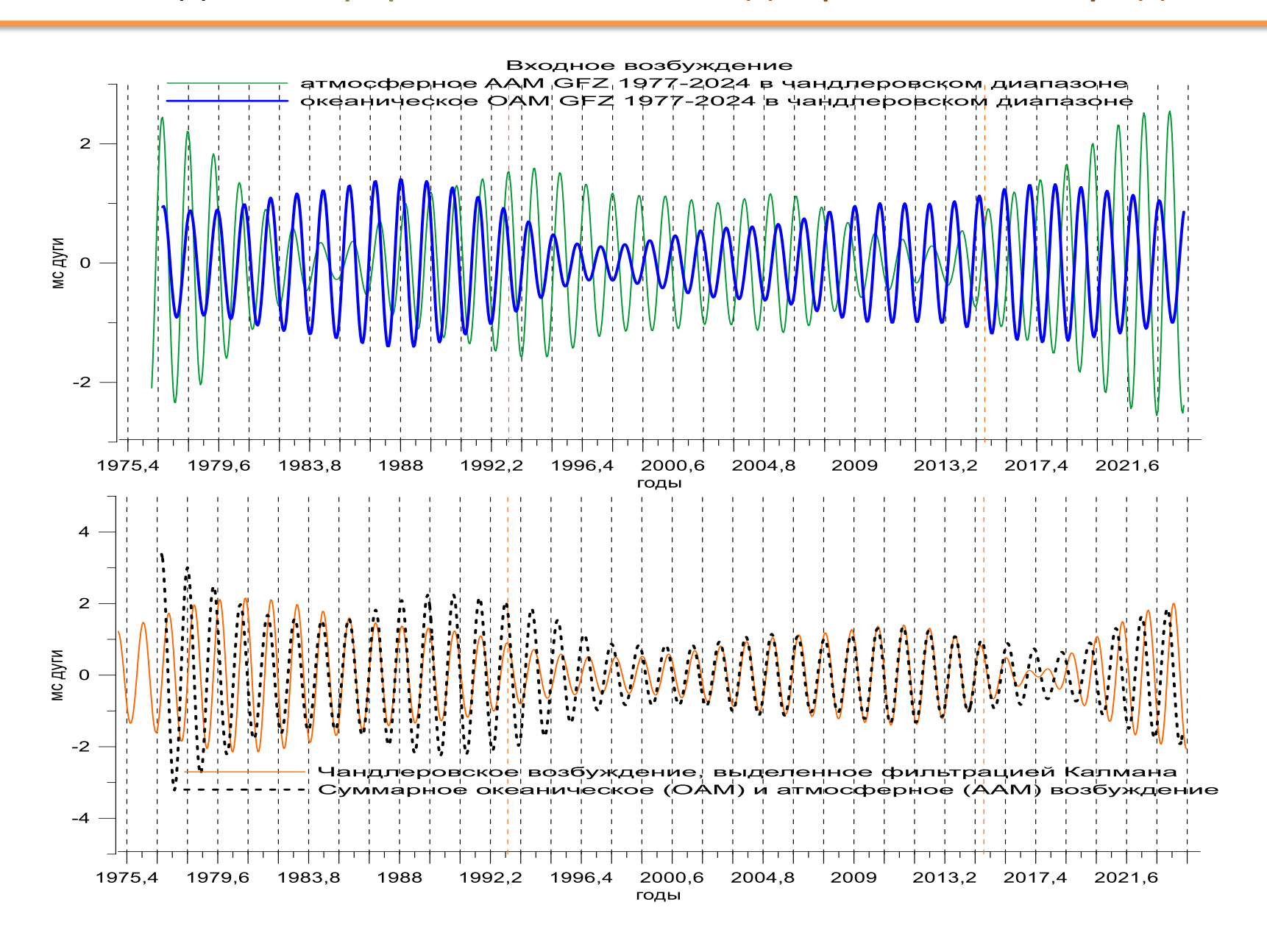
## МОДУЛЬ МЕРИДИОНАЛЬНОГО AAM В ЧАНДЛЕРОВСКОМ ДИАПАЗОНЕ ECMWF ДАВЛЕНИЕ



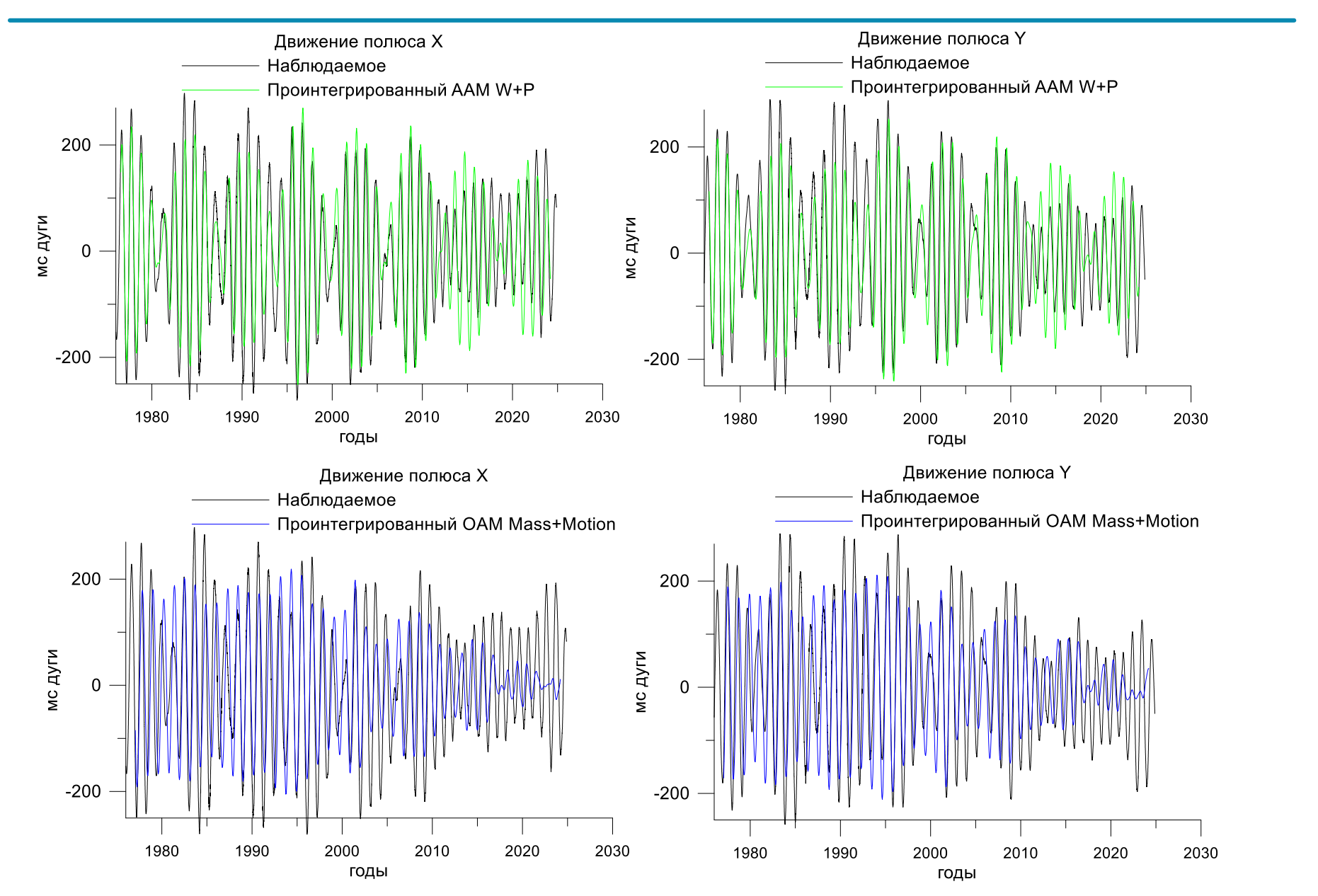
#### МОДУЛЬ МЕРИДИОНАЛЬНОГО AAM B ЧАНДЛЕРОВСКОМ ДИАПАЗОНЕ ECMWF BETEP



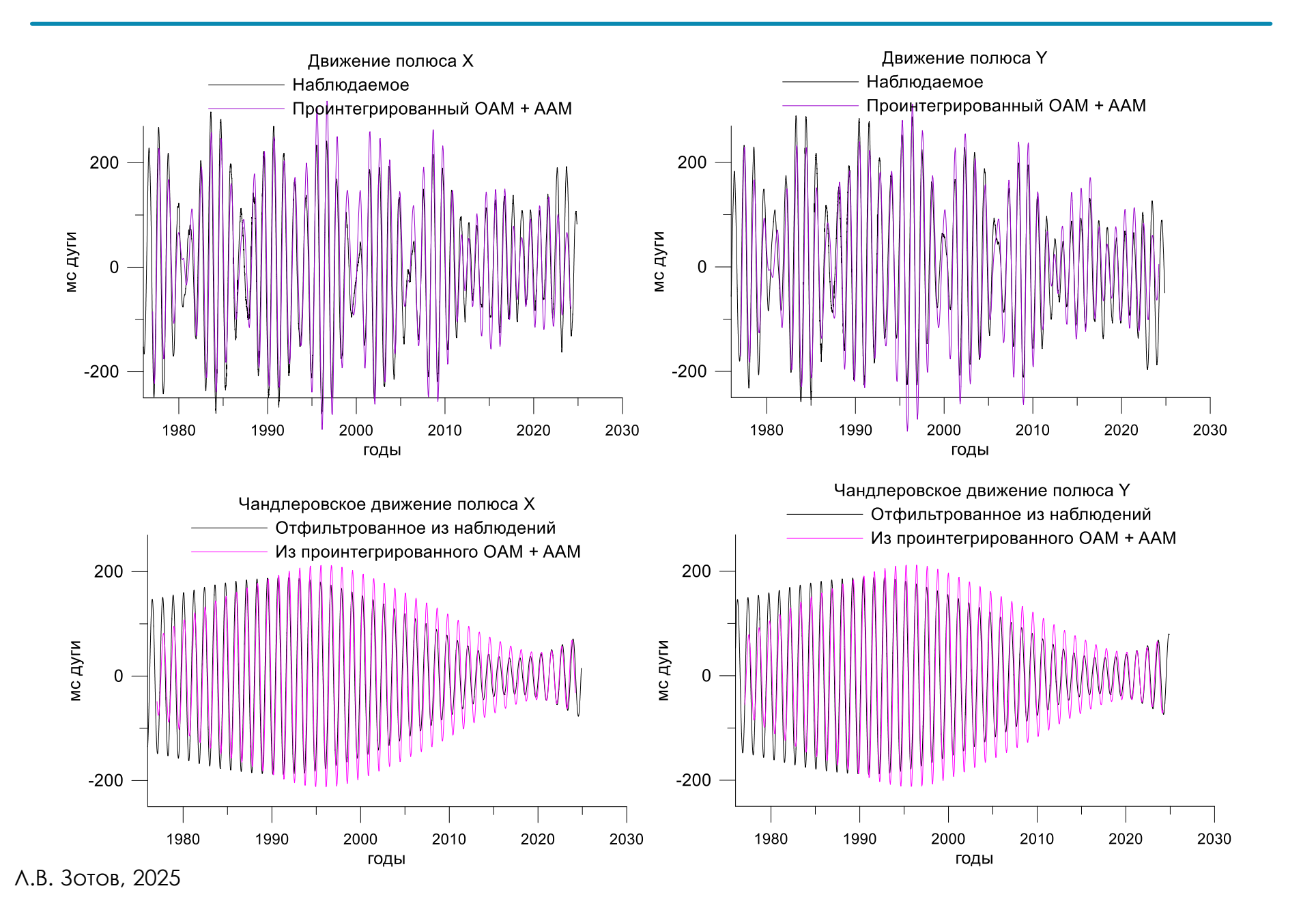
#### Вклад атмосферы и океана в Чандлеровское возбуждение



#### Влияние атмосферы и океана на движение полюса



## Сумма влияния атмосферы и океана на ДП и ЧДП





GEODYNAMICS

Geodynamics 27 (1999) 61-73

#### Meteorological excitation of interannual polar motion by the North Atlantic Oscillation

#### Benjamin Fong Chao<sup>a</sup>, Yong-Hong Zhou<sup>b</sup>

Space Geodesy Branch, NASA Goddard Space Flight Center, Greenbelt, Maryland 20771, U.S.A.
 Shanghai Astronomical Observatory, Chinese Academy of Sciences, Shanghai, China

Received 12 December 1996; revised 12 December 1997; accepted 4 June 1997

#### Abstract

Variations of the atmospheric angular momentum (AAM) is responsible for almost all of the observed length-of-day (LOD) variation on time scales from several days to several years, and much of the observed polar motion on the intra-seasonal time scale. El Niño/Southern Oscillation (ENSO) and Quasi-Biennial Oscillation (QBO) have been singled out to successfully explain interannual LOD variations. However, excitation sources for the interannual polar motion, including the 14 month Chandler wobble, have not been positively identified. This paper studies the correlation of the observed polar motion  $\Psi$  with the North Atlantic Oscillation (NAO), an interannual, mid-latitude, north-south seesaw in the atmosphere-ocean system. An index (NAOI) used as a proxy to measure the strength of NAO is compared with the observed interannual polar motion excitation during 1964–1994. Cross-correlation functions and coherence spectra demonstrate significant correlations between NAOI and  $\Psi$ , especially in the x component as expected from NAO's location and general pattern. This constitutes a positive identification of excitation of interannual polar motion by a meteorological system. Furthermore, our corresponding results with respect to ENSO strongly suggest that a combination of meteorological systems will better explain the observed interannual polar motion and perhaps the Chandler wobble. © 1998 Published by Elsevier Science Ltd. All rights reserved

#### B.F. Chao, Y.-H. Zhou/Geodynamics 27 (1999) 61-73

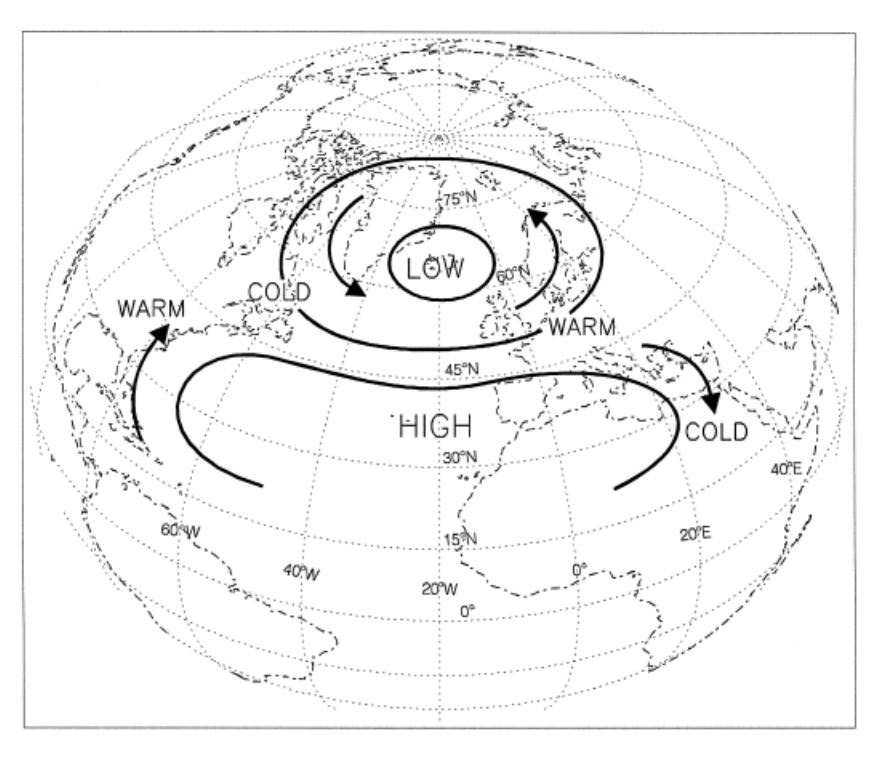
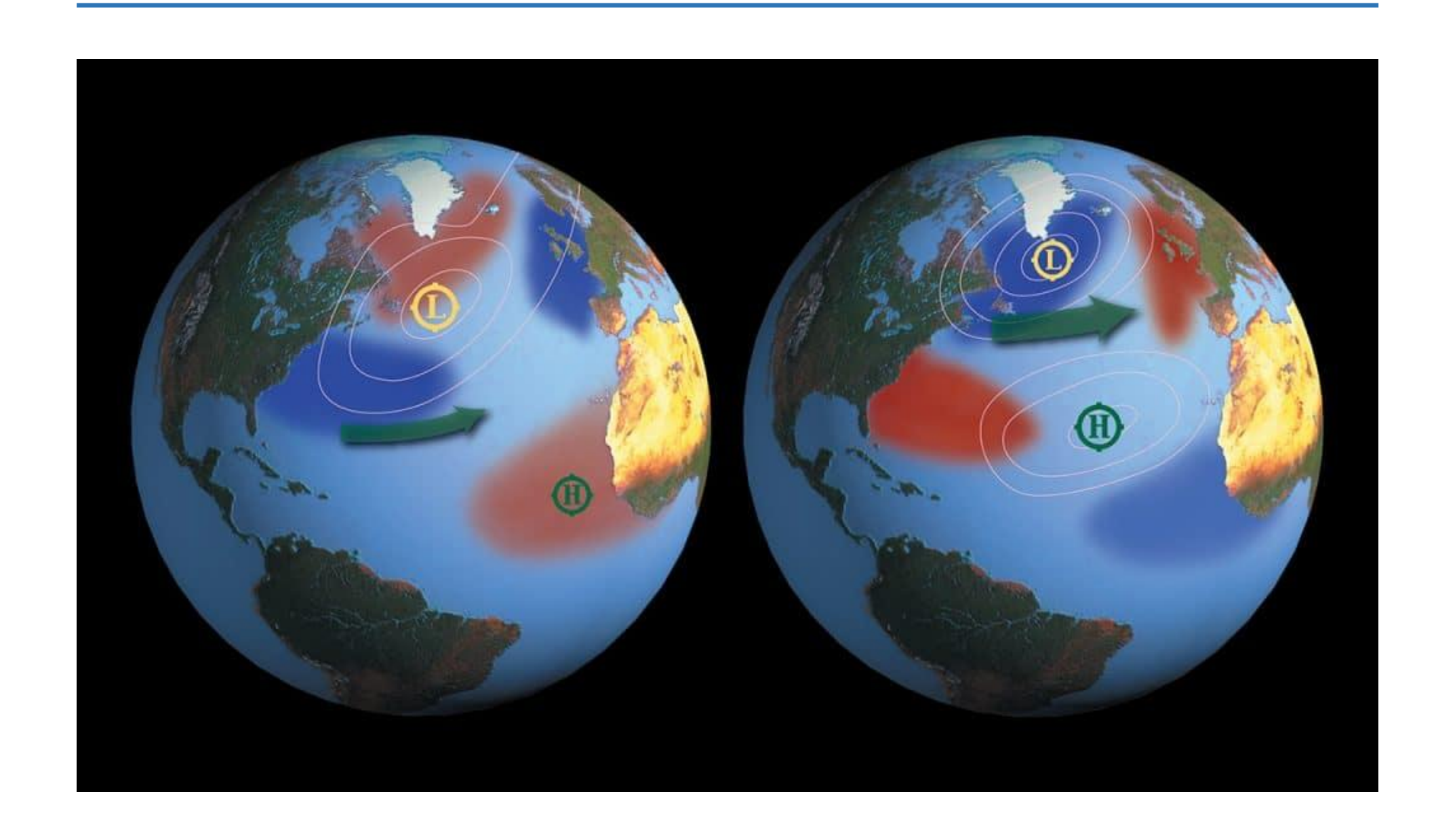
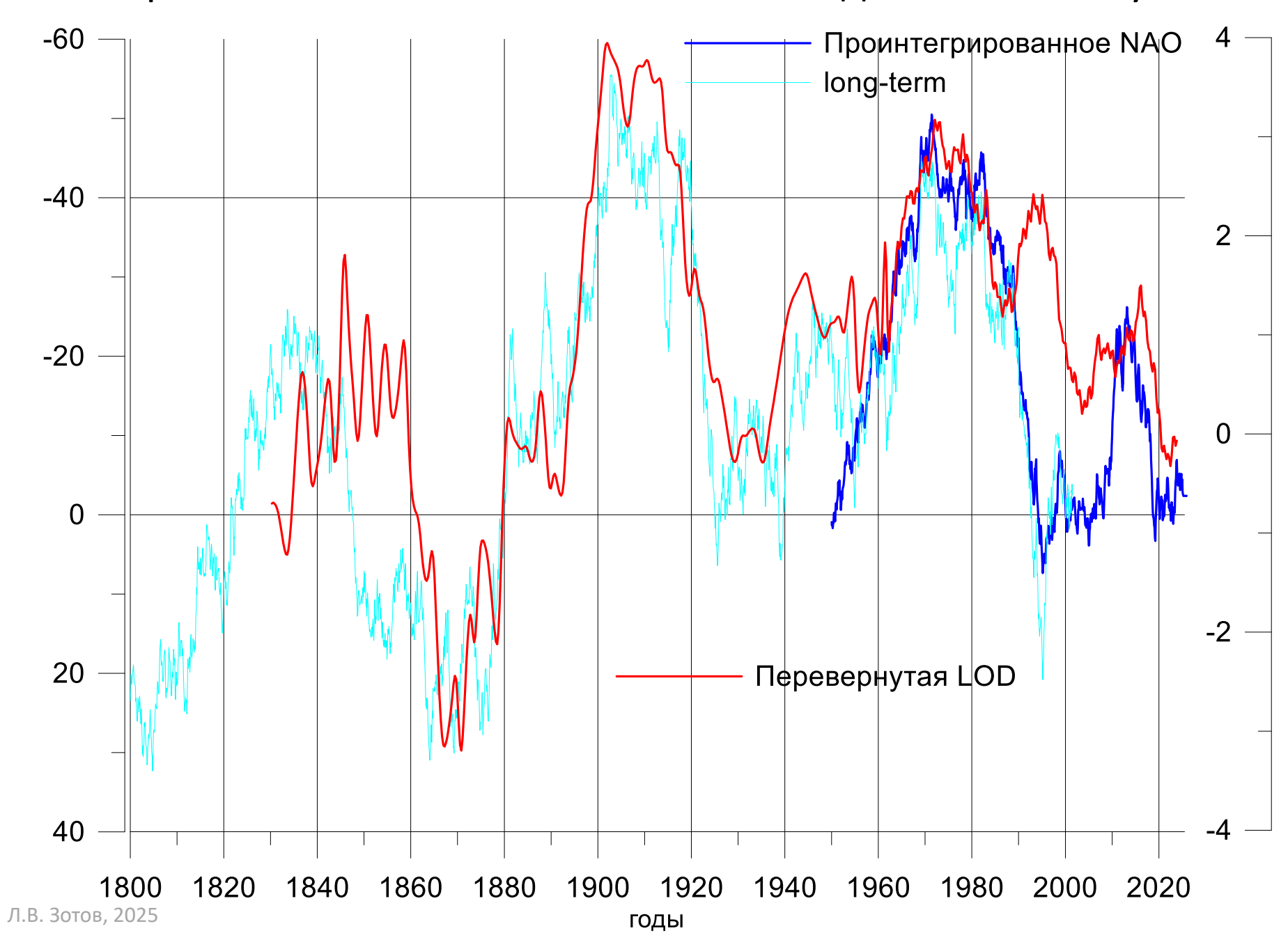


Fig. 4. Idealized schematic pattern of the North Atlantic Oscillation (after Wallace and Gutzler, 1981).

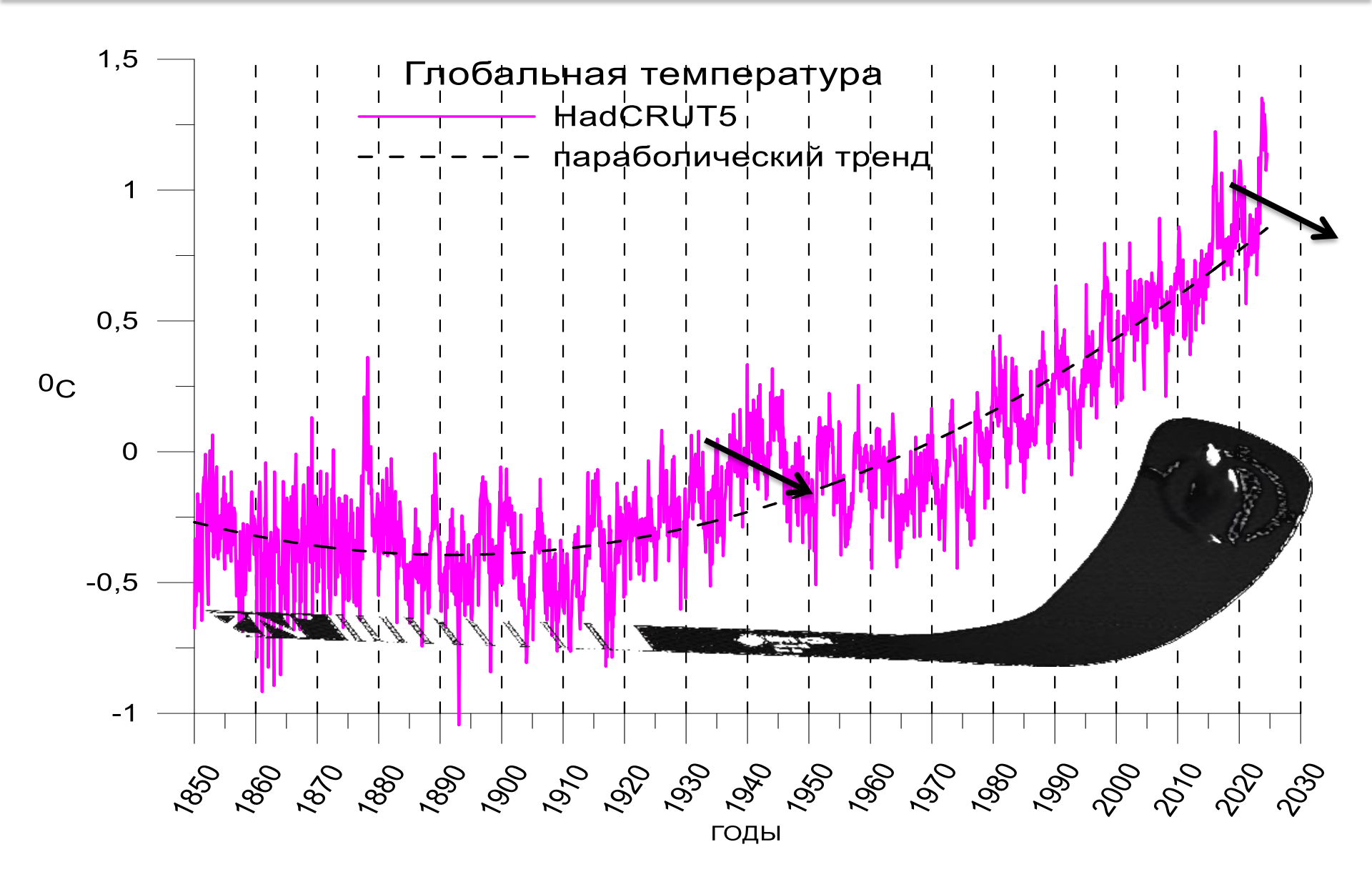
## Северо-Атлантическое колебание САК



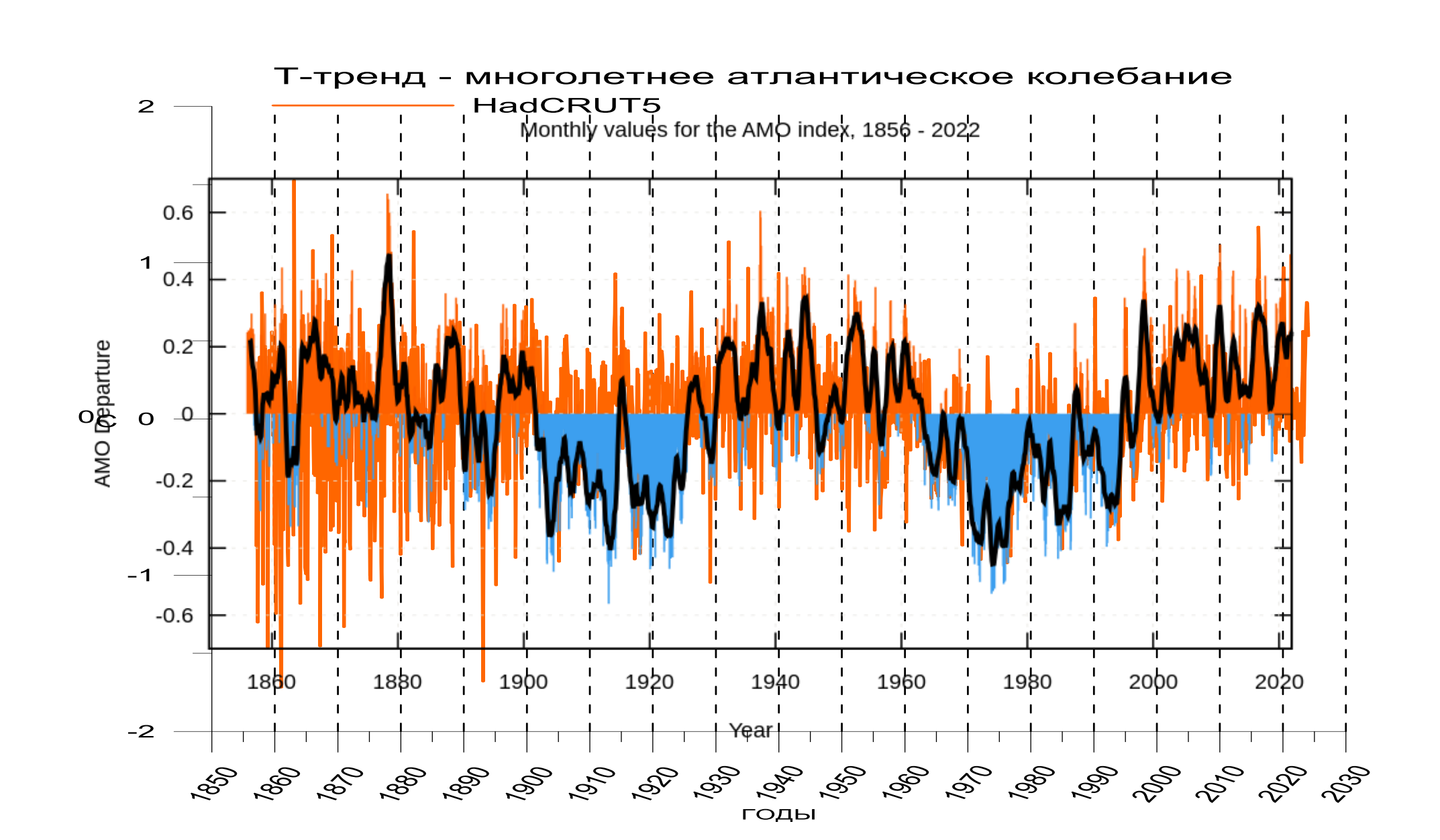
#### Северо-атлантическое колебание NAO и длительность суток LOD



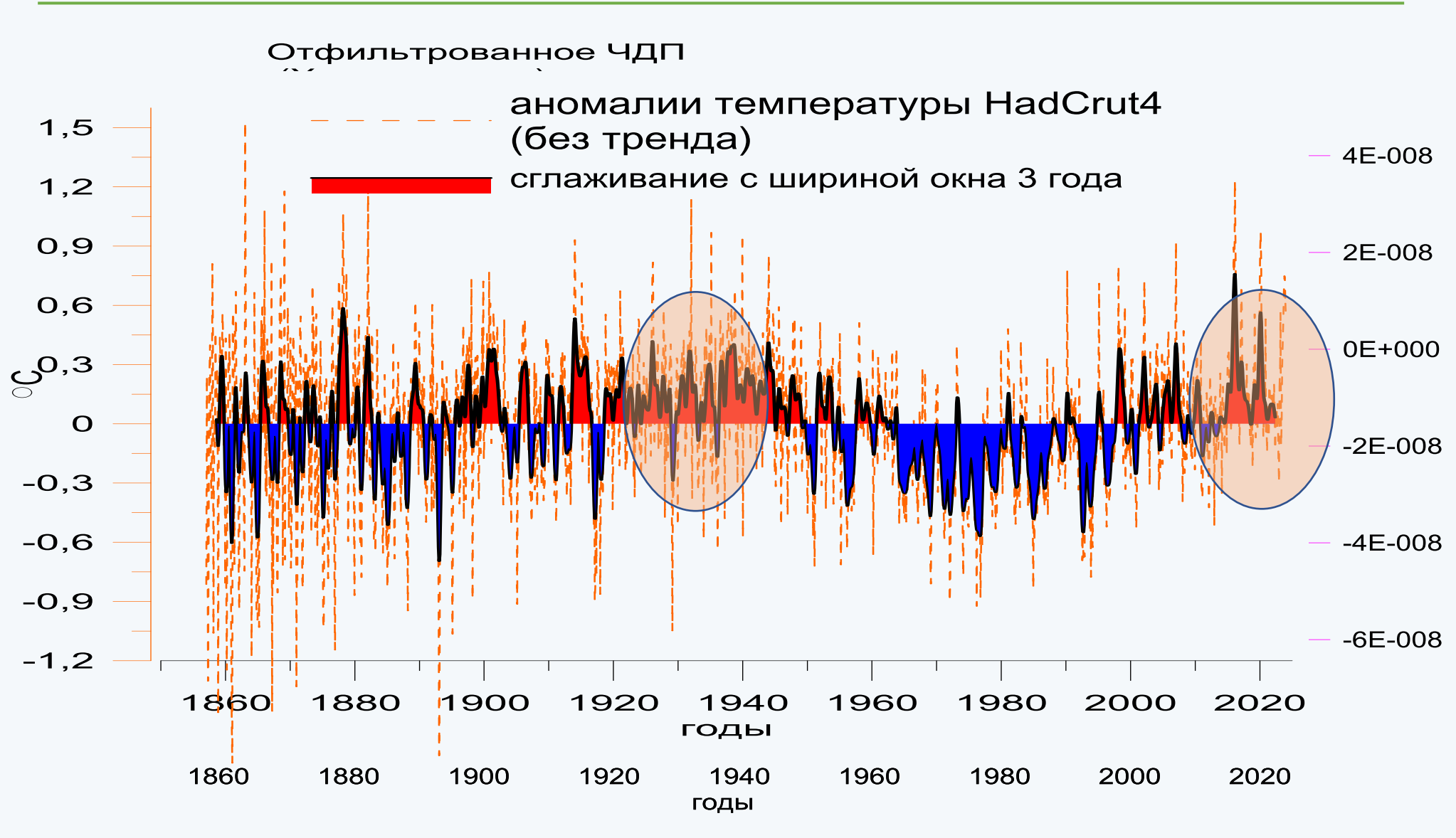
## Глобальная температура на Земле



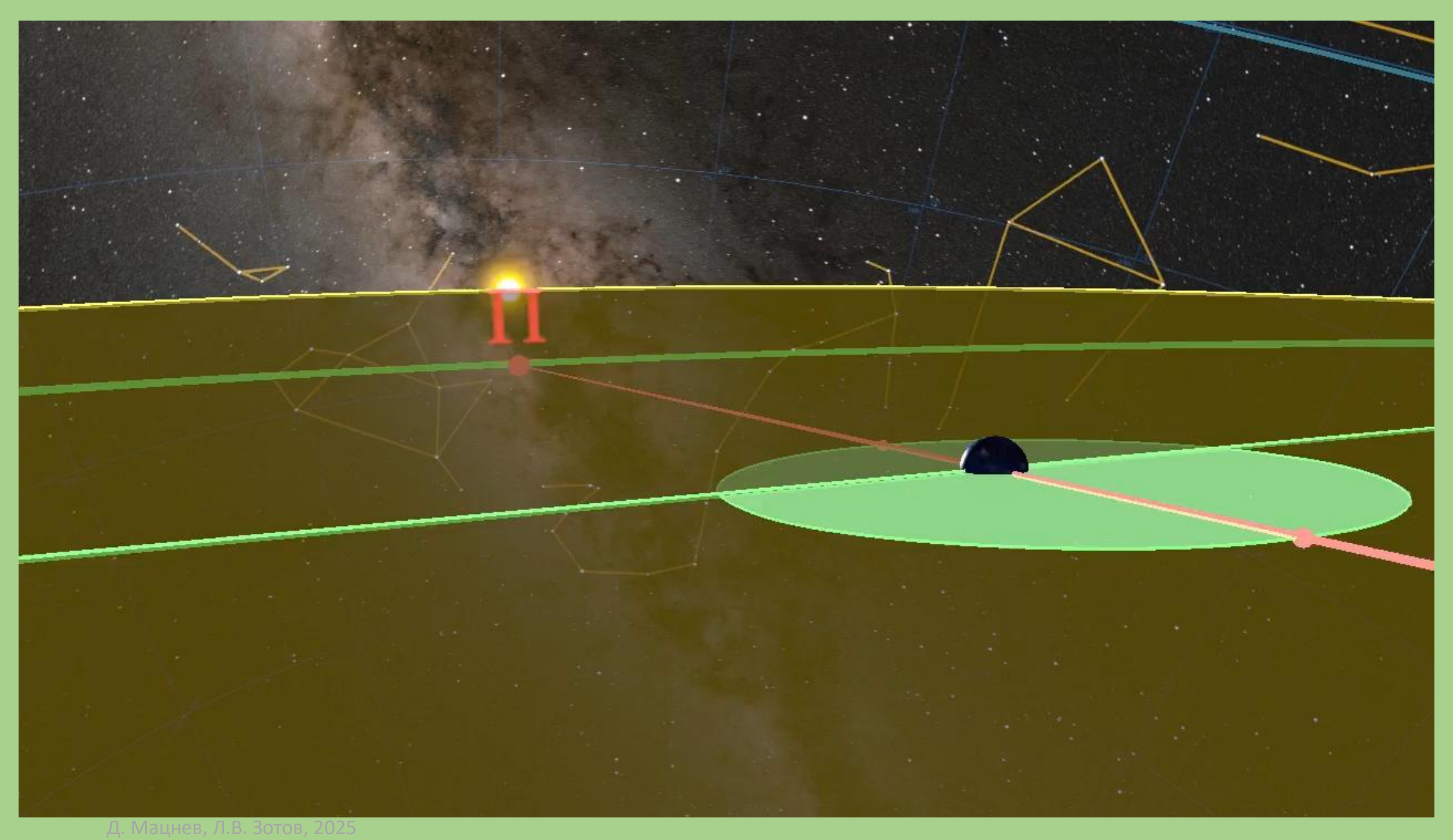
## Атлантическая многолетняя осцилляция АМО

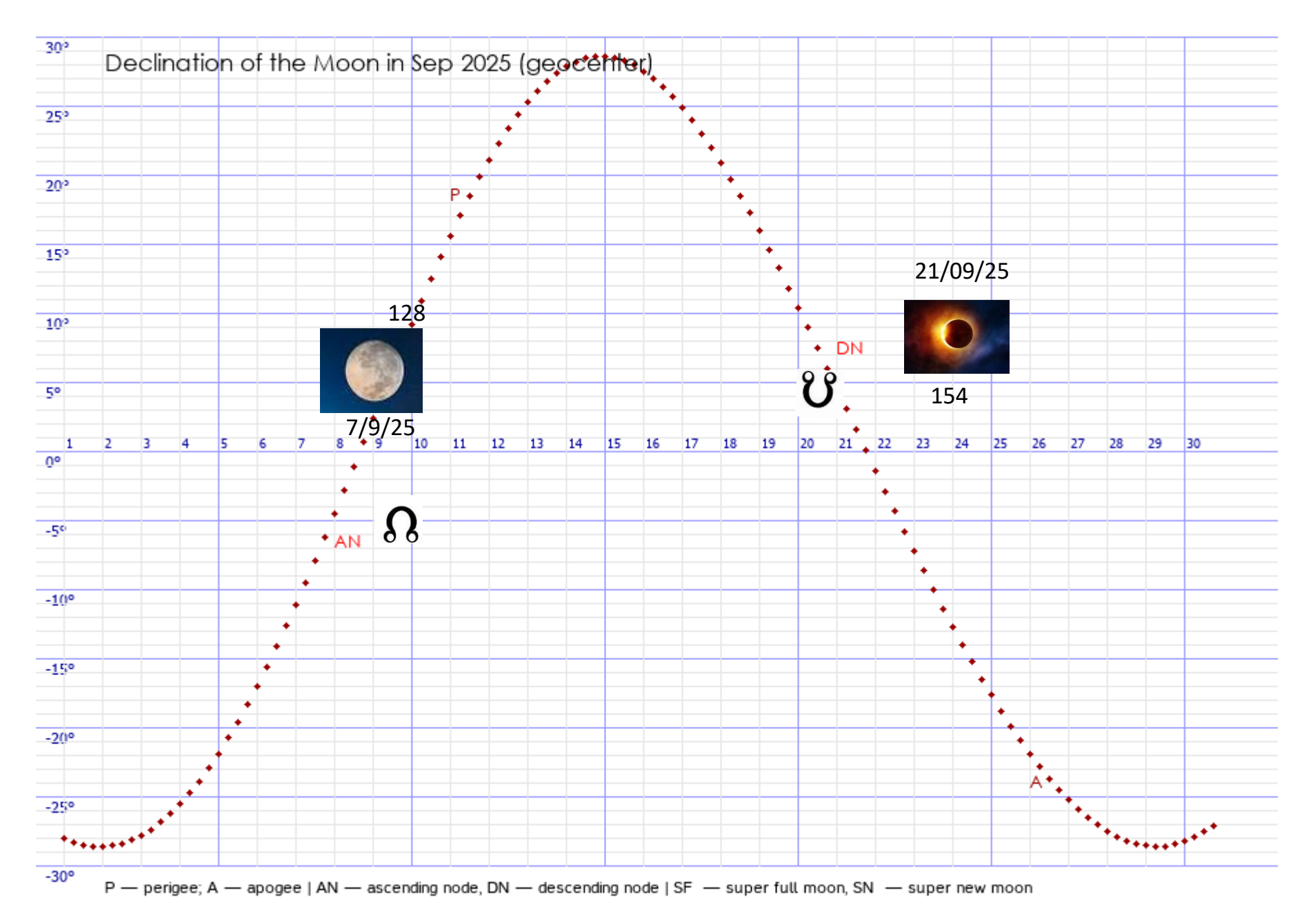


# Синхронное поведение Чандлеровского колебания, скорости вращения Земли и многолетнего атлантического колебания

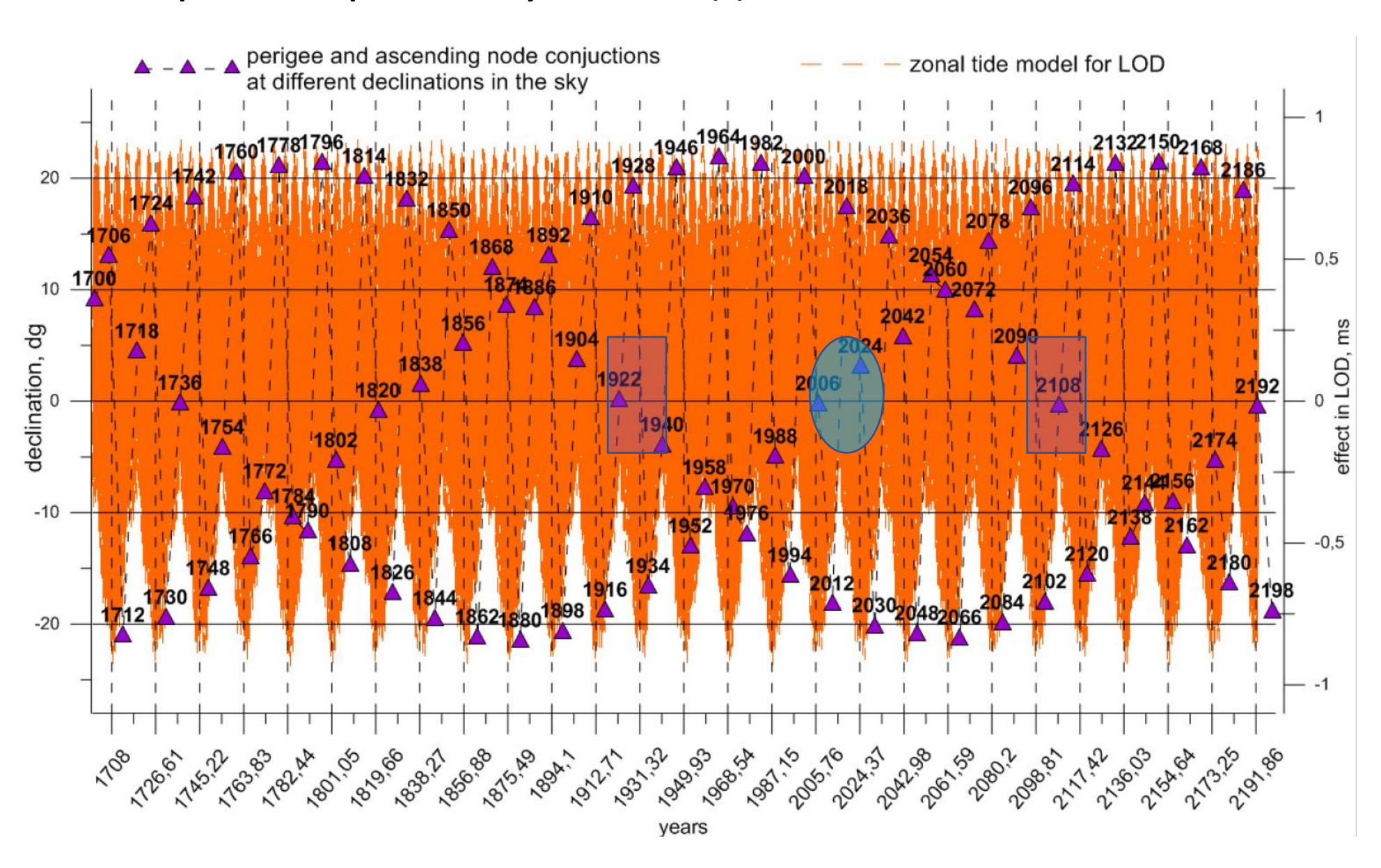


## Движение перигея и узлов навстречу друг другу

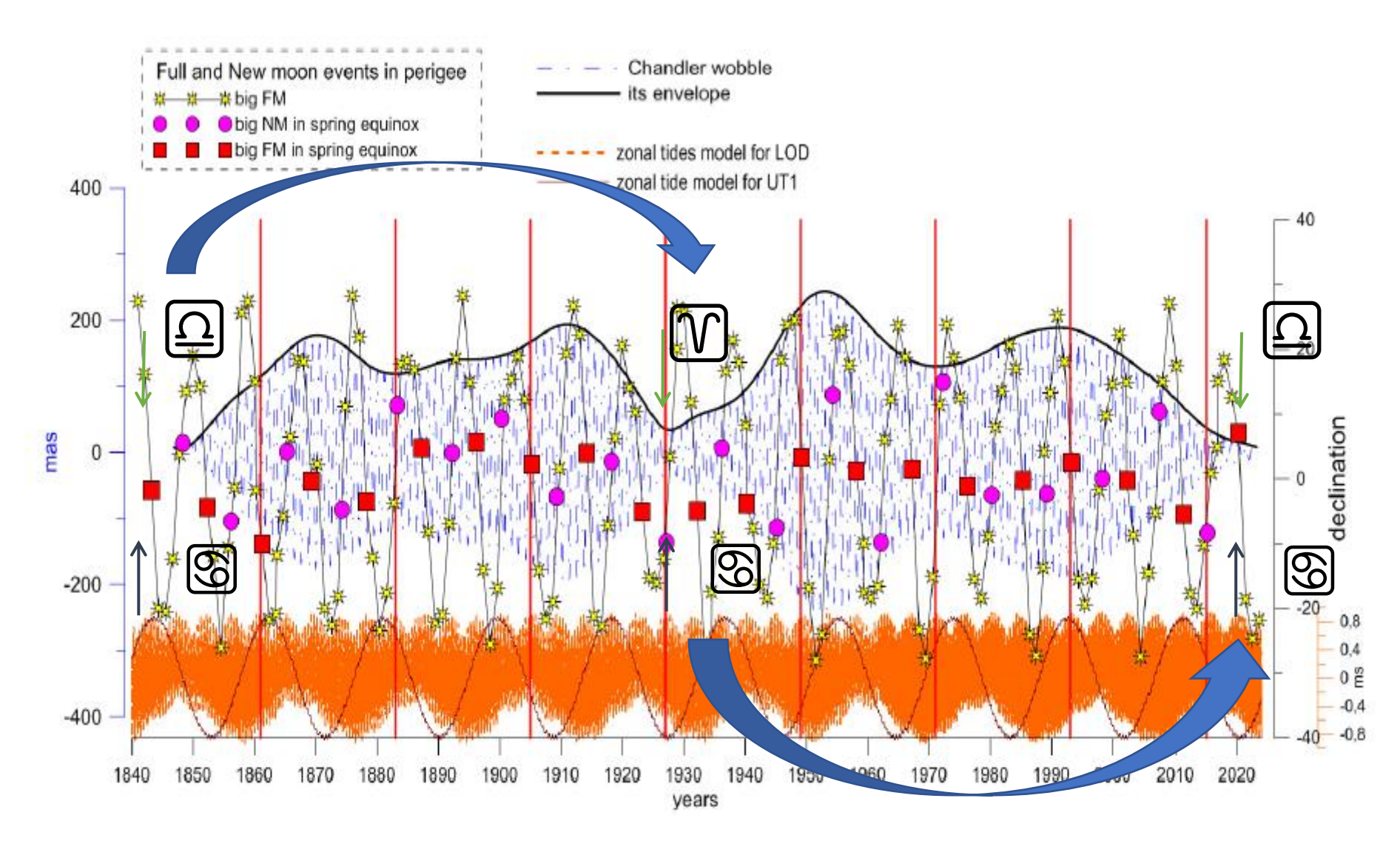




#### Встречи перигея и узла каждые 6 лет и их склонения



#### Возможная причина аномалий Чандлеровского колебания и LOD



L. Zotov, Anomalies in the Earth rotation and Syzygies in Perigee, at Industry 4.0 VIII, Iss. 5, p. 166-168, 2023 WEB ISSN 2534-997X; PRINT ISSN 2534-8582

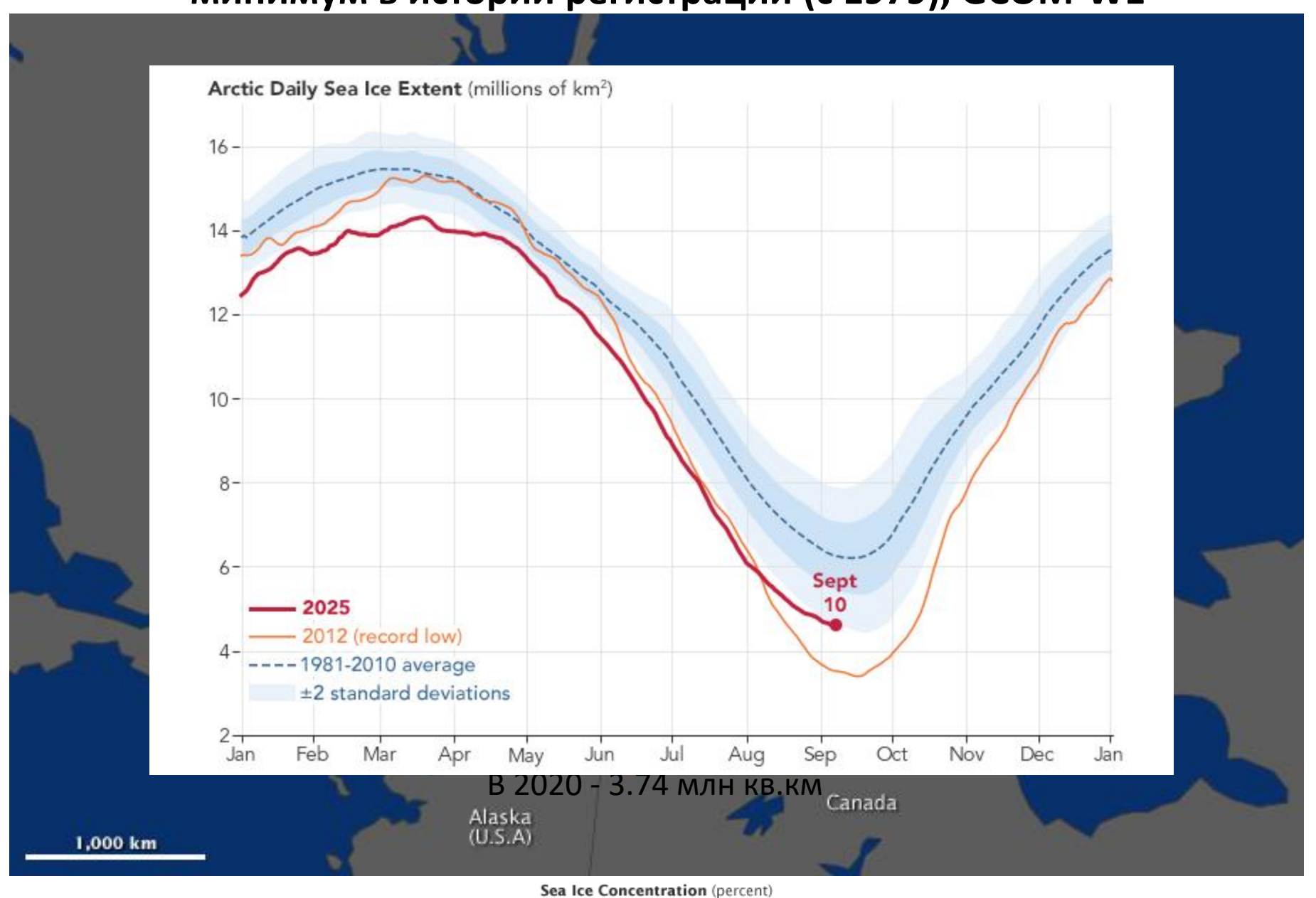
#### Выводы

- данные GRACE и GFO по гравитационному полю Земли незаменимы для многих геофизических приложений
- гравитационное поле над большими территориям отражает динамику климатических воздействий на ледники, вечную мерзлоту, океан, водный баланс суши
- в 2020-е годы ряд параметров вращения Земли проявил аномальное поведение: декадное ускорение вращения Земли совпало с затуханием Чандлеровского колебания полюса
- данные космической гравиметрии по первым коэффициентам гравитационного поля Земли сжатию  $J_2$  и асимметрий  $C_{21,}$   $S_{21}$  помогают определить вклад перераспределений масс в аномалии вращении Земли
- массовая компонента по данным GRACE и GRACE-FO хорошо объясняет дрейф полюса, но не может объяснить аномалии ускорения вращения Земли и исчезновение Чандлеровского колебания, произошедшие с 2022 года





Ледовый покров в Арктике в сентябре 2012 - минимум в истории регистрации (с 1979), GCOM-W1

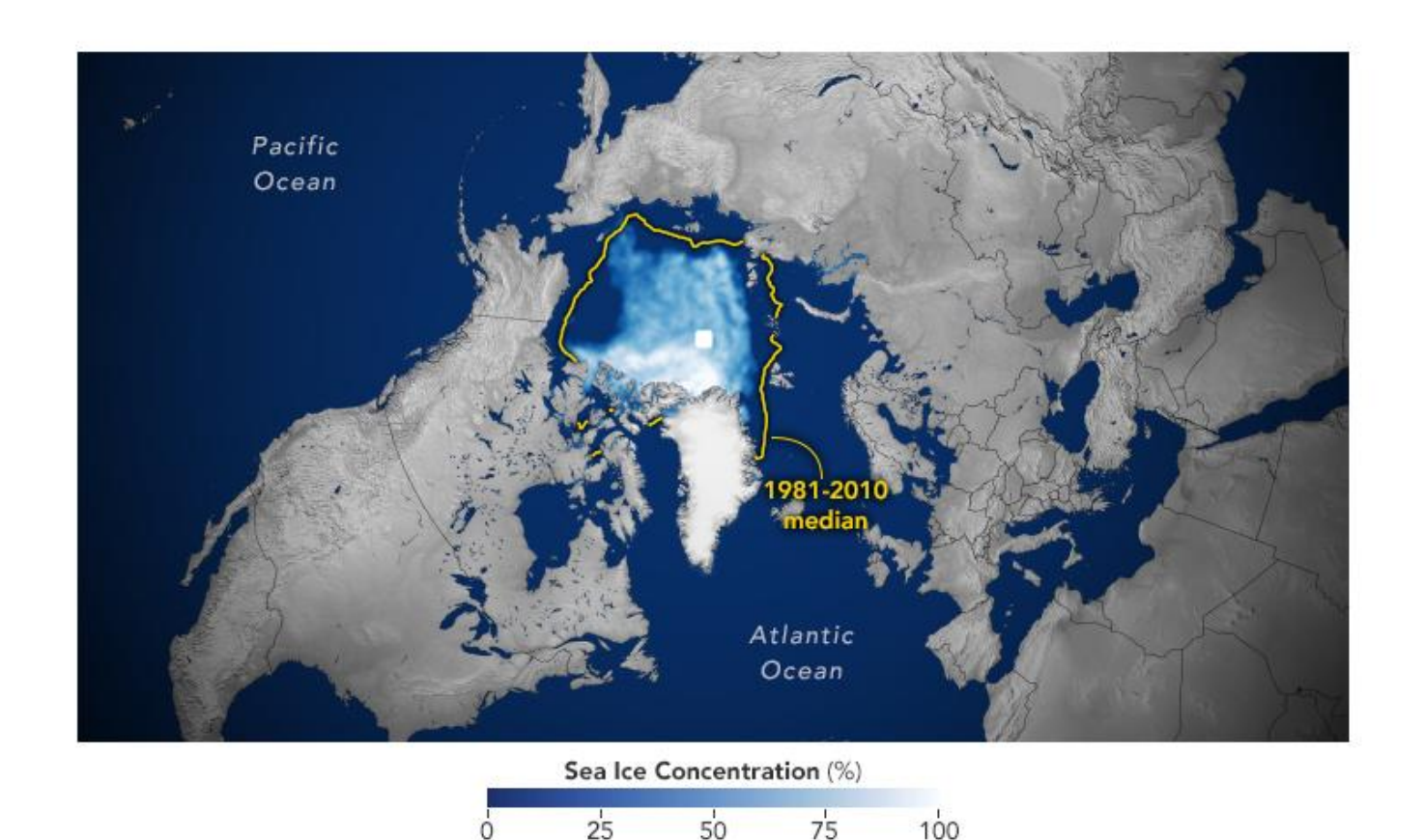


50

6.7 млн кв.км

3.41 млн кв.км

## Arctic Sea Ice Ties for 10th-Lowest on Record



September 10, 2025





100

Satellite data show that Arctic sea ice likely reached its annual minimum extent on September 10, 2025.

Image of the Day for September 19, 2025

#### Instruments:

DMSP - SSM/I

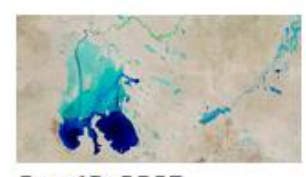
DMSP - SSMIS

Nimbus 7 — SMMR

Image of the Day

Snow and Ice

#### View more Images of the Day:





Sep 18, 2025

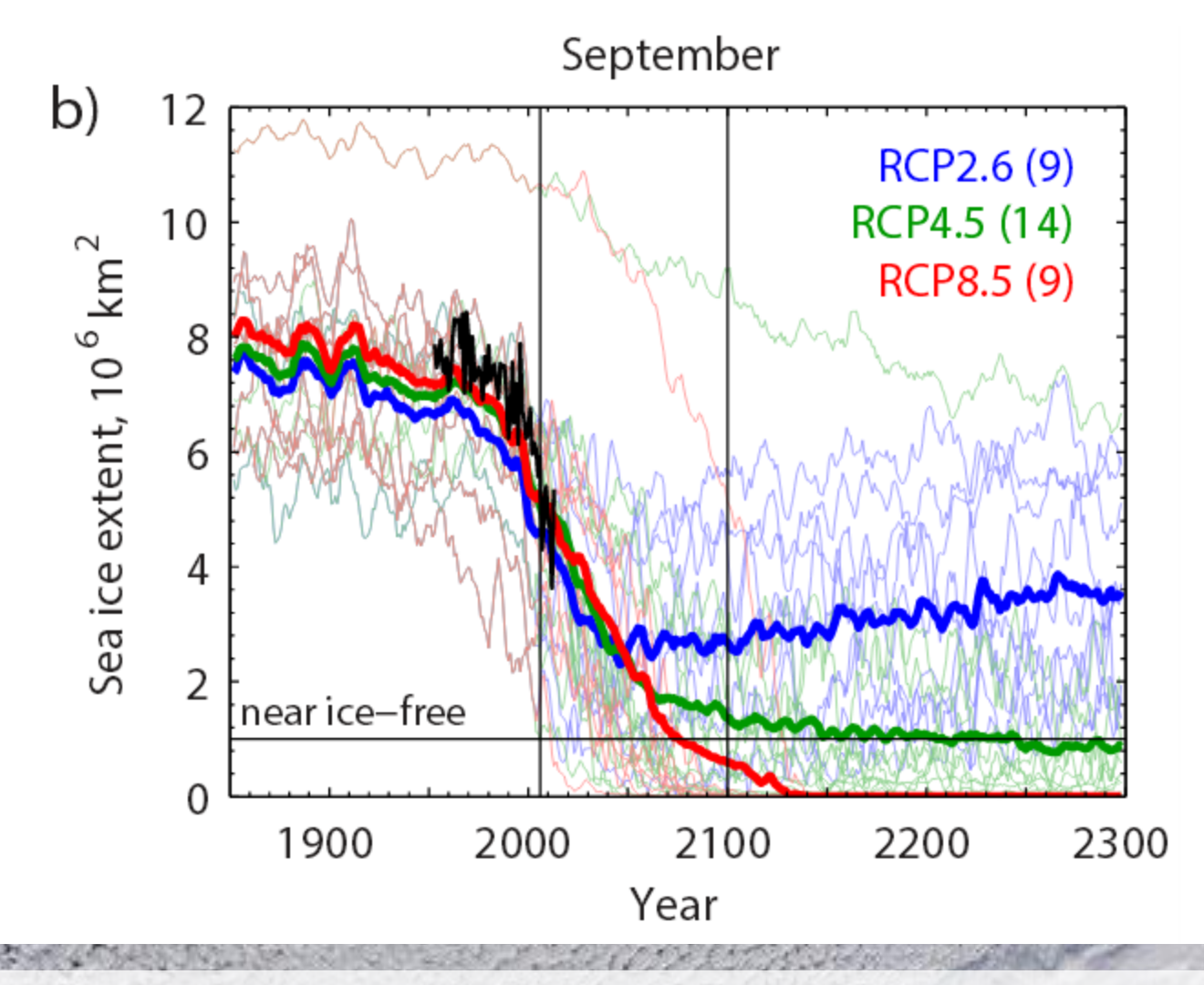
Sep 20, 2025

 $4.6 \, \text{млн км}^2$ 

#### Арктический лёд

Russian

#### P. J. Hezel et al.: Arctic sea ice in CMIP5 extended RCPs



Прогнозы исчезновения льда в Арктке по результатам модельных расчетов СМІР5 Капитан головного универсального атомного ледокола "Арктика" ФГУП "Атомфлот" Александр Скрябин читает лекцию о Перспективах освоения Арктики 19 июля в рамках VI фестиваля Русского географического общества (РГО) в Зарядье.



#### Россия 1



Воскресенье 14 Сен

#### 12:00 Премьера. "Путь. К 80-летию атомной промышленности"

Тысячи километров снежного безмолвия, суровые морозы и пронизывающий ветер, обманчиво хрупкая красота льда. Это Арктика, край земли, где, по словам одного из героев фильма, душа человека встречается с космосом. Может быть поэтому веками эти тревожные

посторы манили люлей бесстранных и романтичных элесь совершались

Понедельник 15 Сен

#### 01:30 Премьера. "Путь. К 80-летию атомной промышленности"

Тысячи километров снежного безмолвия, суровые морозы и пронизывающий ветер, обманчиво хрупкая красота льда. Это Арктика, край земли, где, по словам одного из героев фильма, душа человека встречается с космосом. Может быть поэтому веками эти тревожные просторы манили людей бесстрашных и романтичных, здесь совершались величайшие открытия, смешивались подвиг и трагедия, отчаяние, надежды и гордость победы. Здесь творилась история огромной страны - прокладывался Северный морской путь. В этом фильме прошлое встречается с настоящим, и сегодняшние герои, капитаны и команды сверхмощных атомных ледоколов, как и их предшественники, отправляются в рейс, даже не предполагая,



#### Отчет Межправительственной группы экспертов по изменению климата МГЭИК

ipcc

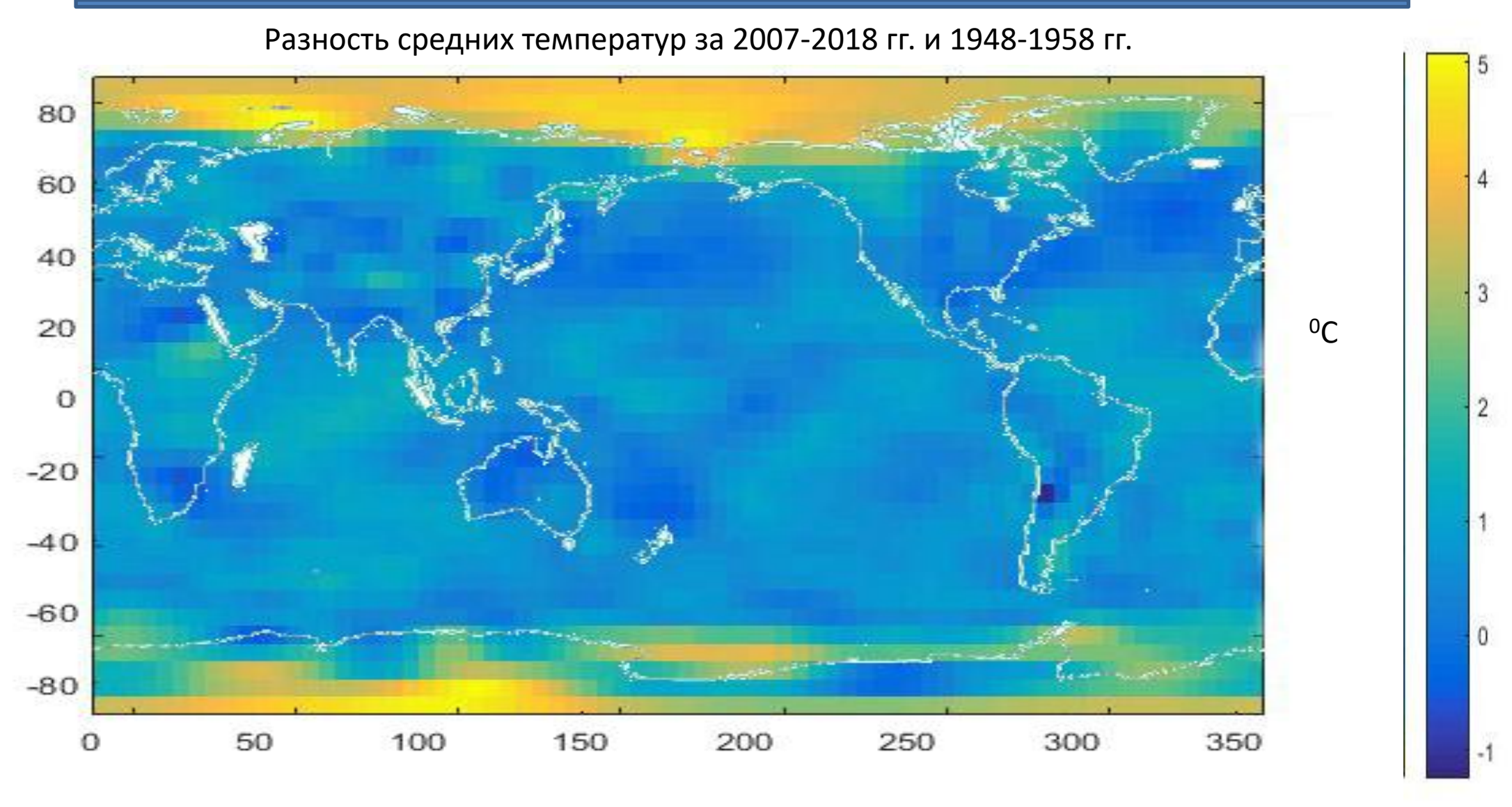
REPORTS SYNTHESIS REPORT WORKING GROUPS ACTIVITIES NEWS



CALENDAR

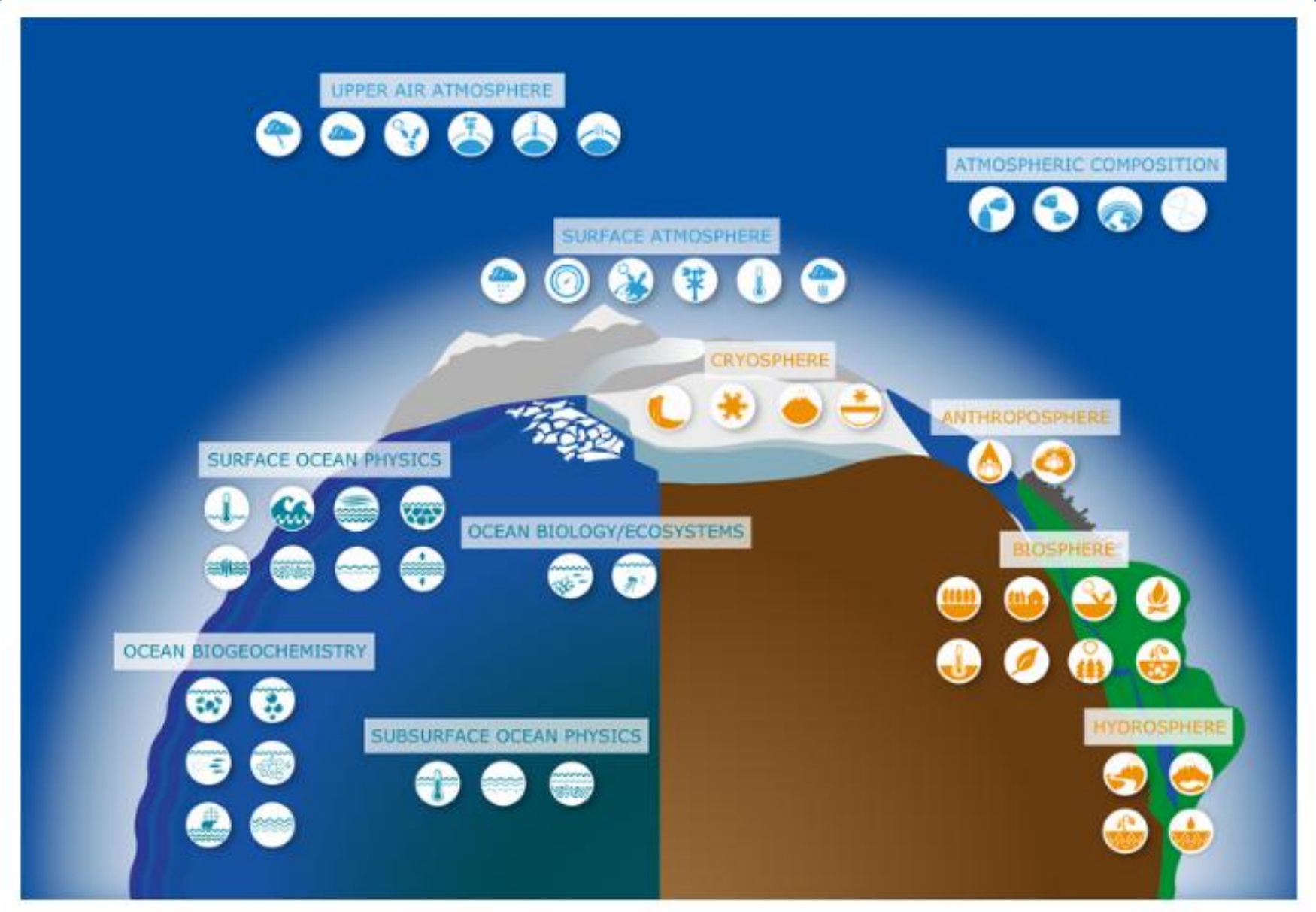


Данные NCEP / NCAR по приповерхностной температуре воздуха в ячейках широтно-долготной сетки с шагом в 5°.



Дипломная работа Балакиревой Елены Юрьевны, МИЭМ, 2018 г

## **Essential Climate Variables**

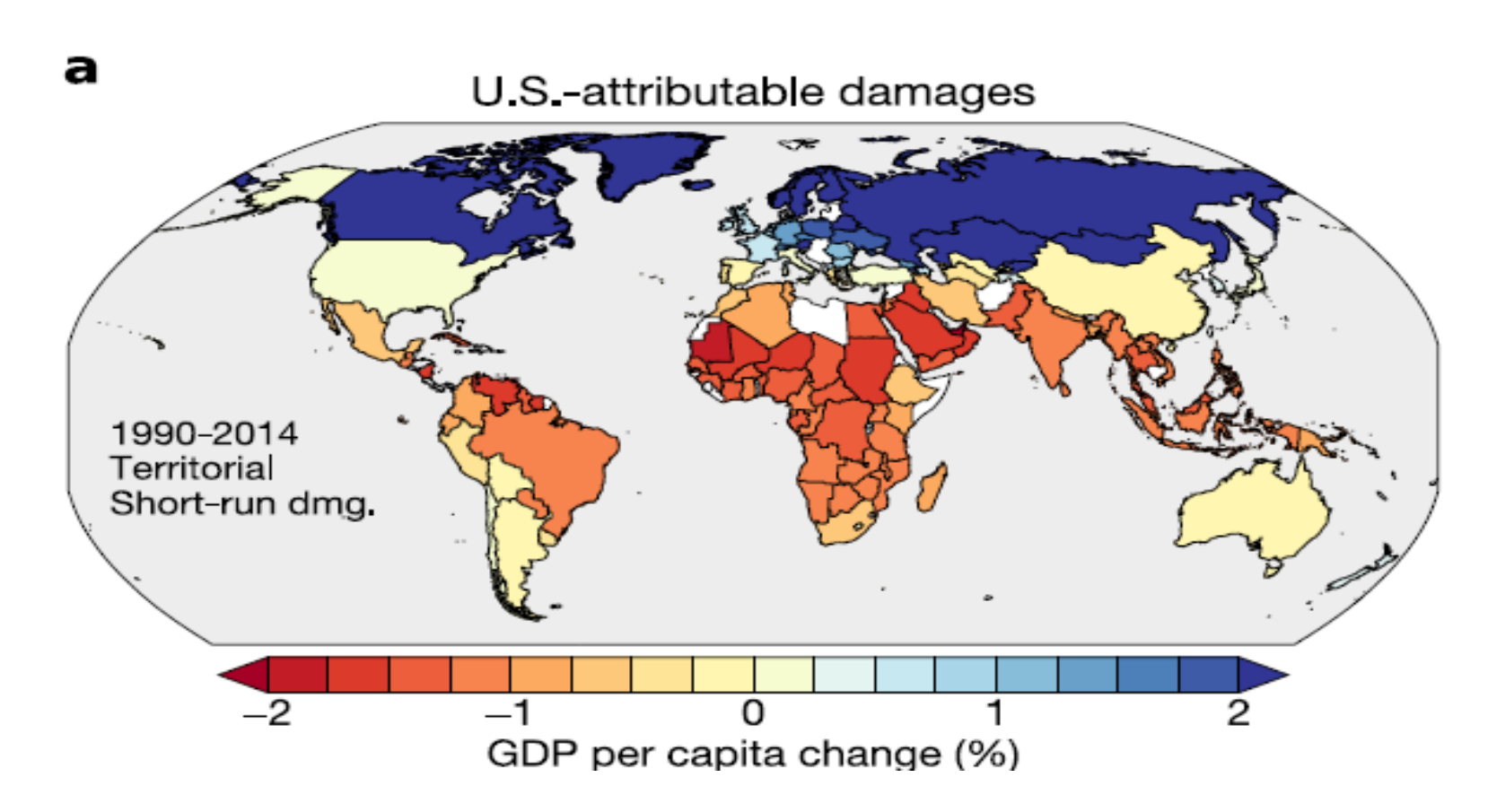


#### National attribution of historical climate damages

Christopher W. Callahan<sup>1,2</sup> · Justin S. Mankin<sup>2,3,4</sup>

- Graduate Program in Ecology, Evolution, Environment and Society, Dartmouth College, Hanover, NH, USA
- Department of Geography, Dartmouth College, Hanover, NH, USA

- Department of Earth Sciences, Dartmouth College, Hanover, NH, USA
- Ocean and Climate Physics, Lamont-Doherty Earth Observatory of Columbia University, Palisades, NY, USA

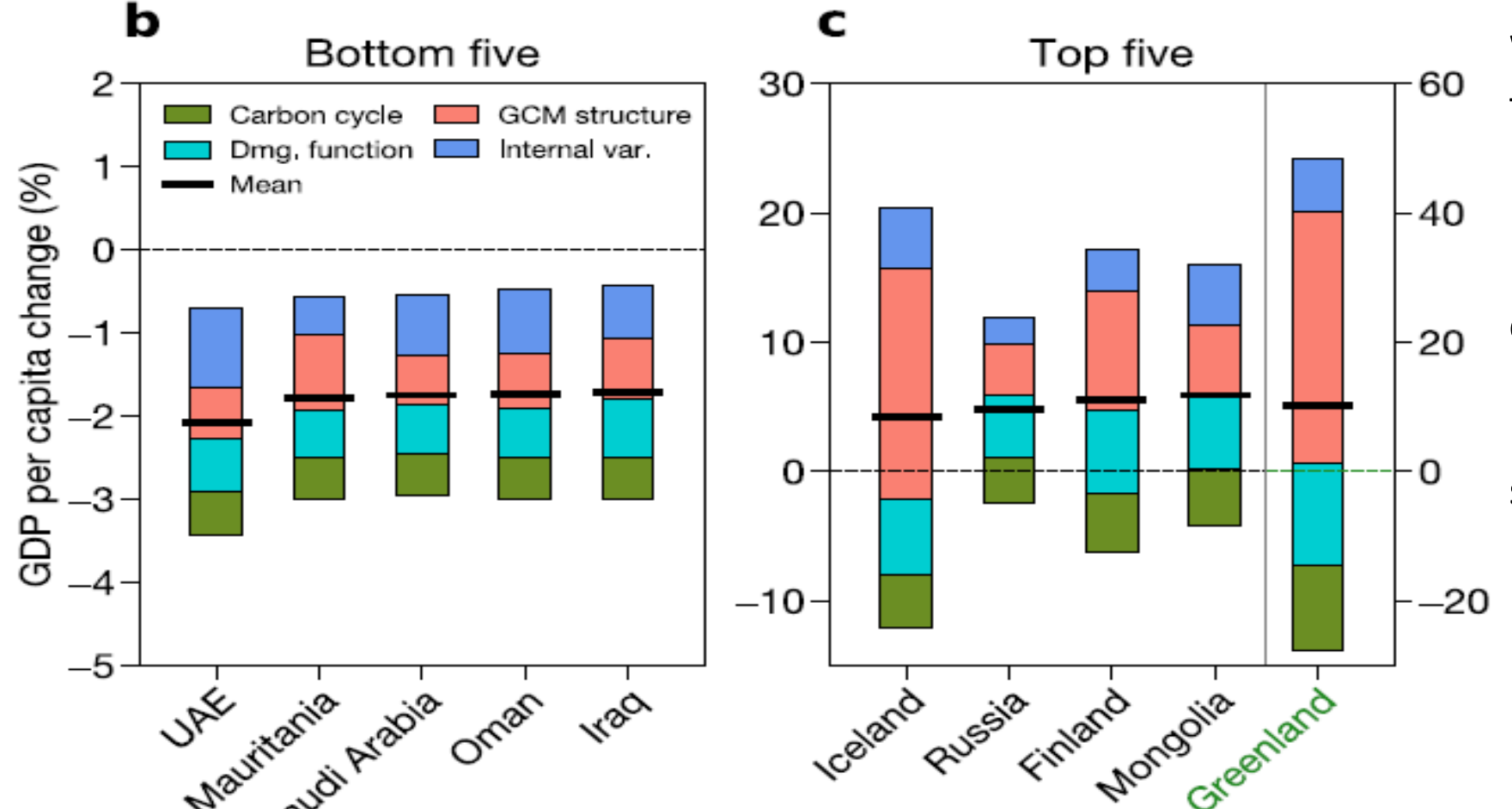


#### National attribution of historical climate damages

Christopher W. Callahan<sup>1,2</sup> · Justin S. Mankin<sup>2,3,4</sup>

- Graduate Program in Ecology, Evolution, Environment and Society, Dartmouth College, Hanover, NH, USA
- Department of Geography, Dartmouth College, Hanover, NH, USA

- Department of Earth Sciences, Dartmouth College, Hanover, NH, USA
- Ocean and Climate Physics, Lamont-Doherty Earth Observatory of Columbia University, Palisades, NY, USA



We find that the top five emitters (the United States, China, Russia, Brazil, and India) have collectively caused US\$6 trillion in income losses from warming since 1990





proof

le Denis



MURICITEFOTED HAYKIN
U INSICILIEFO DEPASORAHHR
POCCURICKOR DELIFACIUM

KOPCOBET

POCCURICKOR DELIFACIUM

NOTACHIFECE

POCCURICKOR DELIFACIUM

NOTACHIFECE

POCCURICKOR DELIFACIUM

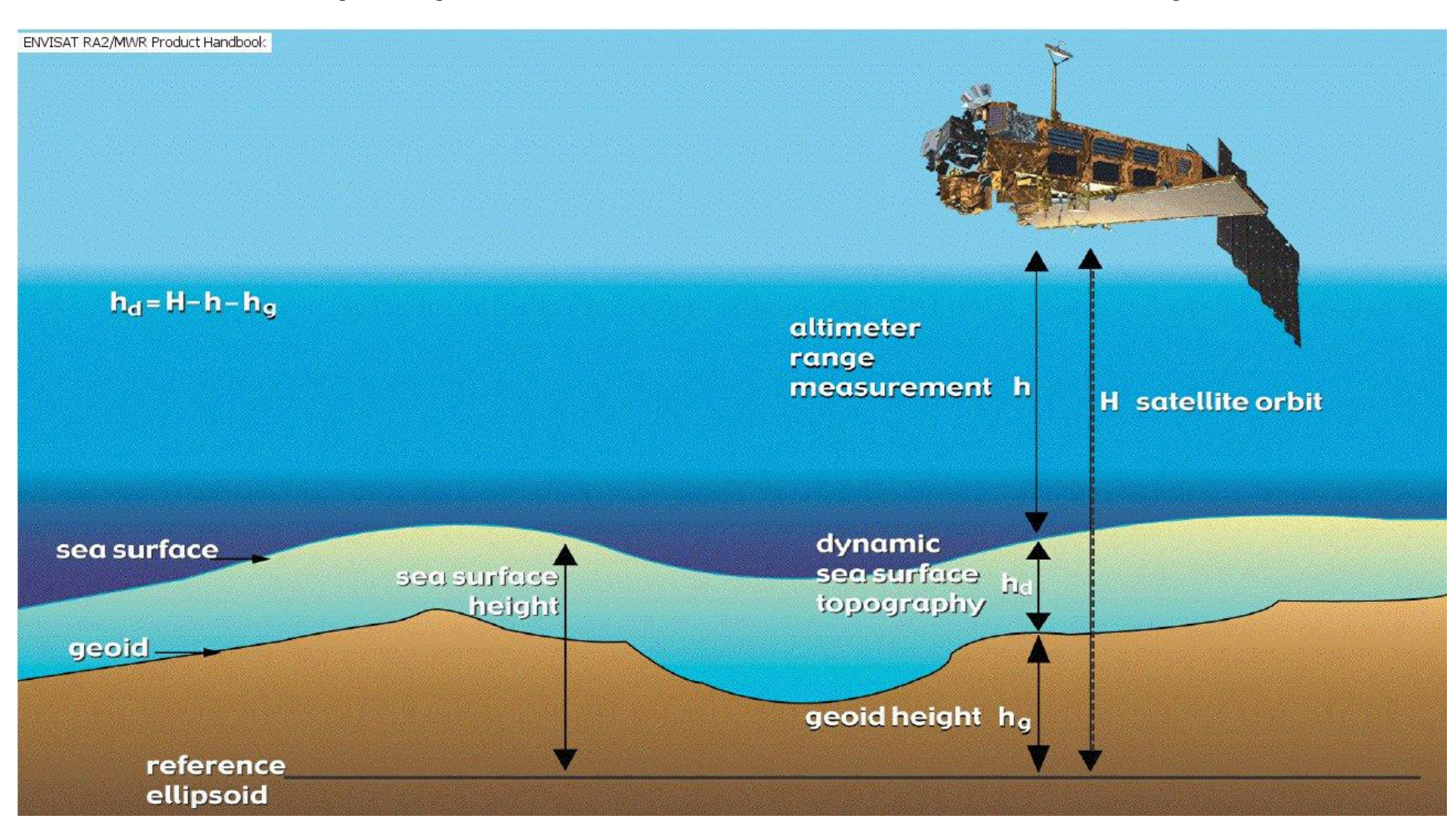
NOTACHIFECE

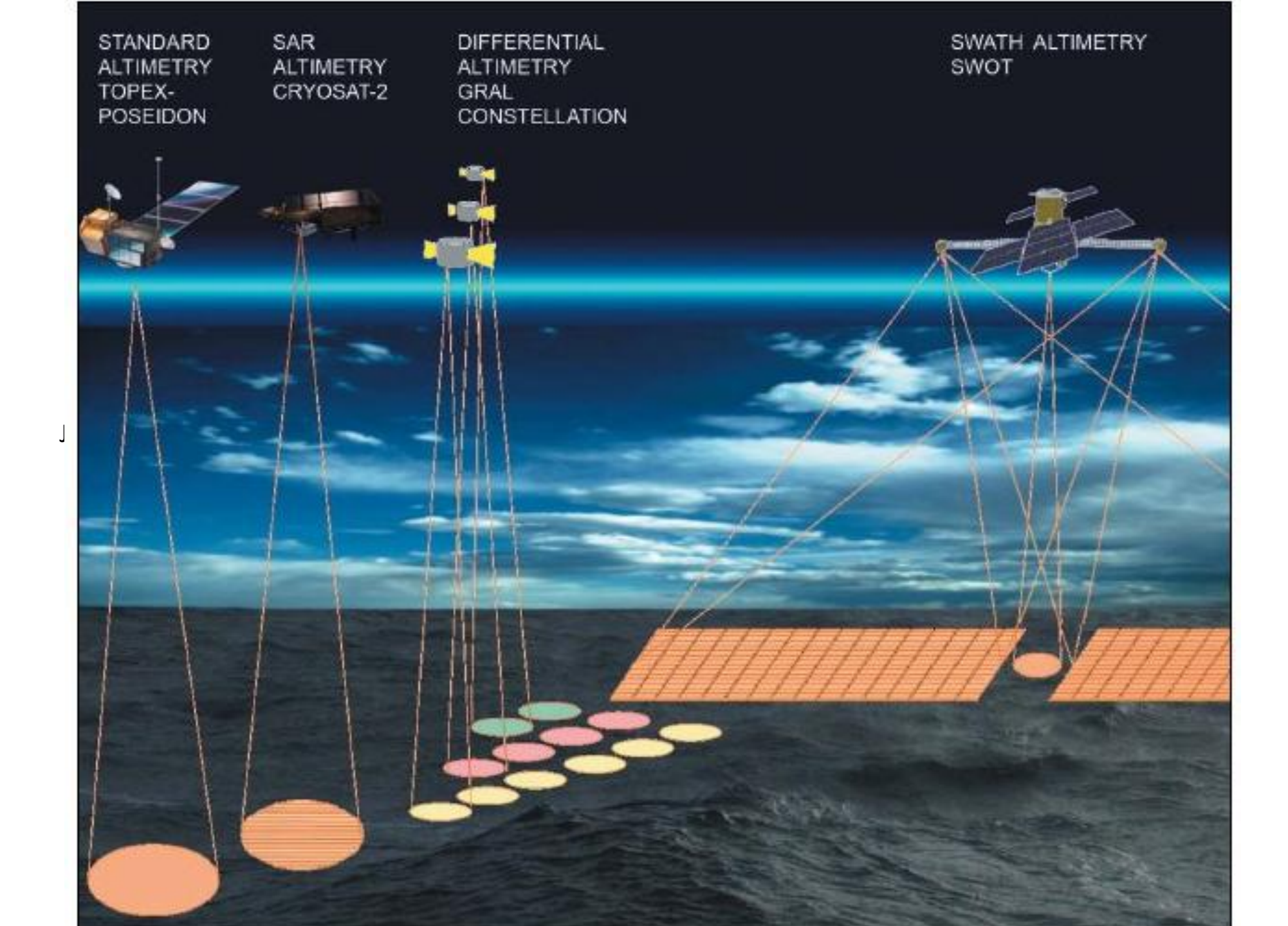
NOTACHIF

Московский

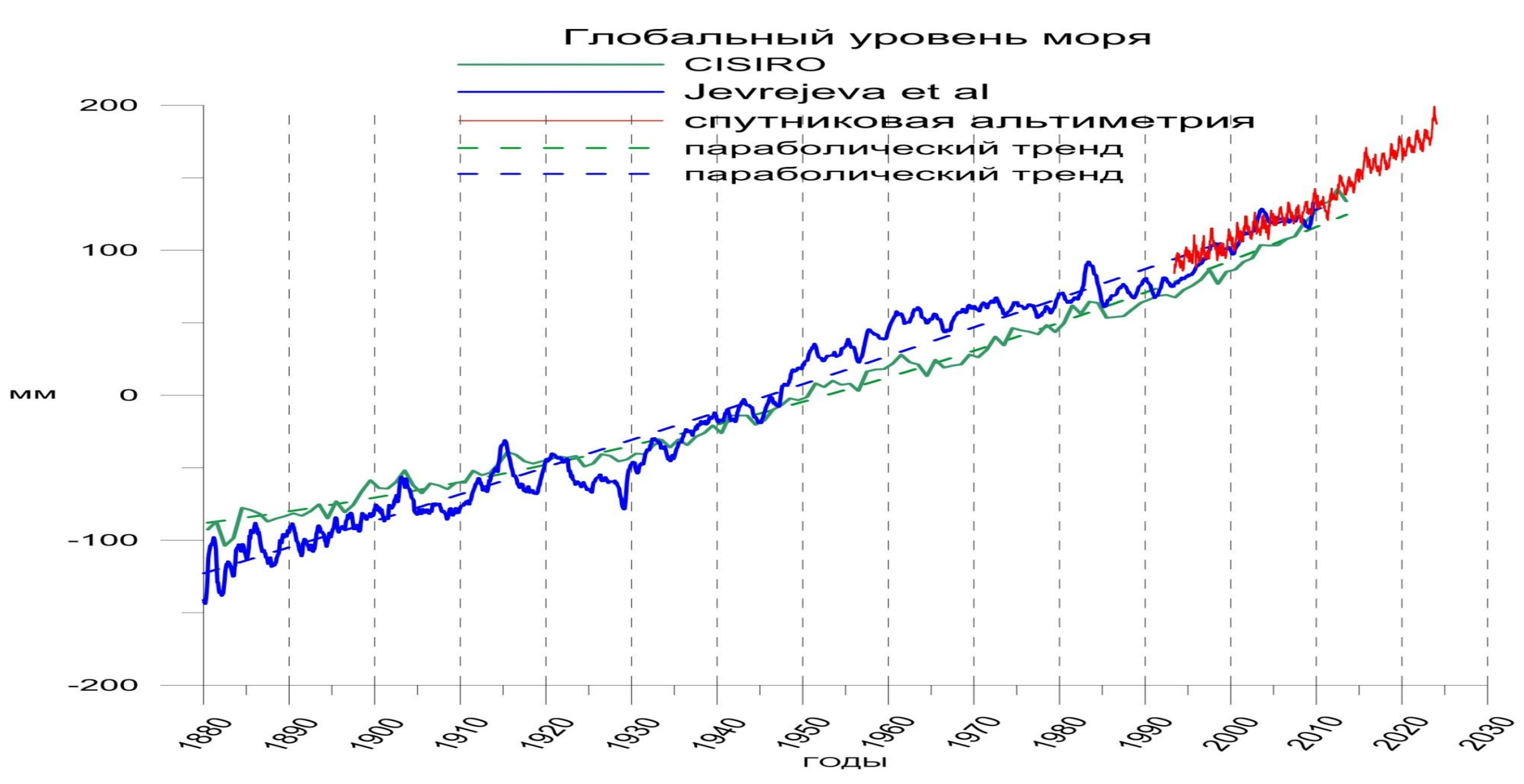
транспорт

# Измерение динамической топографии океана (альтиметрия)

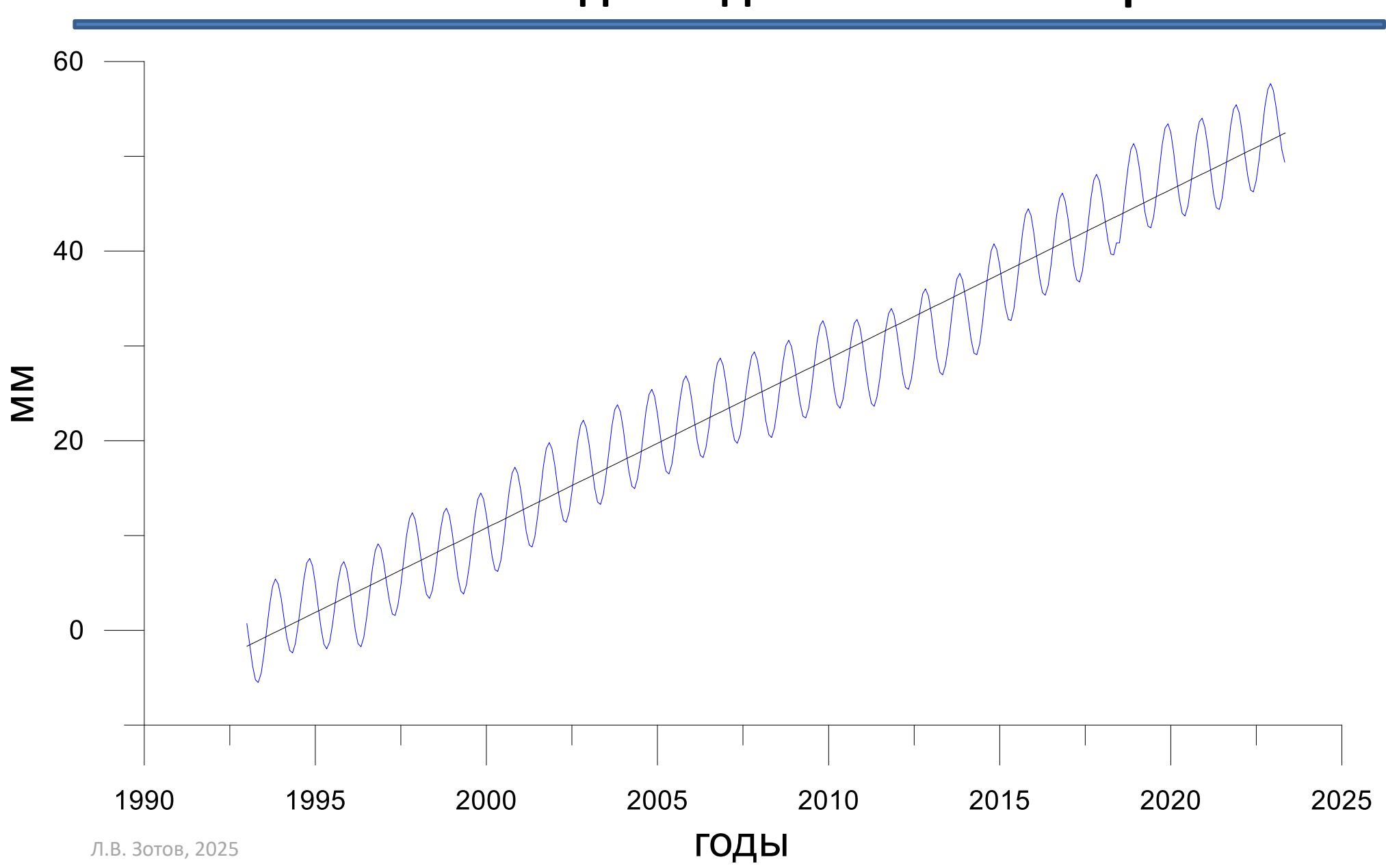




## Глобальный рост уровня моря

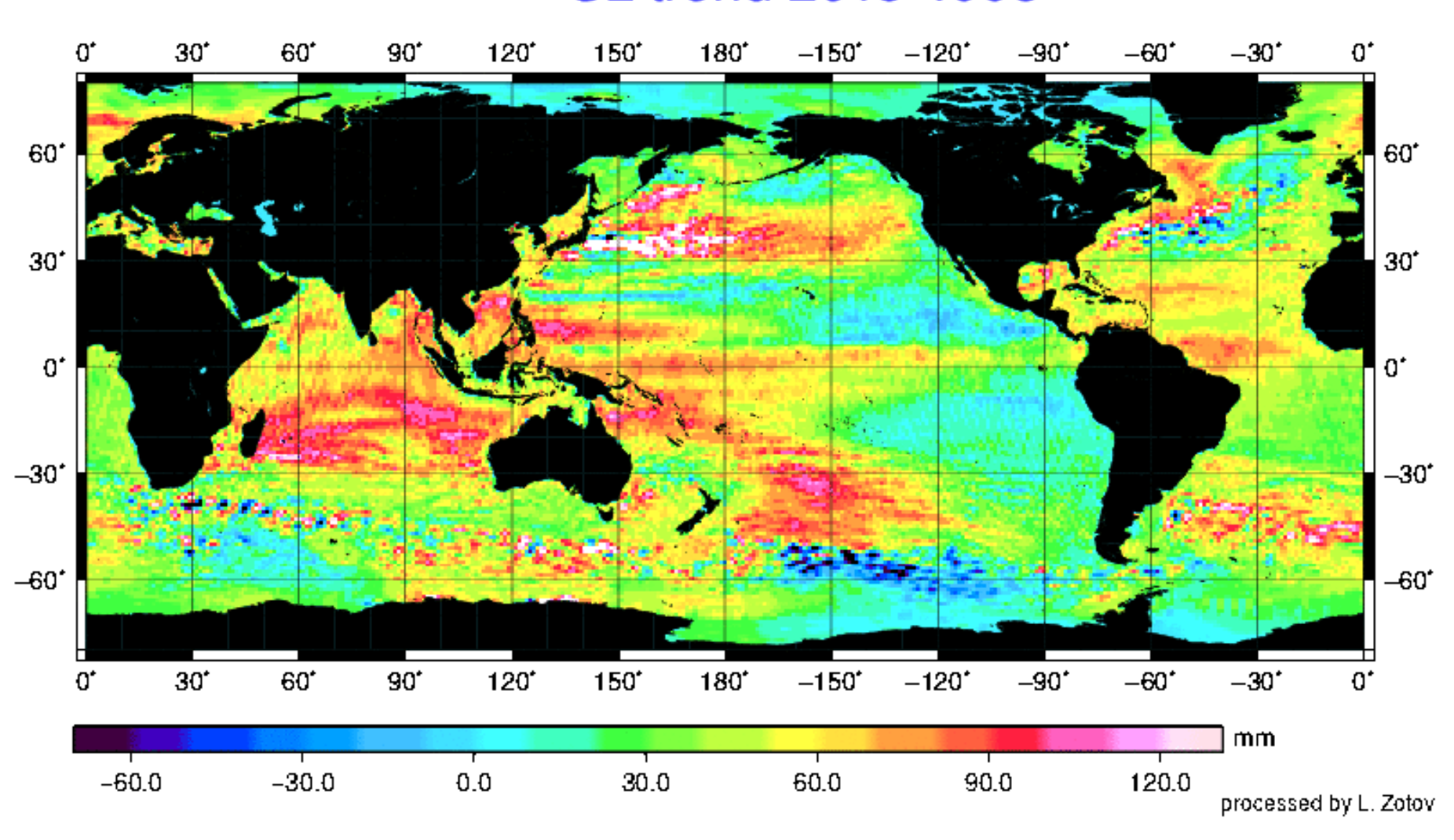


# Изменения глобального среднего уровня моря по сводным данным альтиметрии



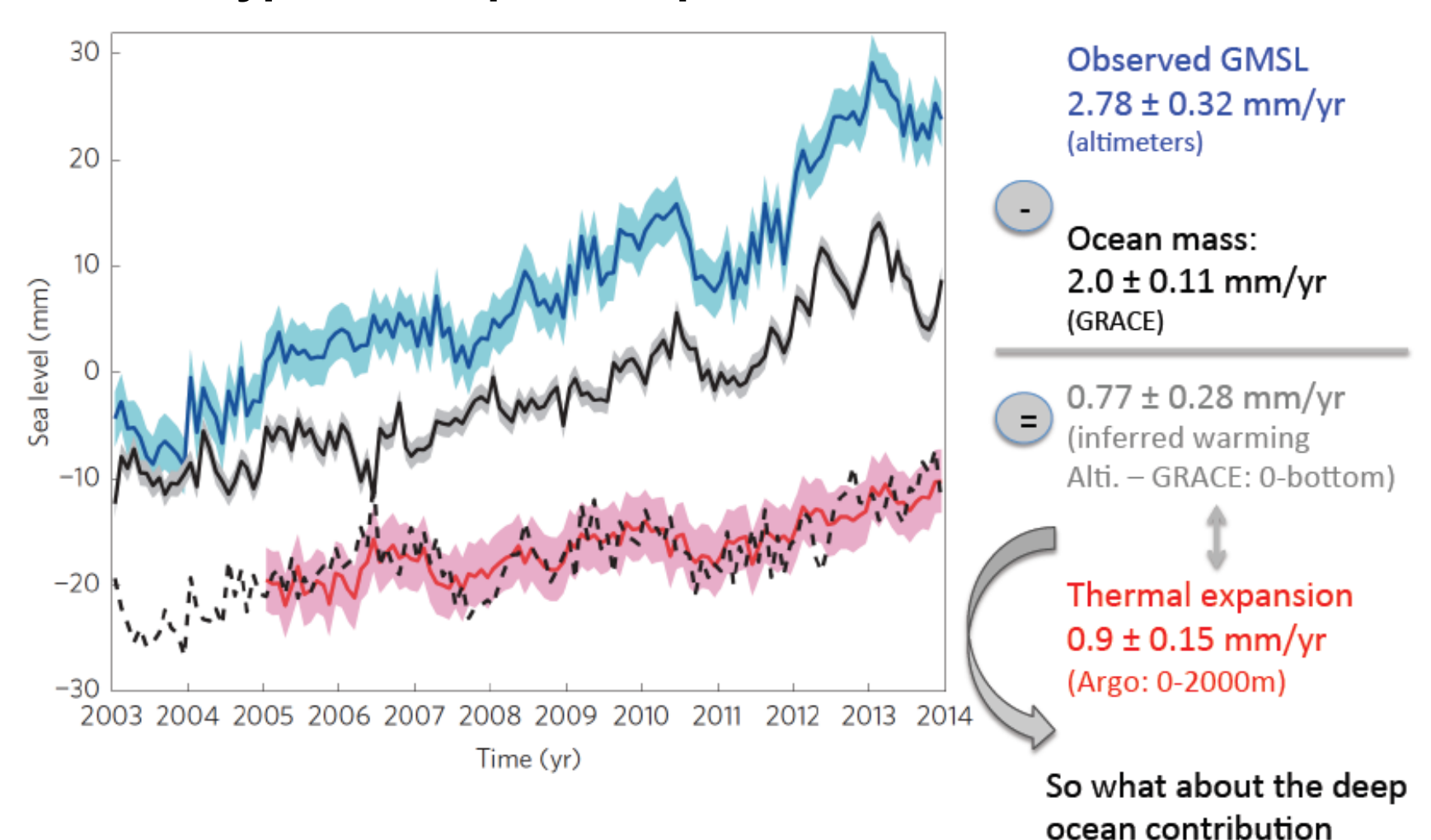
### Изменения уровня моря с 1993 по 2018 г по сводным данным альтиметрии

#### SL trend 2018-1993



## Global mean sea level change (2005-2013): The budegt

#### Изменения уровня моря = стерическая + массовая компонента

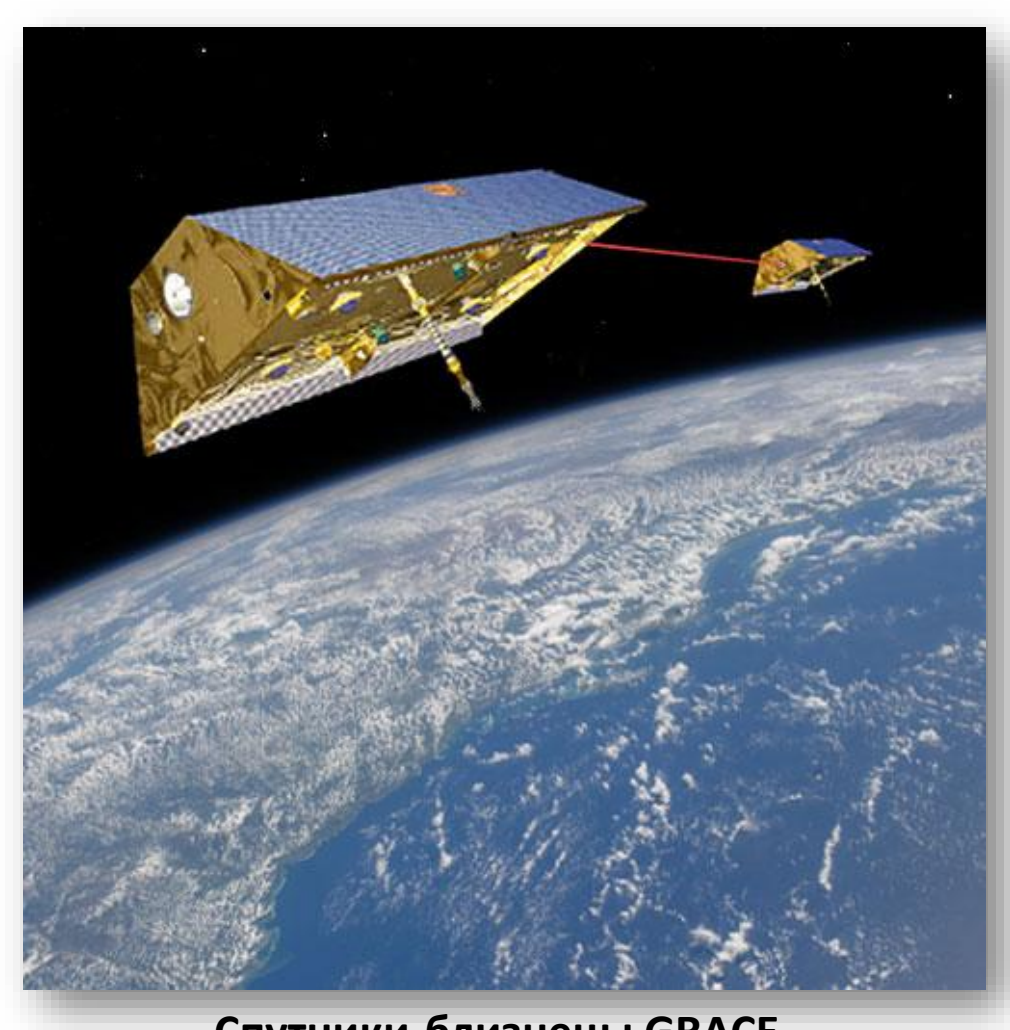


Note: uncertainty here just simple fit-uncertainty

W. Llovel, J.K. Willis, F.W. Landerer and I. Fukumori

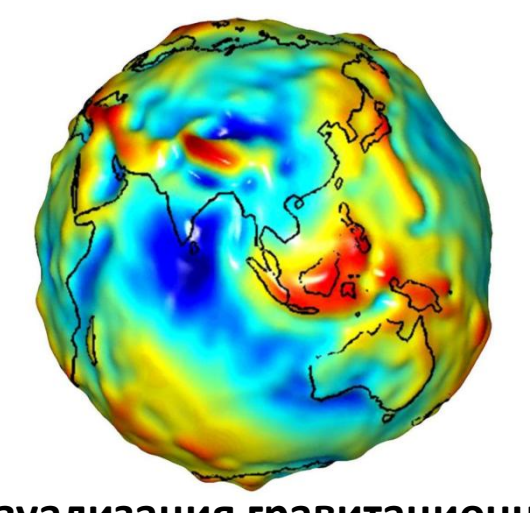
(<2000m)?

## Как померить массу океана?



Спутники-близнецы GRACE Gravity Recovery And Climate Experiment

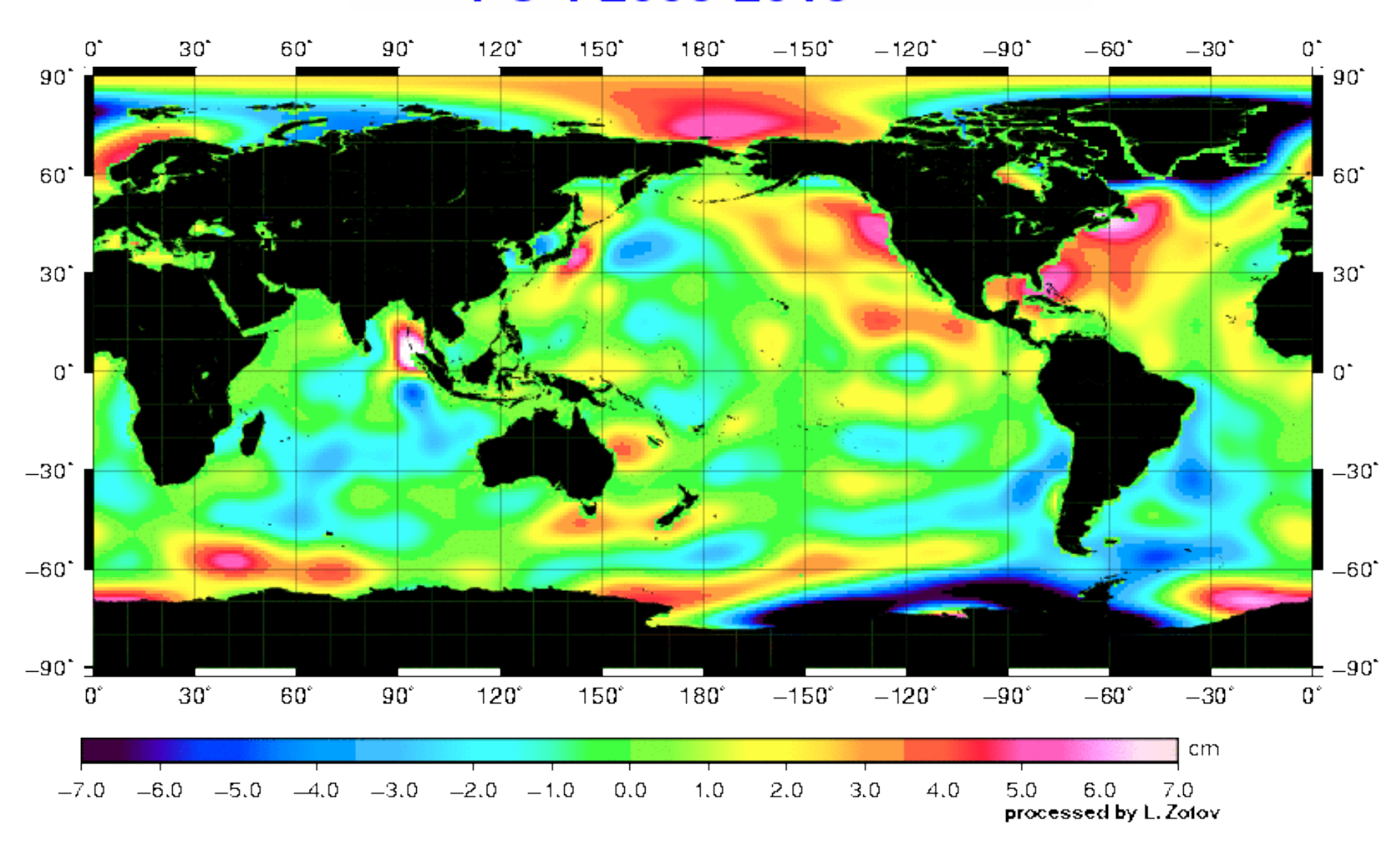




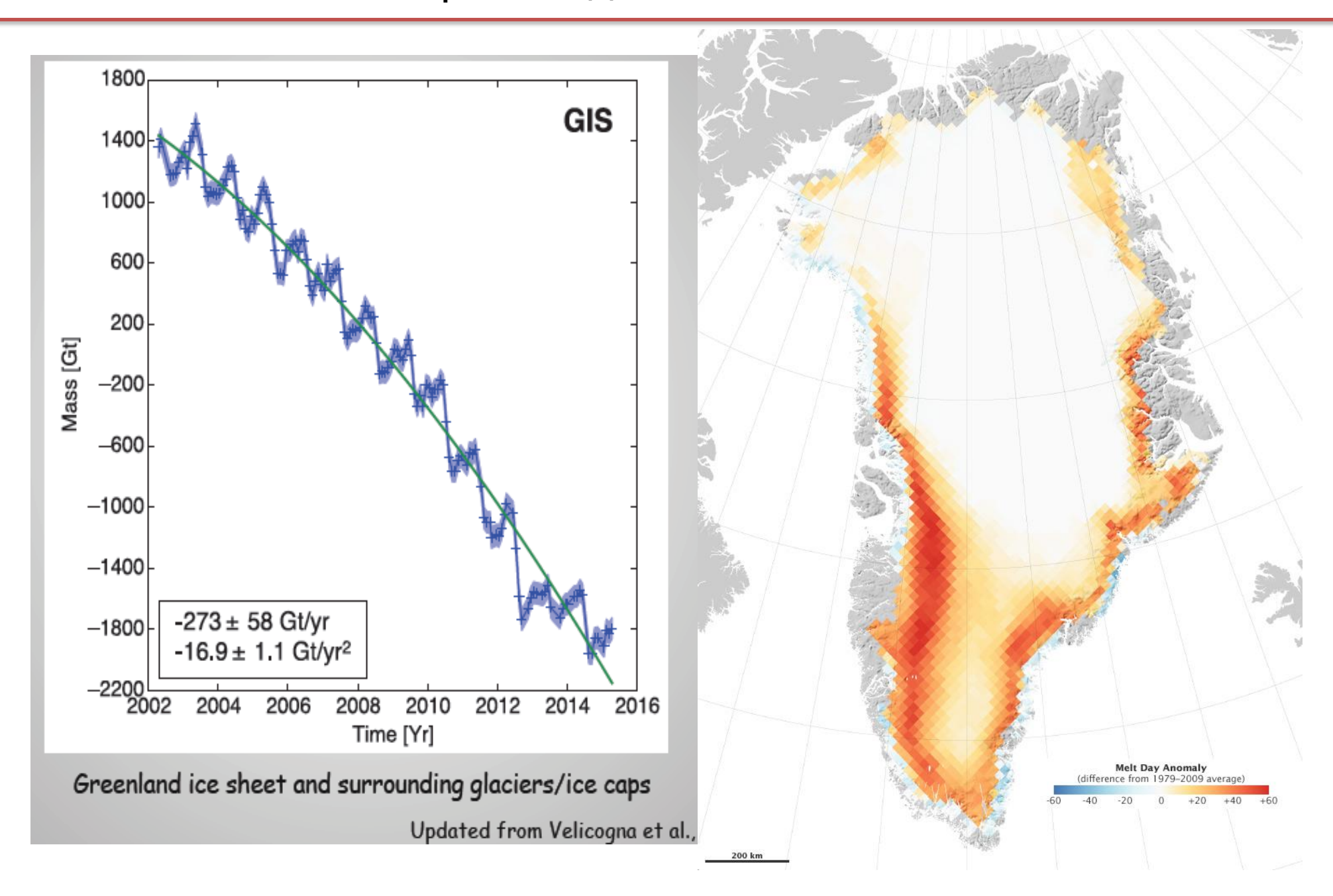
Визуализация гравитационной модели Земли по данным **GRACE** 

# Тренды придонного давления по данным GRACE Ocean Bottom Pressure (PC 1), Don Chambers data

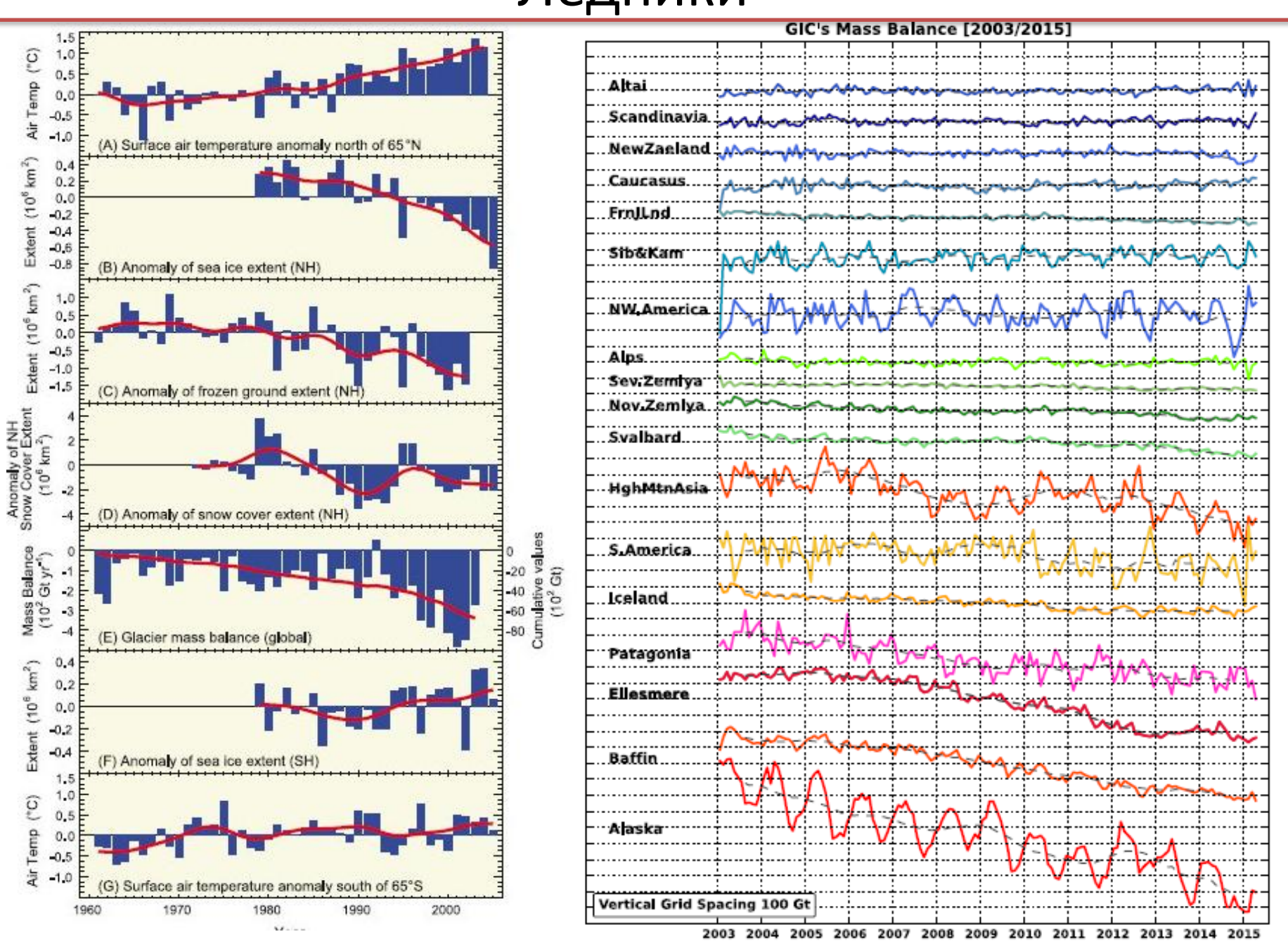
#### PC 1 2003-2015



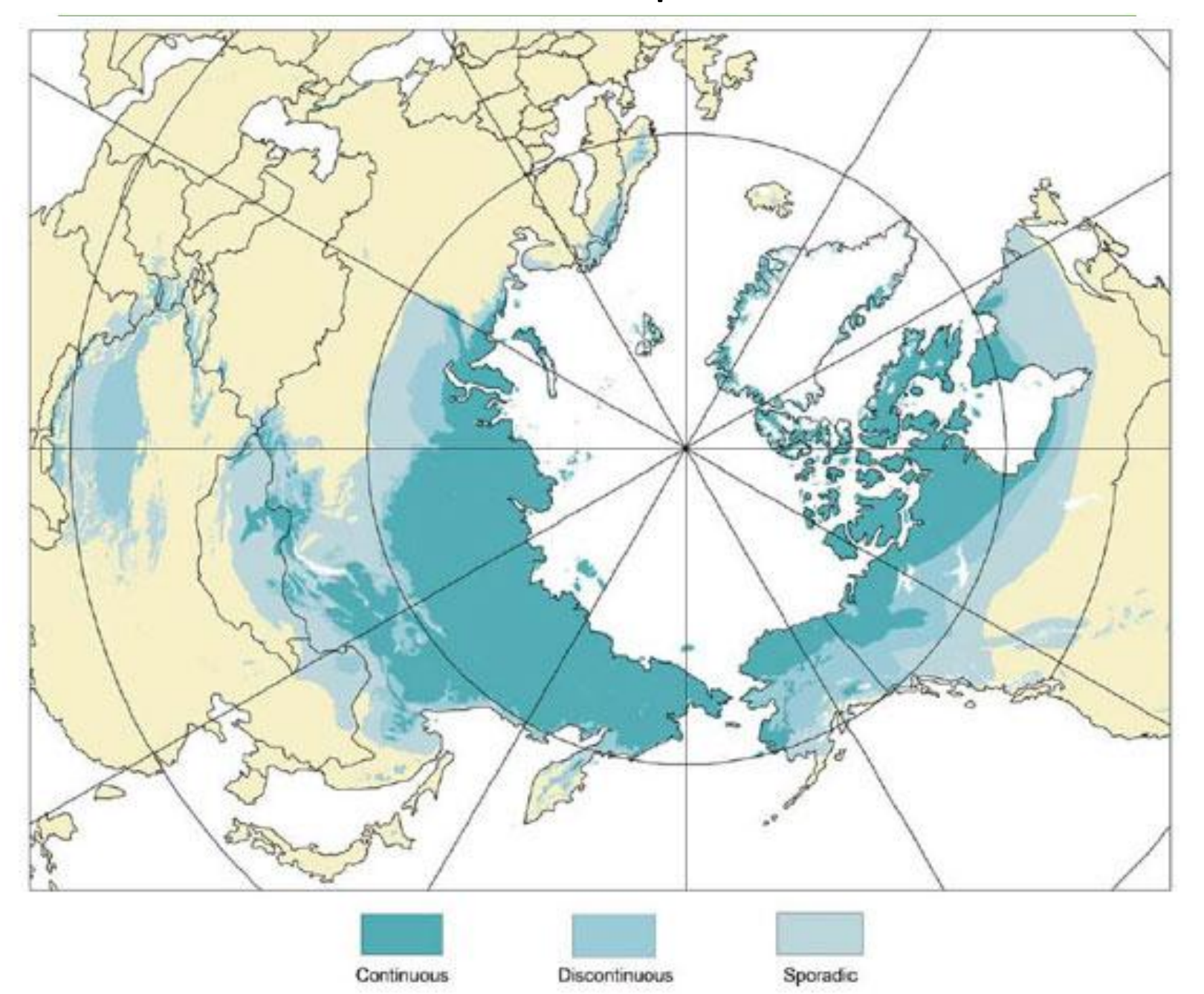
### Гренландия 1979-2017



## Ледники

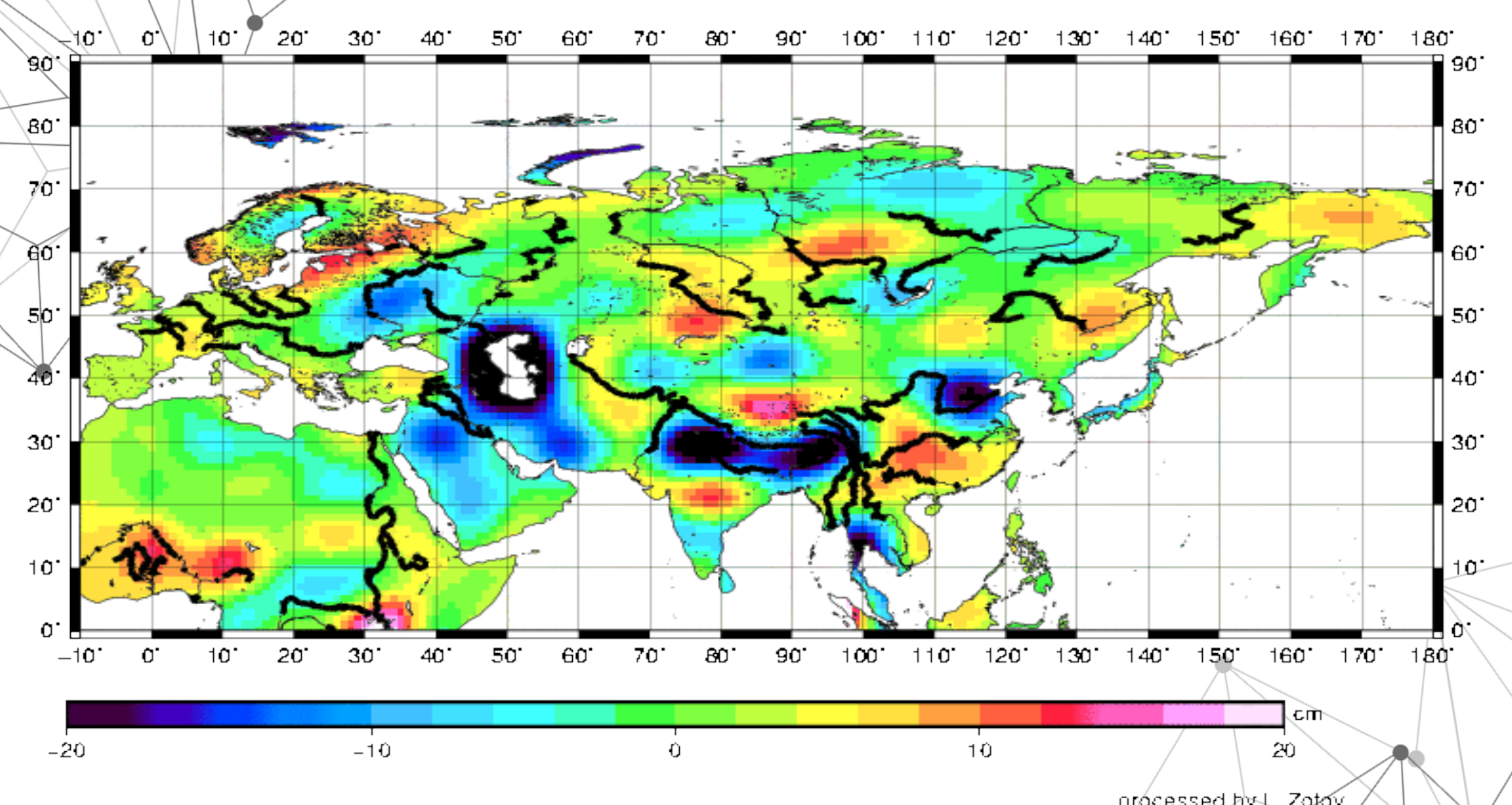


## Вечная мерзлота



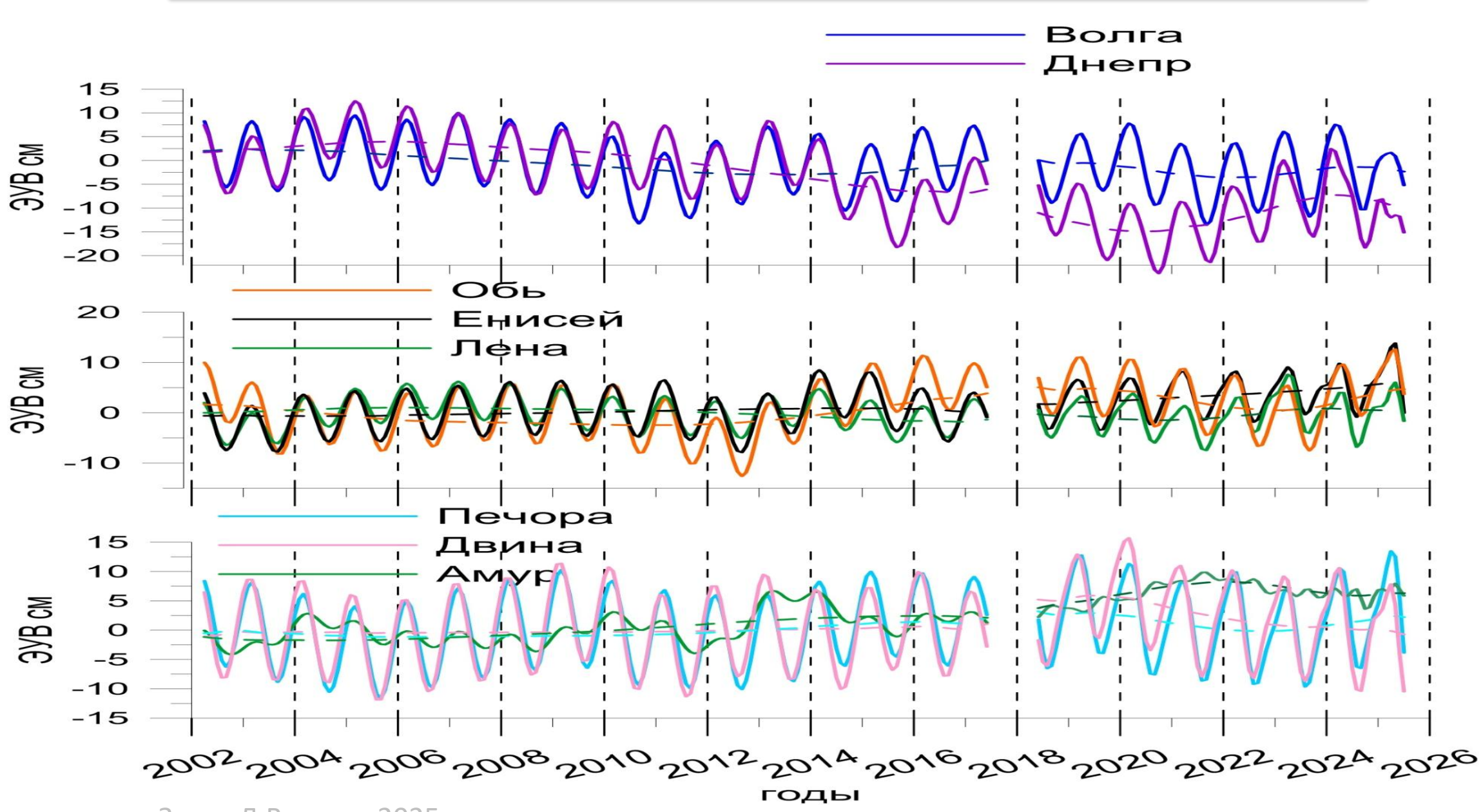


#### 2017-2003 RL 06



Тренды изменения масс с 2003 по 2017 год по данным GRACE

## Изменения масс в бассейнах рек России

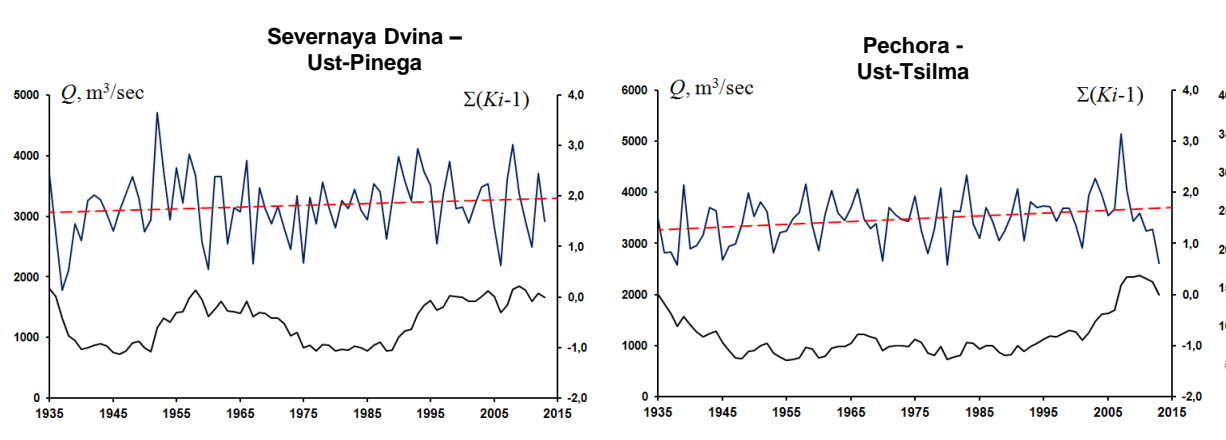


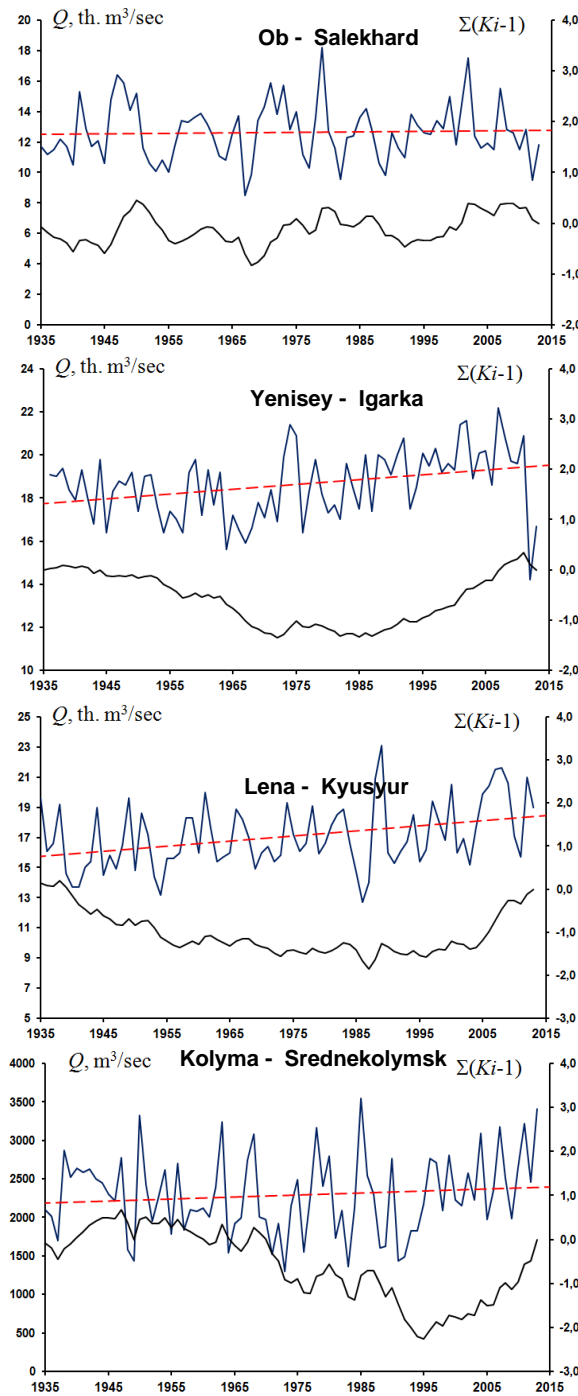
# Долговременные изменения годового стока рек

River – hydrometric station	Δ <b>W</b> <sub>α</sub> ⁄Δ <b>y</b> *	The linear trend coefficient, km³/1year	
		1935-2013	1975-2013
Sev.Dvina - Ust-Pinega	+5.3%/+15mm	+0.098	+0.091
Mezen - Malonisogorskaya	-1.7%/-6mm	+0.005	+0.029
Pechora - Ust-Tsilma	+4.6%/+20mm	+0.173	+0.184
Ob - Salekhard	-0.4%/-0.7mm	+0.089	-0.089
Yenisey - Igarka	+5.4%/+13mm	+0.696	+0.922
Olenek - Sukhana	+12.2%/+21mm	+0.066	+0.113
Lena - Kyusyur	+7.4%/+16mm	+1.080	+2.214
Yana – Jiangky/Yubileynaya	+12.8%/+18mm	-	-
Kolyma - Srednekolymsk	+4.6%/+9mm	+0.081	+0.451

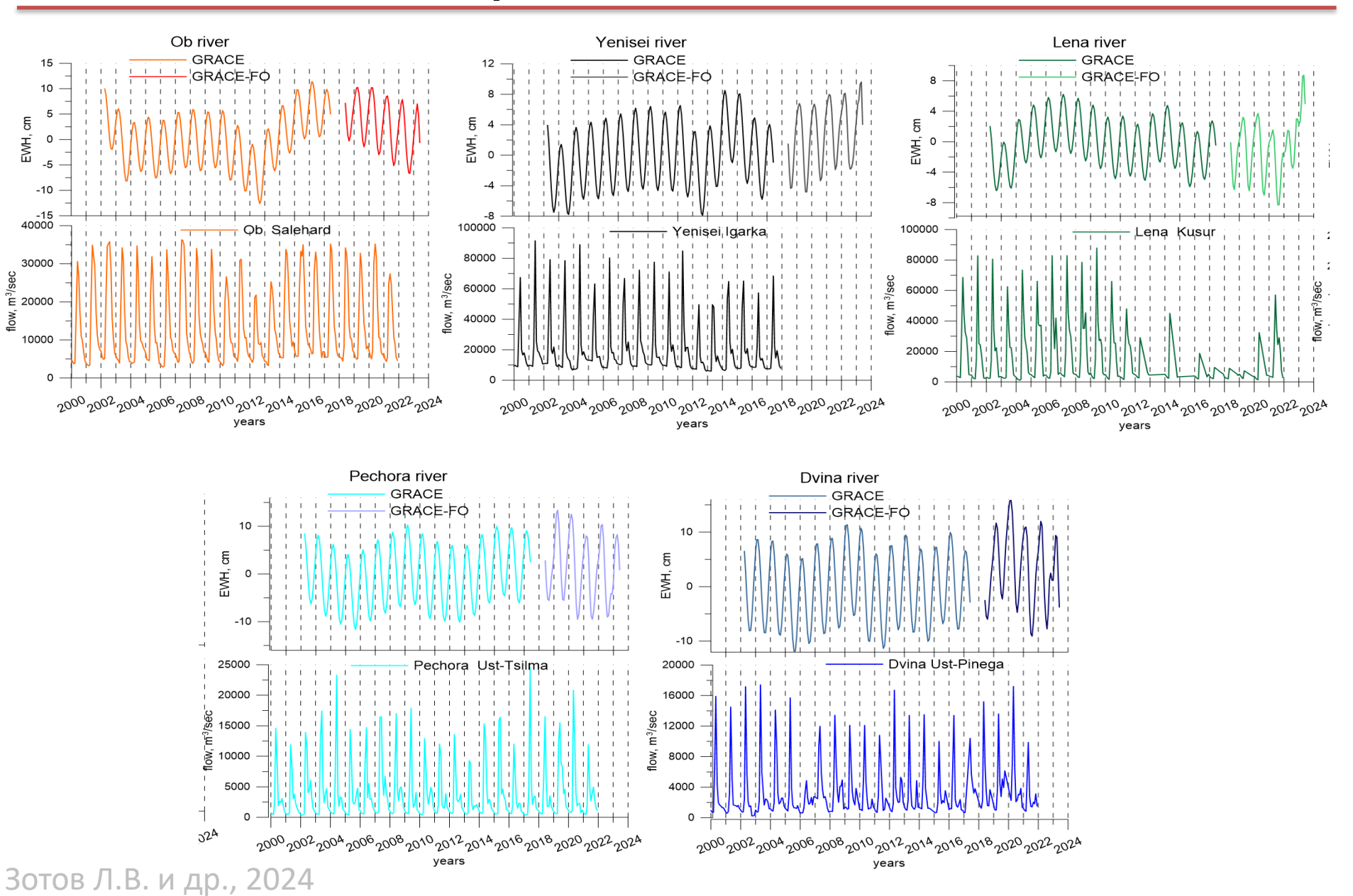
Изменения годового стока за 1976-2013 в сравнении со стоком за 1935-1975

#### Данные Н.Л. Фроловой

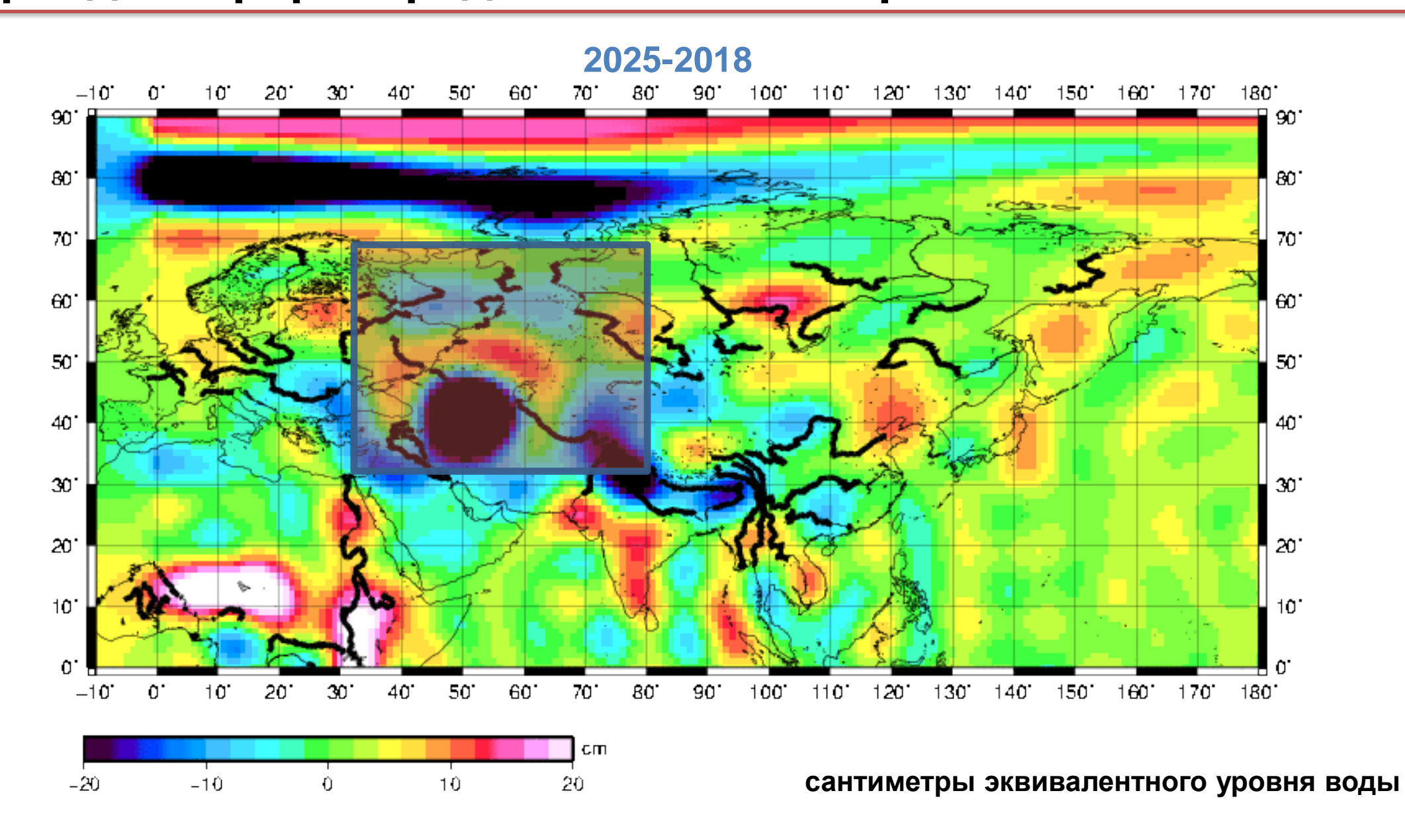




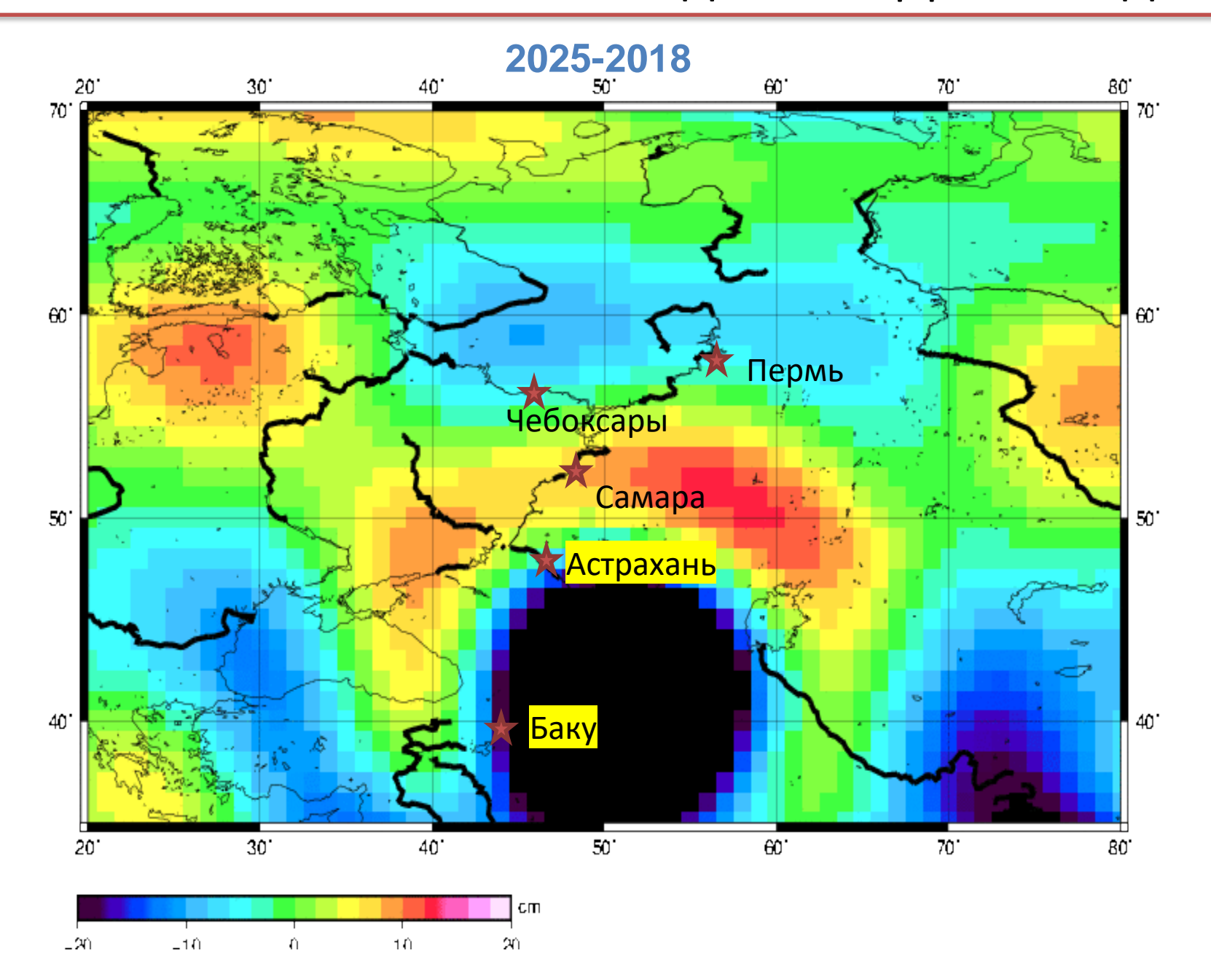
### Сравнения данных GRACE и GFO с показаниями гидрологических постов

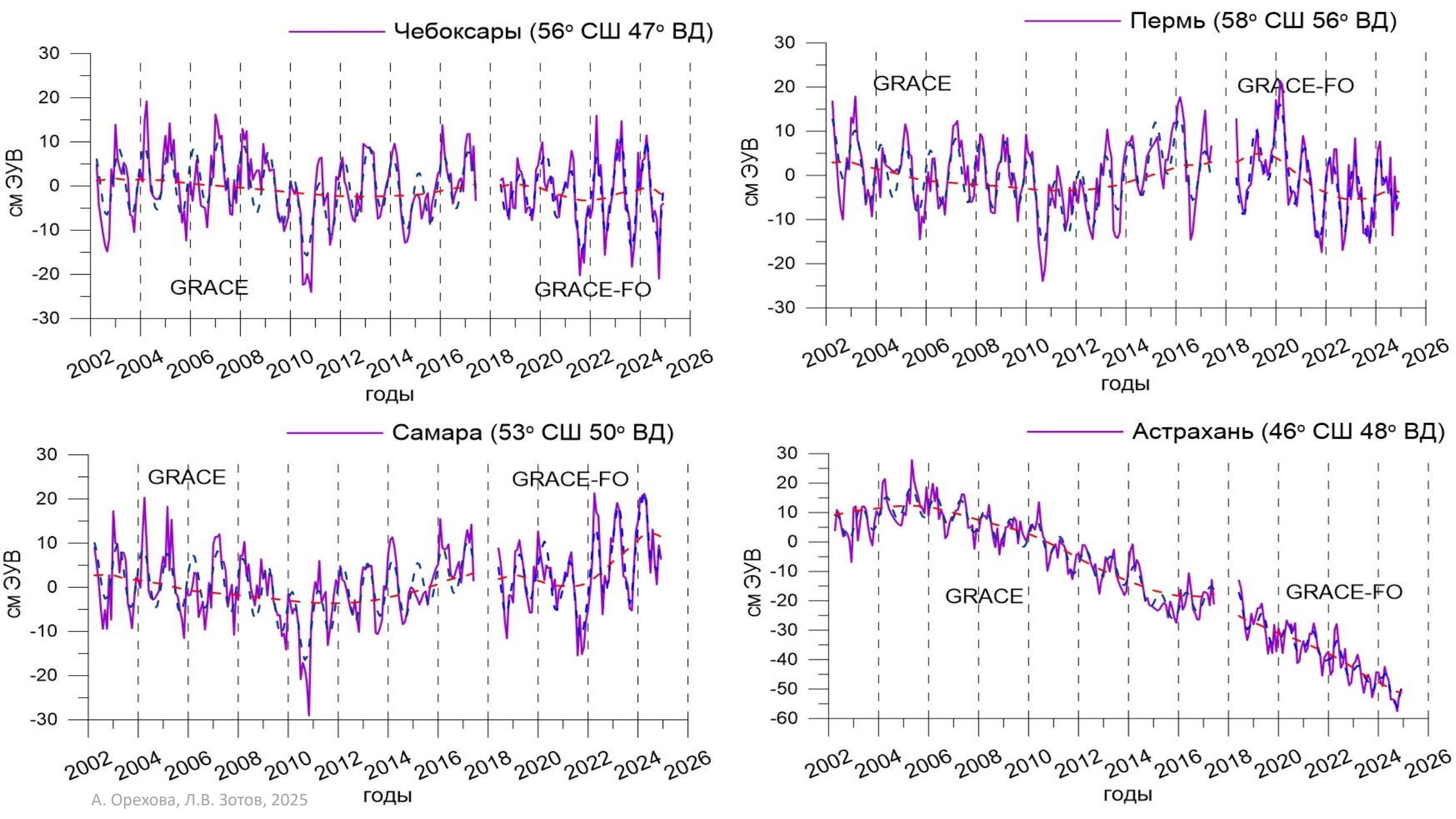


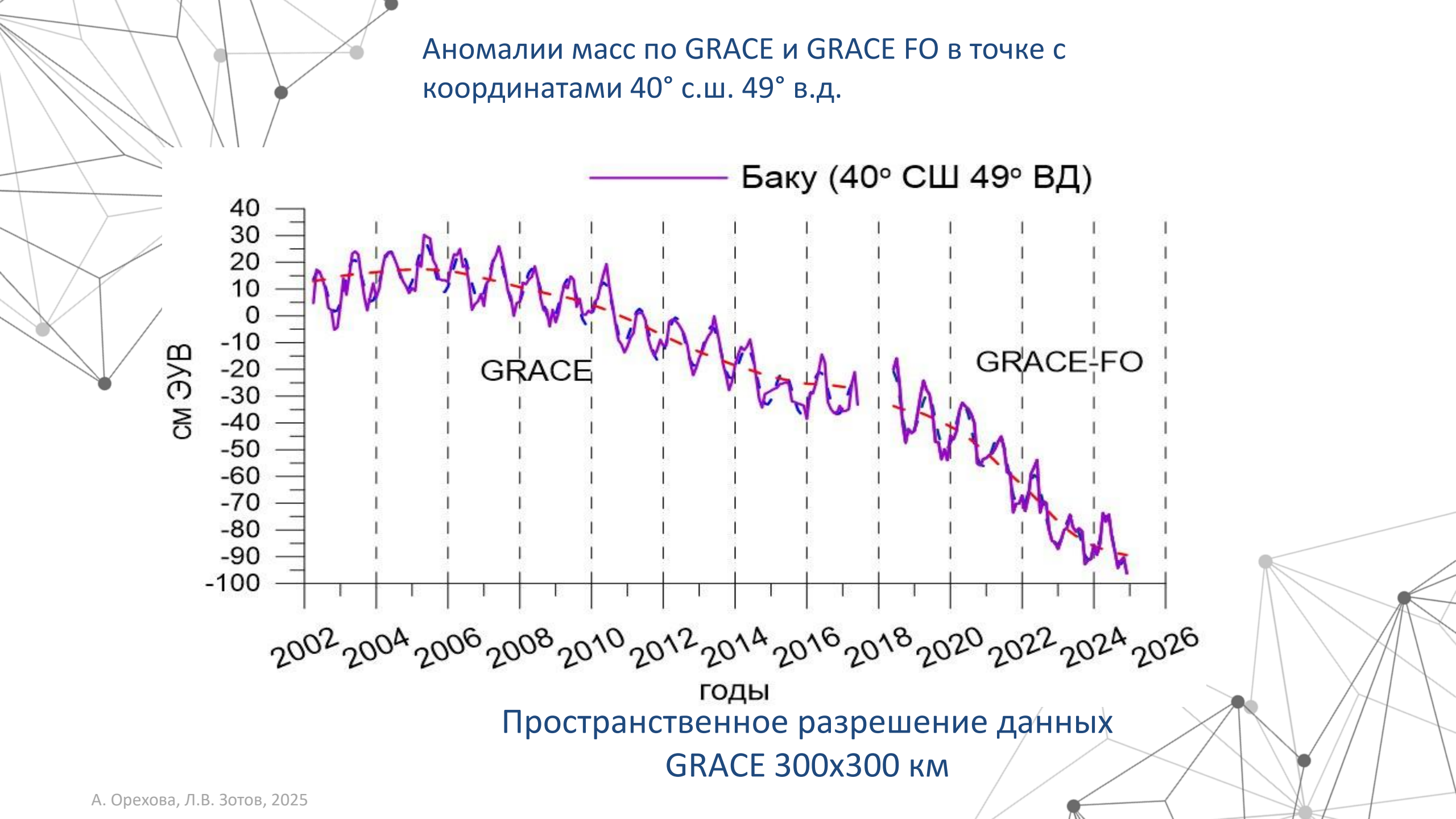
# Тренды перераспределения масс Евразии по GRACE-FO



# Аномалии масс по GRACE-FO от 20° до 80° В.Д. от 30° до 70° С.Ш.









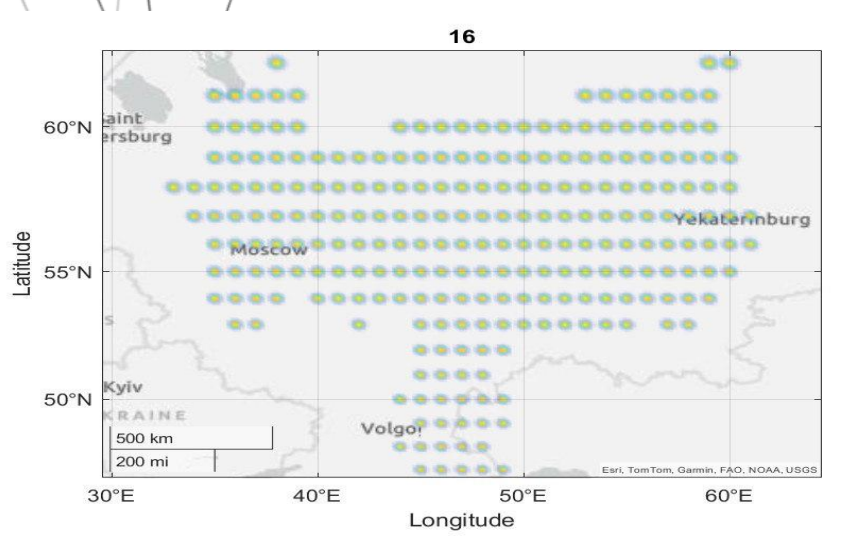
составляет около 376 км<sup>2</sup> Значит каждые 10 см уровня – 37,6 км<sup>3</sup> воды

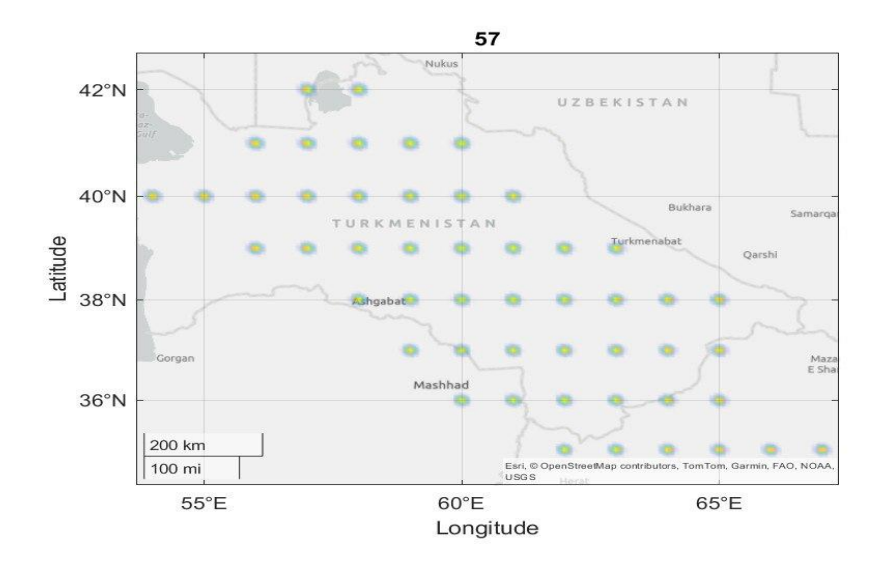
В 2022 году уровень -28,1 м

А. Орехова, Л.В. Зотов, 2025

# 110

#### Бассейны рек по базе данных STN-30p





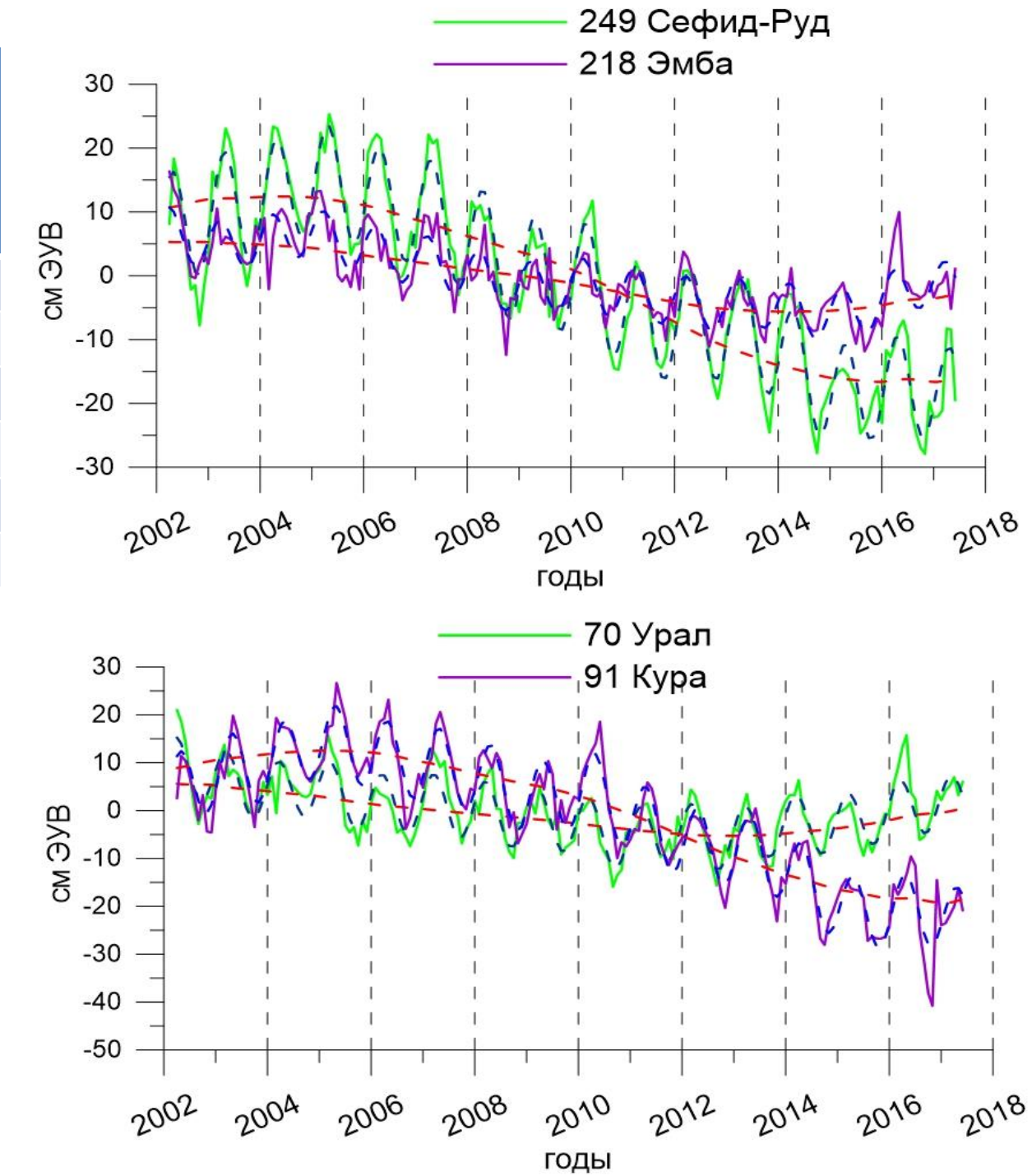
## Бассейн реки Волга

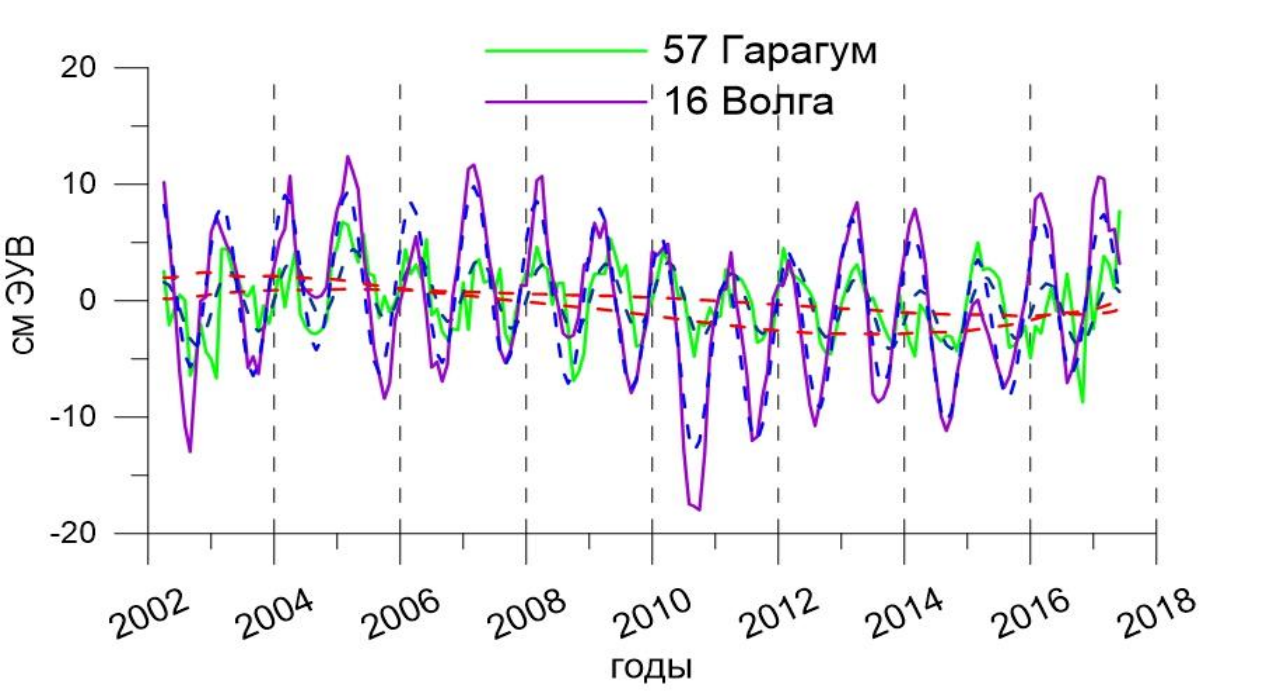
Бассейн реки Урал

## Бассейн реки Гарагум

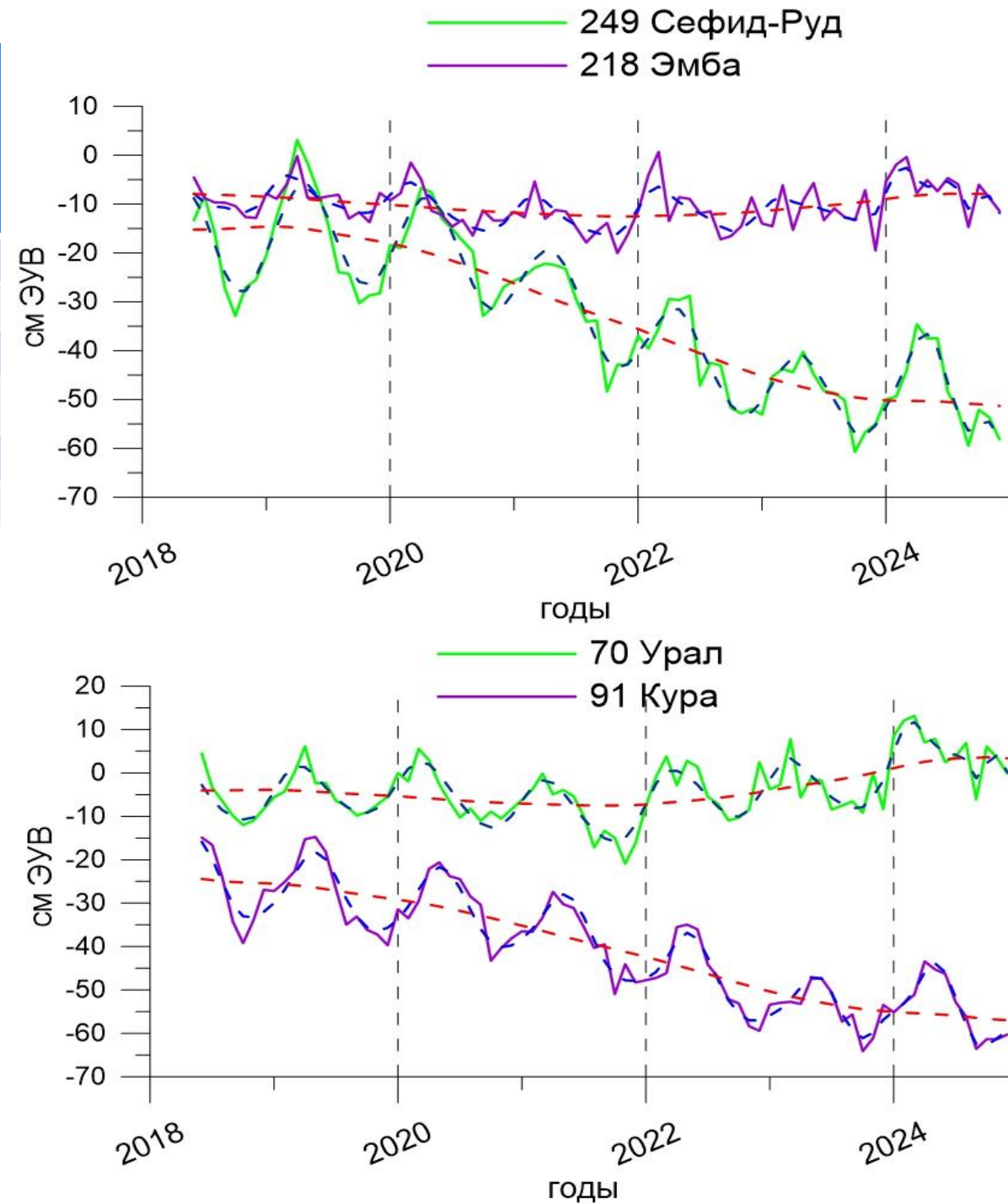


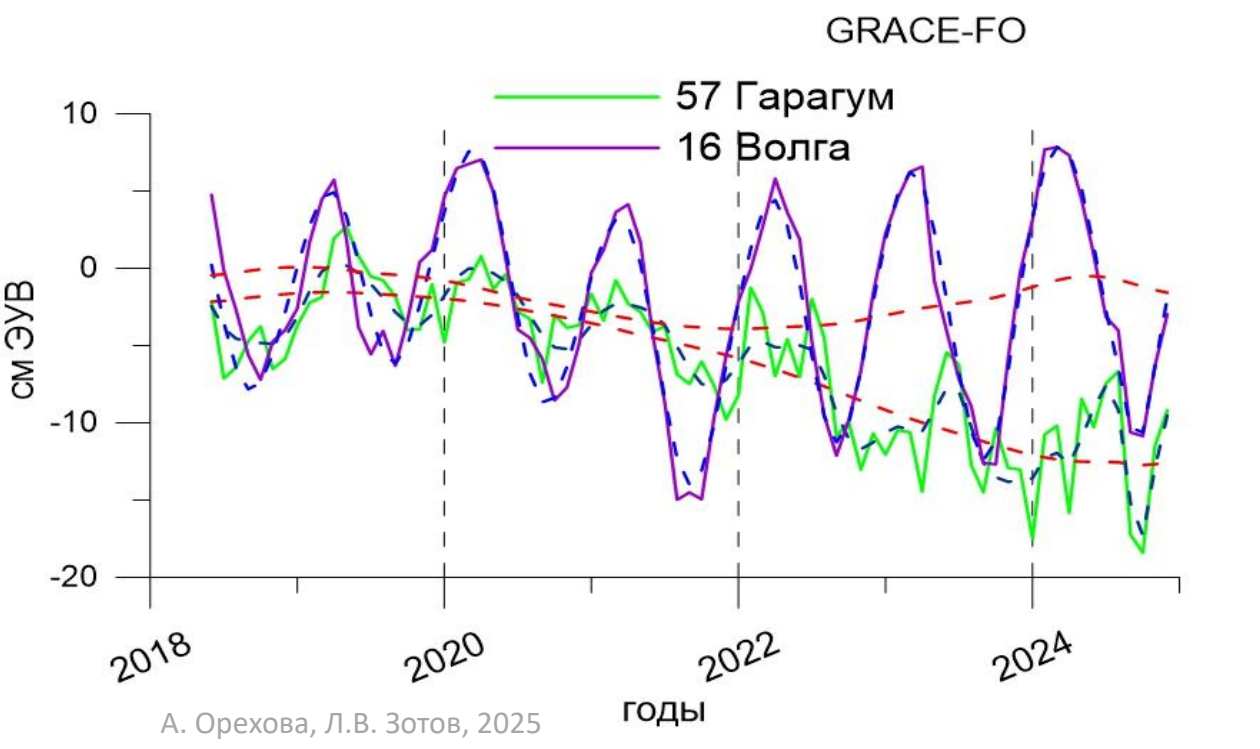
Номер бассейна STN	Название	Площадь бассейна	Тренд ЭУВ по GRACE (см/год)	Тренд GRACE (км^3/год )
16	Волга	1476411,375	-0,18	-2.65 ± 1.56
57	Гарагум	373942,9688	-0,08	-0.32 ± 0.19
70	Урал	296282,8125	-0,57	-1.69 ± 0.32
91	Кура	218906,0469	-2,52	-5.51 ± 0.29
218	Эмба	72975,84375	-0,84	-0.61 ± 0.05
249	Сефид-Руд	64653,16406	-1.45	-1.58 ± 0.08





Номер бассейна STN	Название	Площадь бассейна	Тренд ЭУВ по GRACE- FO (см/год)	Тренд GRACE-FO (км^3/год)
16	Волга	1476411,375	-0.32	-4.78 ± 1.32
57	Гарагум	373942,9688	-1.86	-6.96 ± 0.73
70	Урал	296282,8125	-0,57	-3.59 ± 1.13
91	Кура	218906,0469	-5.89	-12.89 ±0.88
218	Эмба	72975,84375	-0.01	$0.00 \pm 0.19$
249	Сефид-Руд	64653,16406	-6.87	-4.44 ± 0.33





# Влияние на вращение Земли

# Високосная секунда: как на скорость вращения планеты влияет китайская плотина



Плотина «Три ущелья» в Китае

Зотов Л.В.



Курсовая работа

Ореховой А. А.

Баку 2025

Поскольку LOD определяется как длительность средних солнечных суток, требуется домножение угловой скорости относительно звезд на коэффициент k=1.002737909350795.

Подставляя значения получаем:

$$\omega * \underline{\mathbf{k}} = 7.272205216643854 \times 10^{-5} \text{ рад/с}$$

Тогда изменение длительности суток можно найти как

$$\Delta LOD = 2\pi k/\omega - 2\pi k/\Omega$$

Откуда, при подстановке выше названных значений, получим:

$$\Delta LOD \approx 9.7 \times 10^{-6} \text{ c}$$

Таким образом, потери 376 <u>Гигатонн</u> воды, какую мы наблюдаем для Каспия за ~10 лет, продолжительность суток сократится приблизительно на 9.7 микросекунды.

По сравнению с нашумевшей новостью за авторством Бена Чао о замедлении вращения Земли на 0.06 мкс китайской дамбой "Три ущелья" объемом 40 км<sup>3</sup>, расположенной на реке Янцзы близ Уханя [10], эффект Каспия значительно больше и противонаправлен.

# Жизнь после 2030

